

# Rozpoznávání tváří I

**Vojtěch Franc**

Centrum strojového vnímání, ČVUT FEL Praha



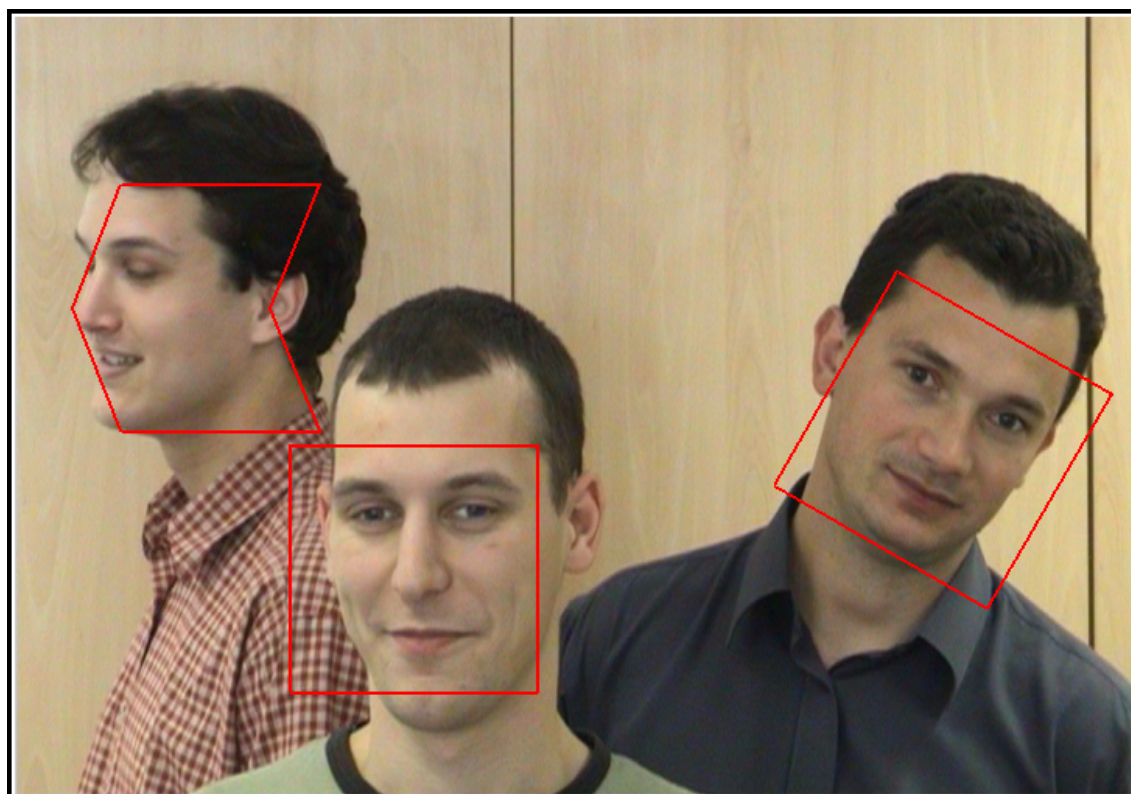
Biometrie ZS 2016

## **Osnova:**

- ◆ Příklady úloh v rozpoznávání tváří: detekce, verifikace, vyhledávání, odhad věku, ...
- ◆ Metriky pro měření přesnosti
- ◆ Detekce tváří

# Úlohy rozpoznávání tváří: Detekce

- ◆ Úloha: lokalizovat tváře ve vstupním obrázku.
- ◆ Výstupem detektoru je pozice, velikost a natočení nalezených tváří.
- ◆ Aplikace: nezbytný první krok při rozpoznávání tváří, automatické zaostřování v digitálních kamerách, ...



## Metriky pro měření přesnosti detektorů tváří

- ◆ Testovací sada: databáze obrázků s manuálně anotovanými pozicemi tváří
- ◆ Správná/falešná detekce definovaná pomocí “Intersection Over Union ratio”

$$\text{IOU}(A, B) = \frac{A \cap B}{A \cup B} \in [0, 1]$$

kde  $A$  a  $B$  jsou oblasti (množiny pixelů), kde se nalézá nalezený/anotovaný objekt.

- ◆  $\text{IOU}(A, B) \geq \theta$  (např.  $\theta = 0.7$ ) implikuje správnou detekci a  $\text{IOU}(A, B) < \theta$  falešnou detekci.
- ◆ True Positive Rate

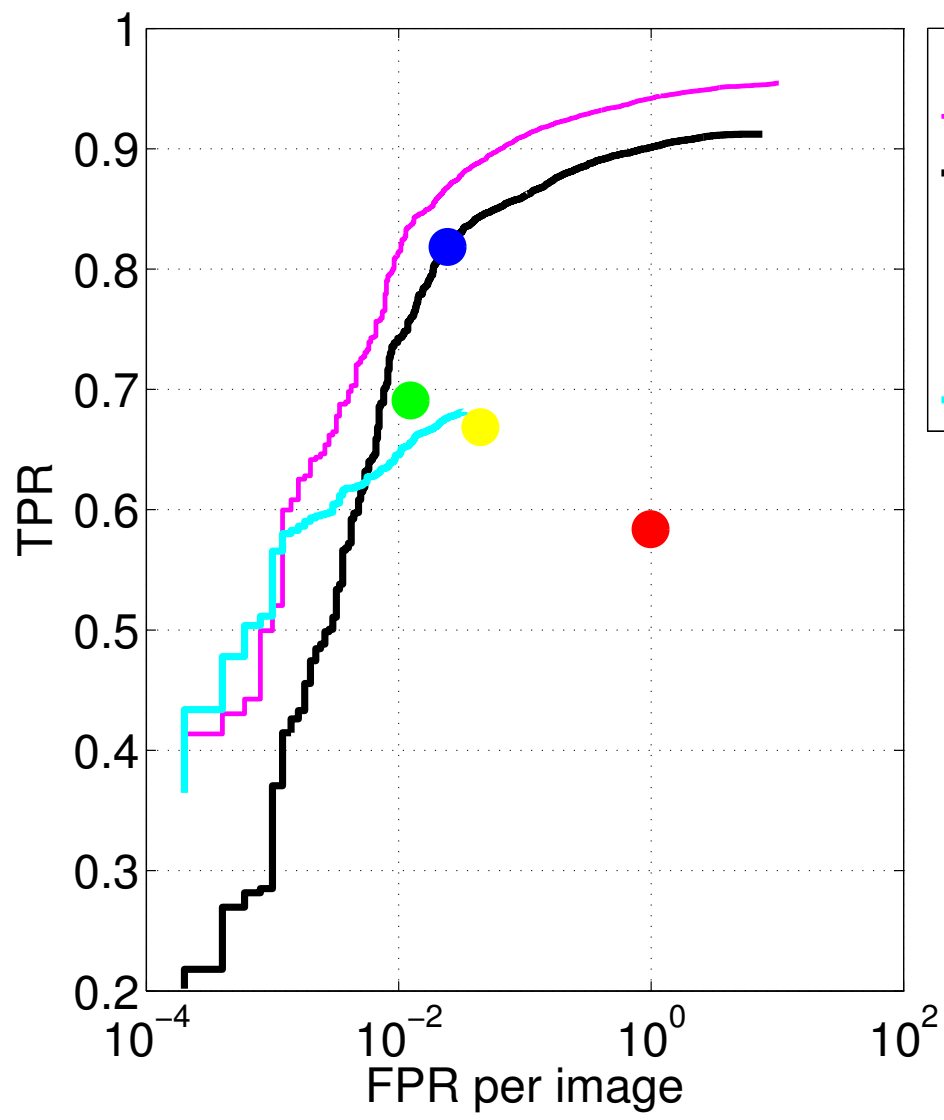
$$\text{TPR} = \frac{\text{počet správných detekcí}}{\text{počet všech anotovaných tváří}} \in [0, 1]$$

- ◆ False Positive Rate per image

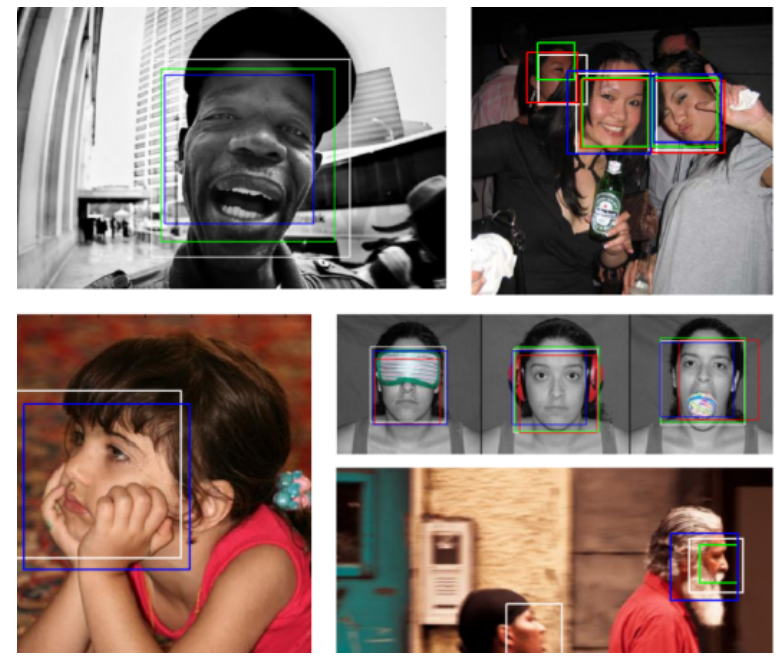
$$\text{FPR per image} = \frac{\text{počet falešných detekcí}}{\text{počet všech obrázků}} \in [0, \infty)$$

# Přesnost současných detektorů na reálných obrázcích

- ◆ Fine-grained Evaluation on Face Detection in The Wild [Yang et al 2015] je benchmark pro měření přesnosti detektorů tváří.
- ◆ 5,250 obrázků s 11,931 tvářemi (velký rozsah úhlu pohledu) stáženými z Internetu.

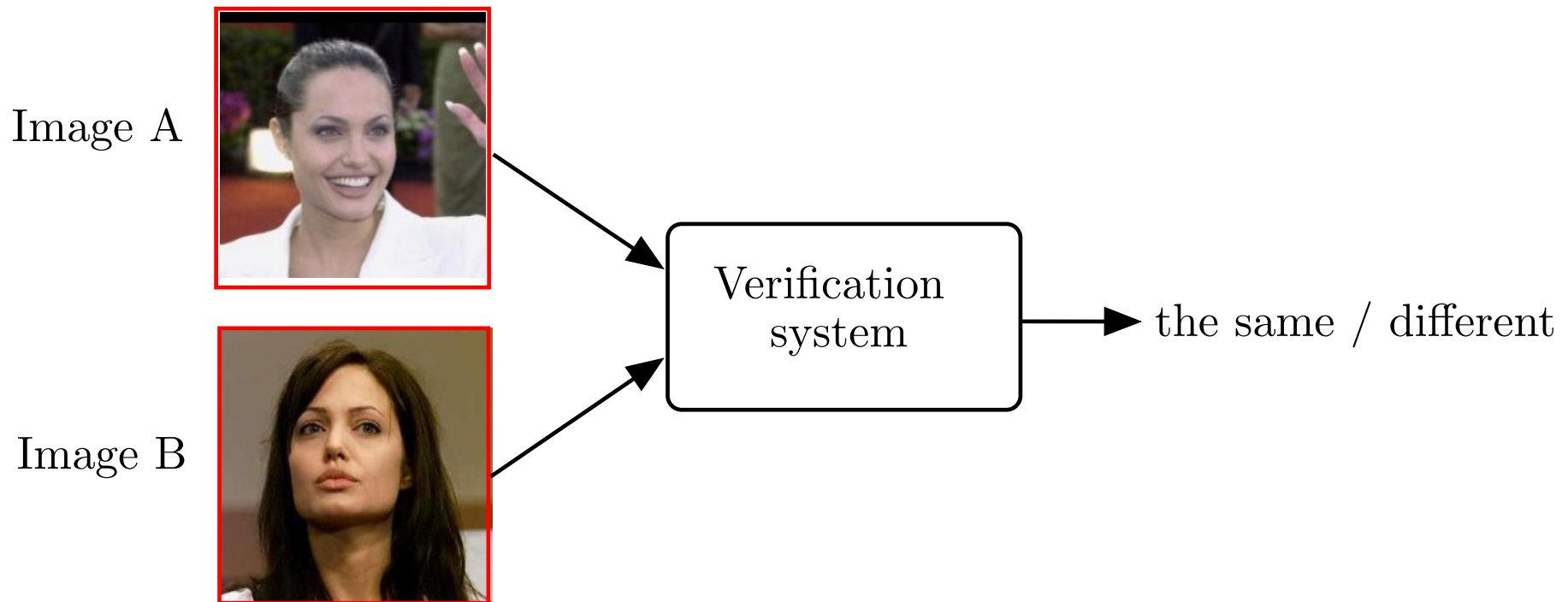


- Viola & Jones 2004
- Baidu DenseBox (2015/6/5)
- Eyedea Recognition (2015/4/28)
- Apple iPhoto v9.6
- Microsoft Gallery v16.4.3528.331
- Google Picasa (v3.7)
- Bitdefender (2015/9/19)



# Úlohy rozpoznávání tváří: Verifikace identity

- ◆ Úloha: pro zadanou dvojici obrázků tváří ověřit zdali se jedná o stejnou identitu.
- ◆ Výstup: binární rozhodnutí “stejná osoba/dvě různé osoby” popřípadě doplněné konfidencí odhadu.
- ◆ Aplikace: přístup do kontrolovaných prostor (např. průchod letištěm), odemykání mobilních telefonů,...



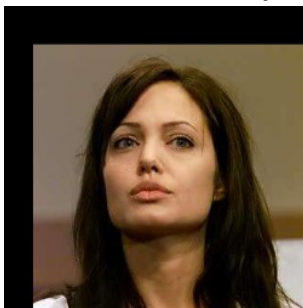
# LFW databáze pro měření přesnost verifikačních metod

- ◆ Labeled Faces in the Wild [Huang et al 2008] je sada obrázků a definice testovacích protokolů pro měření přesnosti verifikačních metod.
- ◆ 13,233 fotografií známých osobností (herci, politici, sportovci, ...) v rozlišení  $250 \times 250$  pixelů
- ◆ Testovací protokol definuje testovací a trénovací dvojice obrázků:

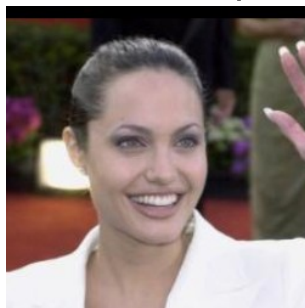
$$\{(A^1, B^1, y^1), \dots, (A^m, B^m, y^m)\}$$

kde  $A^i$  a  $B^i$  jsou obrázky a  $y^i \in \{+1 / -1\}$  je label značící pozitivní/negativní příklad.

$y = +1$  (stejná identita)

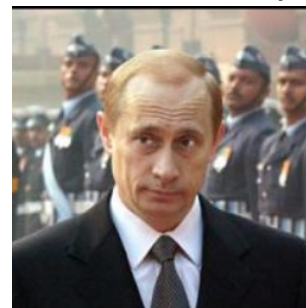


A

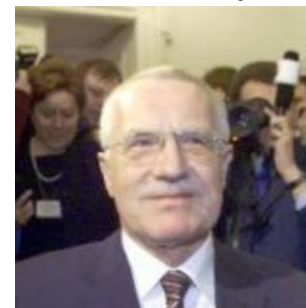


B

$y = -1$  (různé identity)



A



B

- ◆ Verifikační algoritmus je funkce  $f(\text{obrázek A}, \text{obrázek B}) \rightarrow \{+1, -1\}$ .

## Metriky pro měření verifikačních algoritmů

- ◆ False Positive Rate

$$\text{FPR} = \frac{\text{počet negativních příkladů klasifikovaných jako pozitivní}}{\text{počet všech negativních příkladů}}$$

- ◆ False Negative Rate

$$\text{FNR} = \frac{\text{počet pozitivních příkladů klasifikovaných jako negativní}}{\text{počet všech pozitivních příkladů}}$$

- ◆ Equal Error Rate je pracovní bod kdy platí  $\text{FPR} = \text{FNR}$

- ◆ True Positive Rate

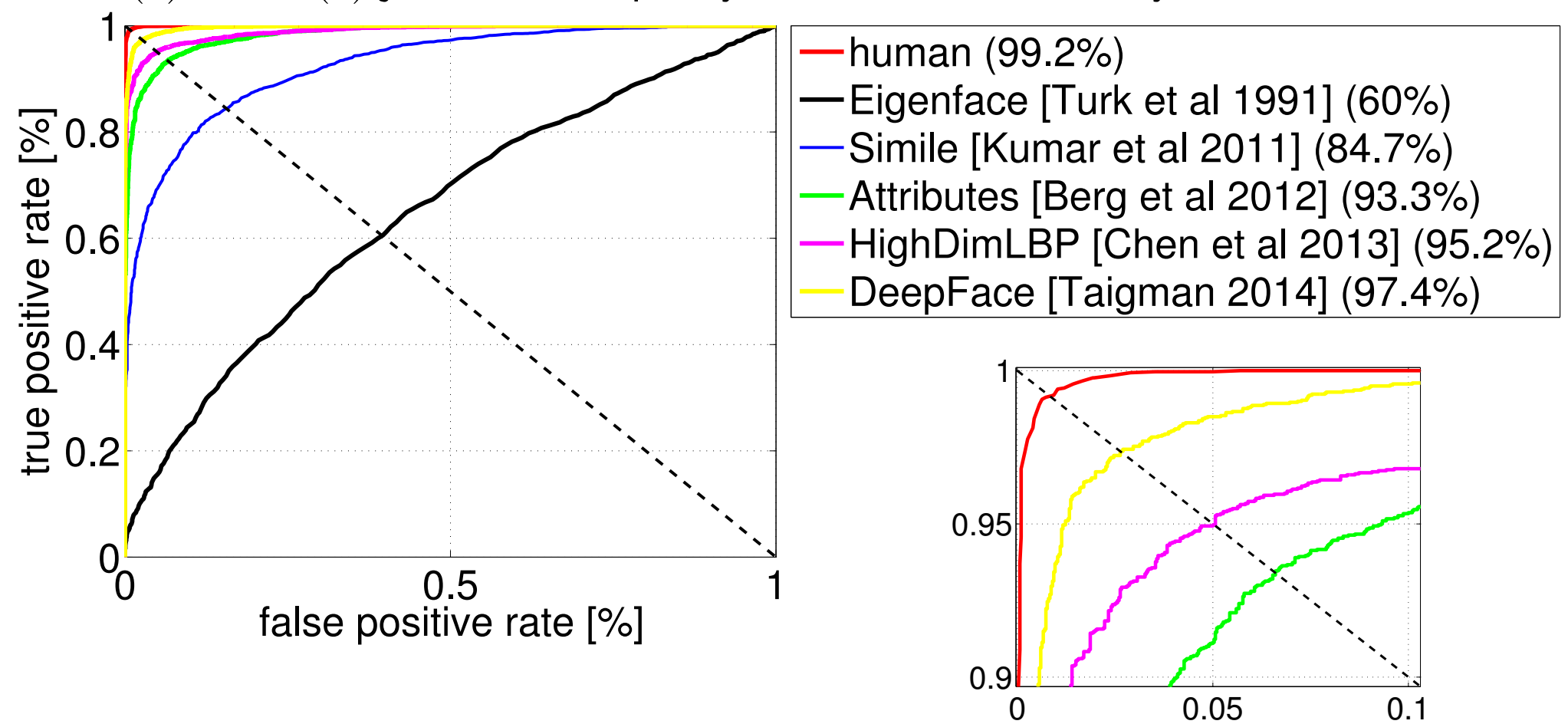
$$\text{TPR} = 1 - \text{FNR} = \frac{\text{počet pozitivních příkladů klasifikovaných jako pozitivní}}{\text{počet všech pozitivních příkladů}}$$

# Přesnost verifikačních metod na LFW databázi

- ◆ Verifikační stroje často rozhodují na základě podobnostní funkce  $s: I \times I \rightarrow \mathbb{R}$ , pomocí které se definuje rozhodovací funkce pro verifikaci

$$f_{\theta}(\text{obrázek A, obrázek B}) = \begin{cases} +1 & \text{pokud } s(\text{obrázek A, obrázek B}) \geq \theta \\ -1 & \text{pokud } s(\text{obrázek A, obrázek B}) < \theta \end{cases}$$

- ◆ FPR( $\theta$ ) a TPR( $\theta$ ) jako funkce  $\theta$  pro vybrané verifikační metody ohodnocené na LFW:





# Úlohy rozpoznávání tváří: Vyhledávání (face retrieval)

- ◆ Úloha: pro zadanou tvář nalézt v databázi s  $M$  tvářemi  $N$  nejpodobnějších.
- ◆ Výstupem je seřazený seznam  $N$  nejpodobnějších tváří.
- ◆ Aplikace: zpracování záznamů z dohledových kamer, vyhledávání v databázi zadržovaných osob, detekce duplikátů v databázi, “tagování” filmů, ...



# Přesnost vyhledávání tváří podle FRVT2013

- ◆ Face Recognition Vendor Test 2013: soutěž organizovaná National Institute of Standards and Technology (NIST) s cílem vyhodnotit existující technologie rozpoznávání tváří.
- ◆ Testováno na velké databázi (1.6 miliónů) policejních fotografií zadržovaných osob (magshot) a obrázků z běžné web-camery.



(a) Good quality mugshot



(b) Poor quality webcam

	Mugshots		WebCam
	R1	R50	R1
NEC	4.1 %	2.6%	11.3 %
Morpho	9.1 %	7.1%	29.8 %
Toshiba	10.7 %	5.7%	23.7 %
Cognitec	13.6 %	8.4%	57.6 %

- ◆ R1 ... pravděpodobnost, že hledaná identita (obsažená v databázi) nebude na prvním místě vráceného seznamu.
- ◆ R50 ... pravděpodobnost, že hledaná indentida nebude v seznamu délky 50.

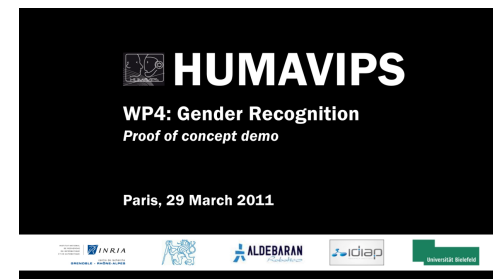
Obrázek a výsledky převzaty z *Grother et al: Face Recognition Vendor Test, NIST Interagency report 8009. May 26, 2014.*

# Úlohy rozpoznávání tváří: Odhadování věku a pohlaví

- ◆ Úloha: na základě obrázku tváře odhadnout věk či pohlaví zobrazené osoby
- ◆ Aplikace: povolení přístupu na základě věku (např. automaty na cigarety v Japonsku), demografické průzkumy (audience measurement systems), cílená reklama (např. na benzinových pumpách Tesco v Anglii), ...

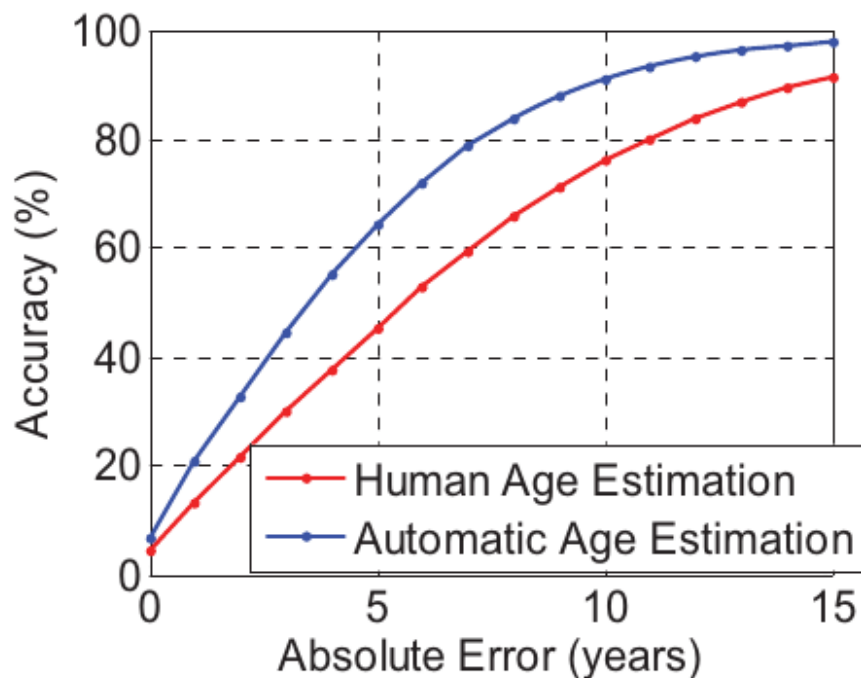
Automat na cigarety ověřující věk pomocí zabudované kamery

“Aplikace” v robotice



# Odhadování věku: stroj versus člověk

- ◆ Test na PSCO databázi 10,036 policejních fotografií s rovnoměrným zastoupením věku v rozmezí 17 až 68 let.
- ◆ Věk 2,200 náhodně vybraných tváří odhadnut 10. lidmi (Amazon Mechanical Turk service); maximální a minimální odhad se nepoužije a bere se aritmetický průměr zbývajících 8. odhadů.
- ◆ Přesnost odhadu měřena pomocí absolutní odchylky odhadnutého a skutečného věku.

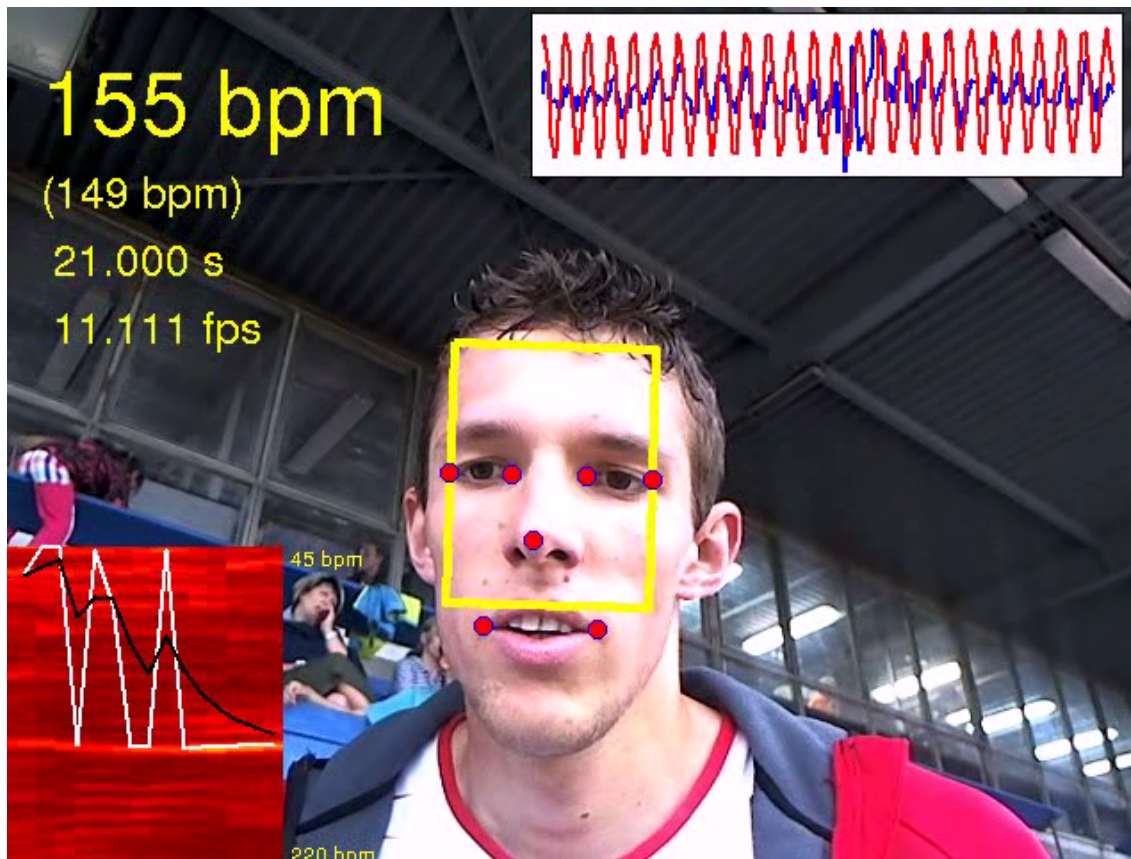


	MAE
Human	7.2
Machine	5.1

Výsledky převzaty z článku *Han et al: Age estimation from Face Images: Human vs. Machine Performance. Inter. Conf. on Biometrics. 2013.*

# Úlohy rozpoznávání tváří: Odhad tepové frekvence

- ◆ Úloha: odhadnout tepovou frekvenci na základě videa sledovaného subjektu.
- ◆ Výstupem systému je tepová frekvence.
- ◆ Příklad úlohy, kterou člověk není schopný řešit bez pomoci stroje.



# Rozpoznávání tváří: porovnání s ostatními biometrickými metodami



## Silné stránky:

- ◆ Nevyžaduje kooperující subjekt narozdíl od rozpoznávání otisků prstů, duhovky atd.
- ◆ Bezkontaktní snímač.
- ◆ Sensory pro měření (např. standardní kamery) jsou levné a masově rozšířené.
- ◆ Lze využít pro širokou třídu úloh (rozpoznávání identity, věku, pohlaví, emocí, rasy, tepu...).

# Rozpoznávání tváří: porovnání s ostatními biometrickými metodami



## Silné stránky:

- ◆ Nevyžaduje kooperující subjekt narozdíl od rozpoznávání otisků prstů, duhovky atd.
- ◆ Bezkontaktní snímač.
- ◆ Sensory pro měření (např. standardní kamery) jsou levné a masově rozšířené.
- ◆ Lze využít pro širokou třídu úloh (rozpoznávání identity, věku, pohlaví, emocí, rasy, tepu...).

## Slabiny:

- ◆ Pro odhad identity méně přesné (přestože se již blíží přesnosti člověka) v porovnání s technologiemi jako rozpoznávání otisků nebo duhovky.
- ◆ Pro dosažení vysoké efektivity je třeba zajistit kontrolované podmínky či specializovaný hardware.

## Proč je rozpoznávání tváří těžké?

- ◆ Signál ze senzoru je vysokodimenziální. Např. 10,000 dimenzionální signál z kamery s rozlišením  $100 \times 100$  pixelů.
- ◆ V signálu pocházejícího z měření patřících do jedné třídy je velká variabilita, způsobená:
  - změnou pozice, měřítka, rotace (roll, pan, tilt)
  - změnou osvětlení
  - změnou výrazu tváře (úsměv, smutek, neutrální, ...)
  - zákryty (brýle, pokrývka hlavy)
  - změna účesu, make up, stárnutím ...





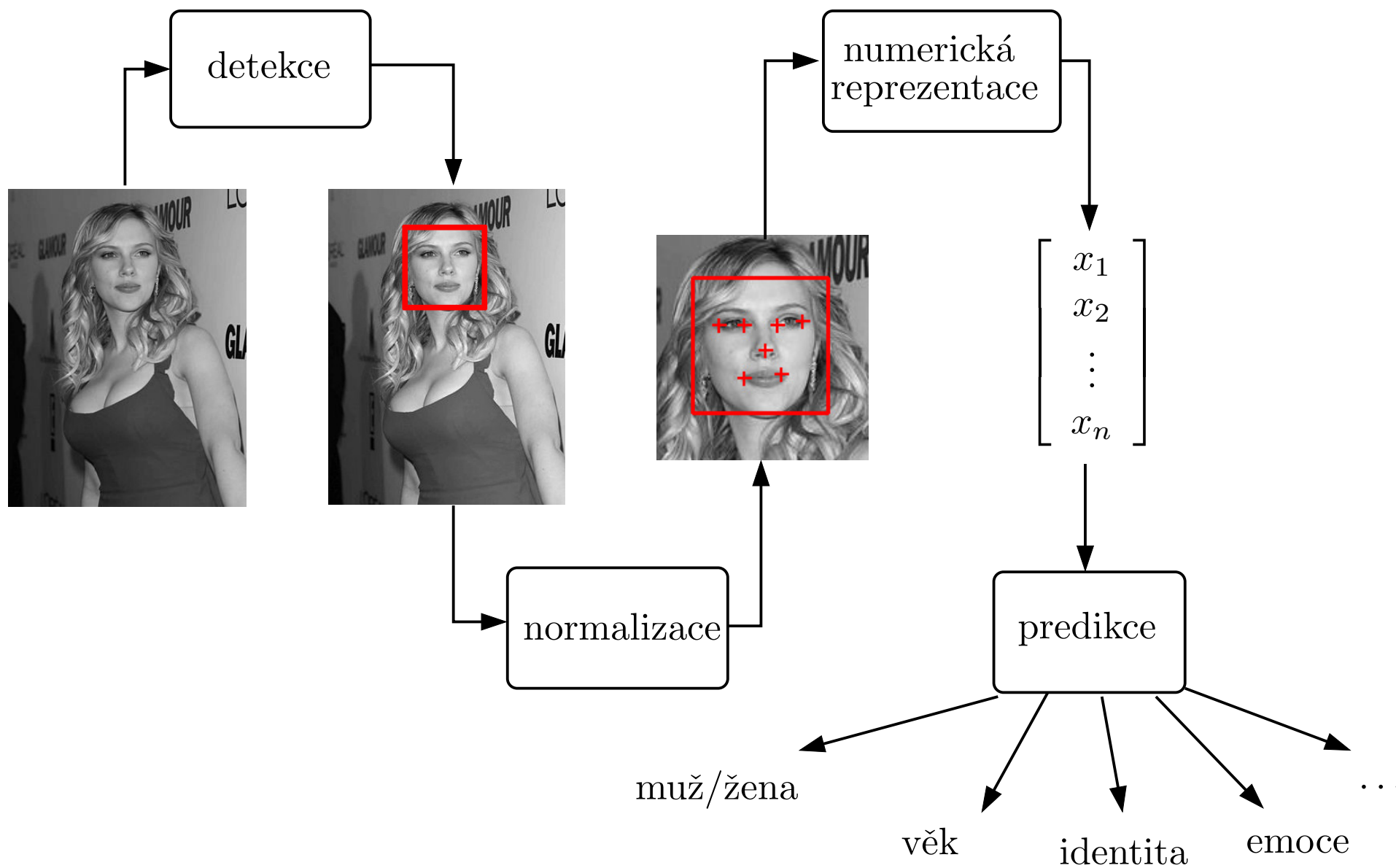
# Funkčnost systému rozpoznávání tváří je ovlivněna mnoha faktory



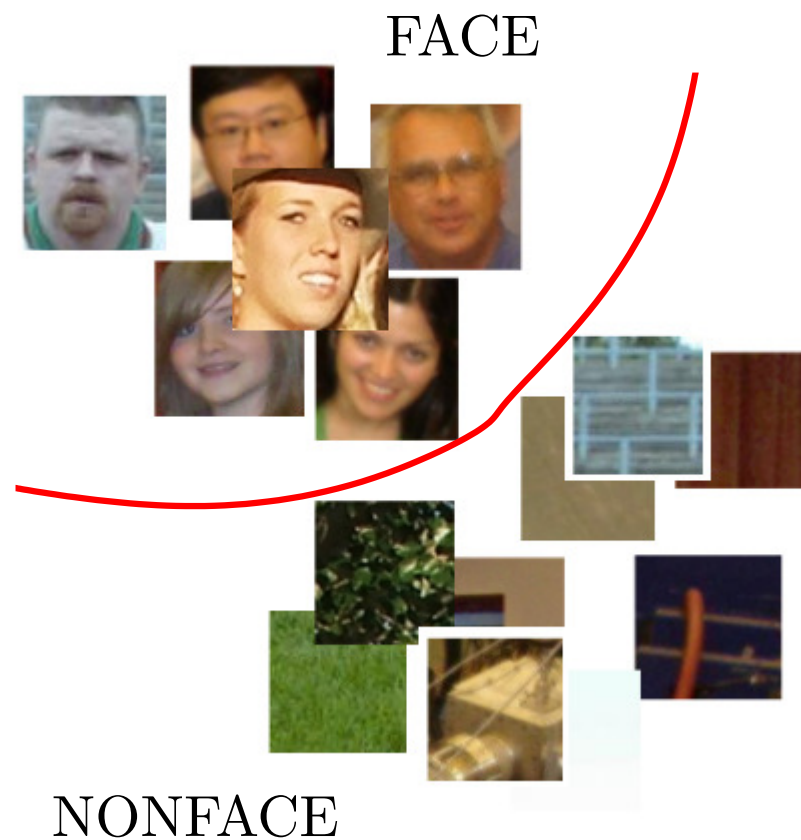
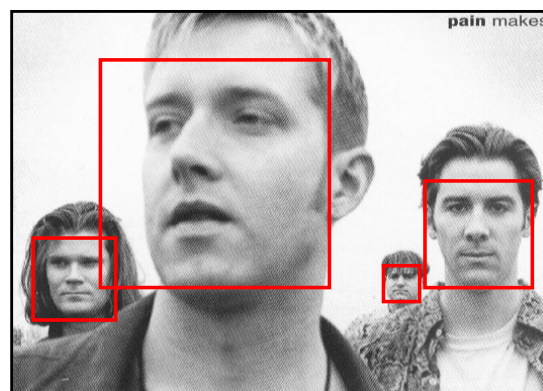
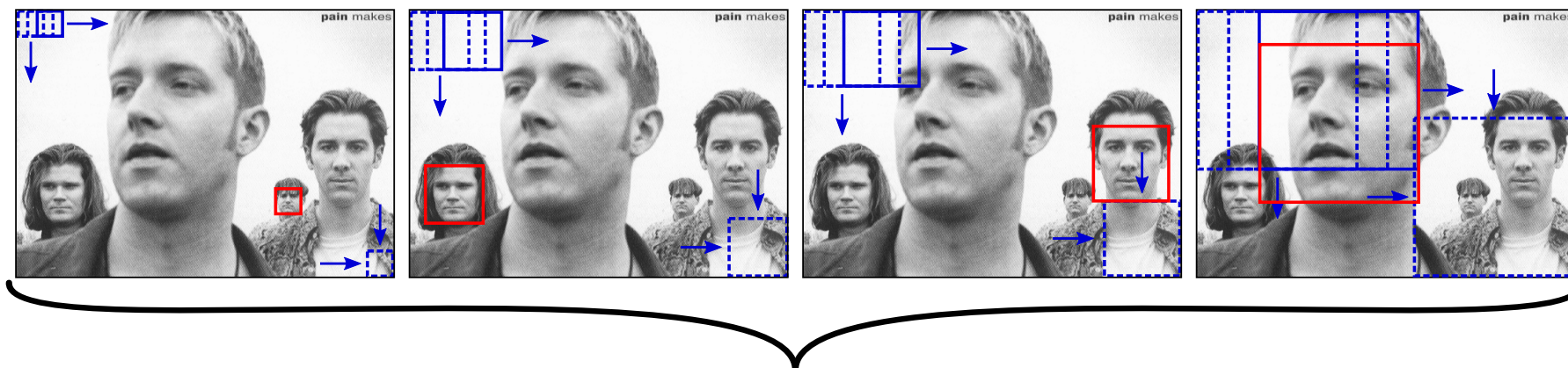
- ◆ Použitý snímací senzor:
  - kamera pracující ve viditelném spektru
  - infračervená kamera (s IR přísvícením)
  - stereo kamera
  - 3D skener
- ◆ Světelné podmínky (venkovní/vnitřní prostor, stíny, ...)
- ◆ Rozlišení obrazu a použitá komprese
- ◆ Statický obrázek / video sekvence
- ◆ Spolupracující / nespolupracující subjekt
- ◆ . . .



# Stavební bloky typického systému pro rozpoznávání tváří



# Detektor tváří



Těžký predikční problém se převede na mnoho jednodušších  $H$ : Obrázek  $\rightarrow$  {tvář, netvář}

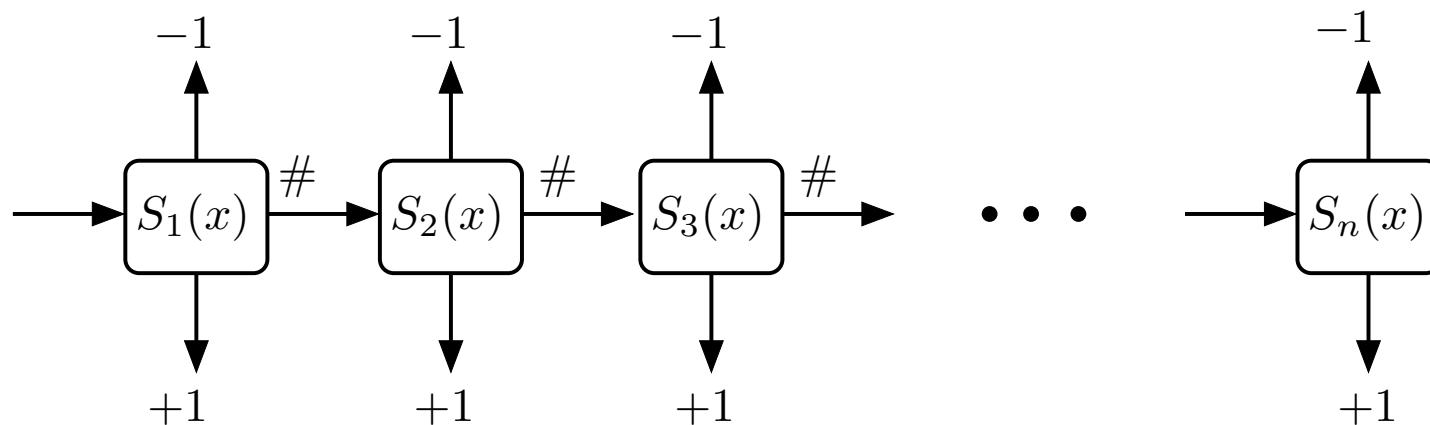
## Klasifikátor tvář/netvář pro detekci tváří

- ◆ **Požadavky na klasifikátor:** extrémně přesný a extrémně rychlý.
  - Např. nalezení tváře velikosti  $24 \times 24$  pixelů v obrázku  $640 \times 480$  vyžaduje provést  $(640 - 24 + 1) \cdot (480 - 24 + 1) = 281,969$  binárních klasifikací.
  - Rychlost: Při 10 FPS musí jedna klasifikace trvat nanejvýš  $0.34\mu s$
  - Přesnost: FP  $\rightarrow$  0% (chybné detekce), TP  $\rightarrow$  100% (detekované tváře)

# Klasifikátor tvář/netvář pro detekci tváří

- ◆ **Požadavky na klasifikátor:** extrémně přesný a extrémně rychlý.
  - Např. nalezení tváře velikosti  $24 \times 24$  pixelů v obrázku  $640 \times 480$  vyžaduje provést  $(640 - 24 + 1) \cdot (480 - 24 + 1) = 281,969$  binárních klasifikací.
  - Rychlost: Při 10 FPS musí jedna klasifikace trvat nanejvýš  $0.34\mu s$
  - Přesnost: FP  $\rightarrow 0\%$  (chybné detekce), TP  $\rightarrow 100\%$  (detekované tváře)
  
- ◆ **Řešení:** sekvenční rozhodovací pravidlo složené z jednoduchých rychlých klasifikátorů

$$S_t(x) = \begin{cases} +1 & \text{(tvář)} & f_t(x) \geq \theta_t^A \\ -1 & \text{(netvář)} & f_t(x) \leq \theta_t^B \\ \# & \text{(nevím)} & \theta_t^B < f_t(x) < \theta_t^A \end{cases} \quad f_t(x) = \sum_{i=1}^t \alpha_i h_i(x)$$



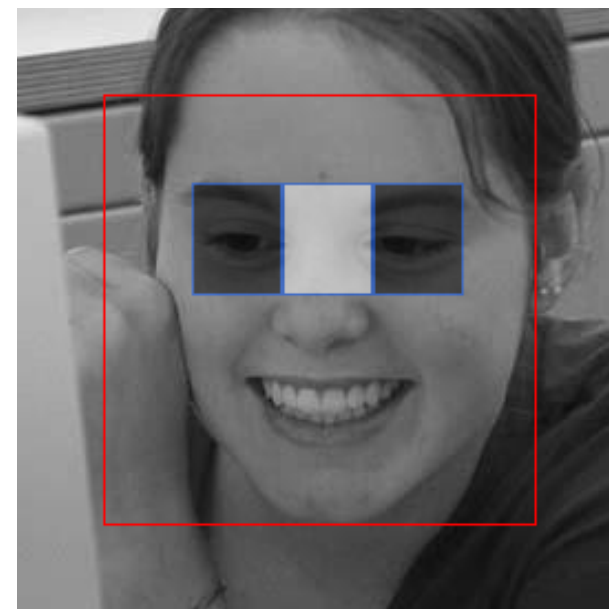
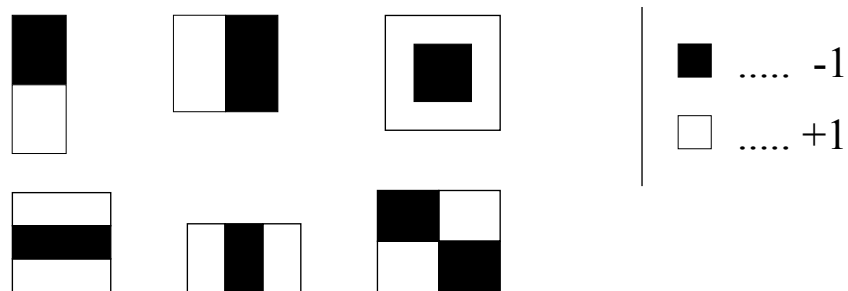
# AdaBoost: sestroj silný klasifikátor ze slabých

Silný (přesný) klasifikátor

$$H(x; \alpha) = \begin{cases} +1 & \text{pro } f(x; \alpha) \geq 0 \\ -1 & \text{pro } f(x; \alpha) < 0 \end{cases} \quad \text{kde } f(x; \alpha) = \alpha_1 h_1(x) + \alpha_2 h_2(x) + \dots + \alpha_m h_m(x)$$

je složen ze slabých, ale rychlých klasifikátorů

$$h_i(x) = \text{sign} \left( \sum_{(u,v) \in A_i^+(x)} x(u,v) - \sum_{(u,v) \in A_i^-(x)} x(u,v) + \theta \right)$$



**Problém učení:**  $\min_{\alpha} \sum_{i=1}^l [H(x_i; \alpha) \neq y_i]$  za podmínky, že počet nenulových elementů ve vektoru všech vah  $\alpha = (\alpha_1, \dots, \alpha_m)$  je právě  $n$



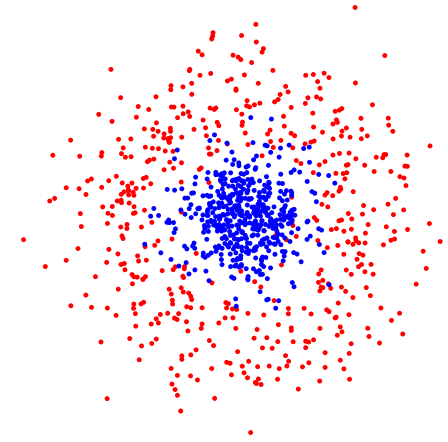
$(x_i, y_i = +1)$



$(x_i, y_i = -1)$

# AdaBoost algoritmus

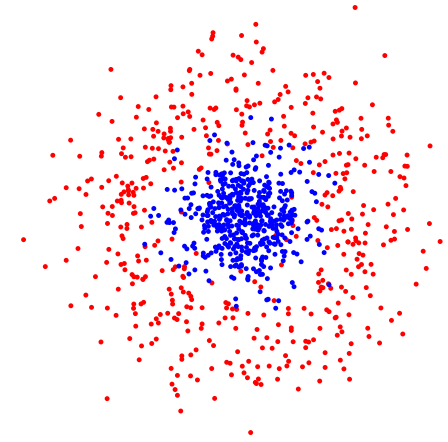
Given:  $(x_1, y_1), \dots, (x_m, y_m); x_i \in \mathcal{X}, y_i \in \{-1, +1\}$



# AdaBoost algoritmus

Given:  $(x_1, y_1), \dots, (x_m, y_m); x_i \in \mathcal{X}, y_i \in \{-1, +1\}$

Initialise weights  $D_1(i) = 1/m$



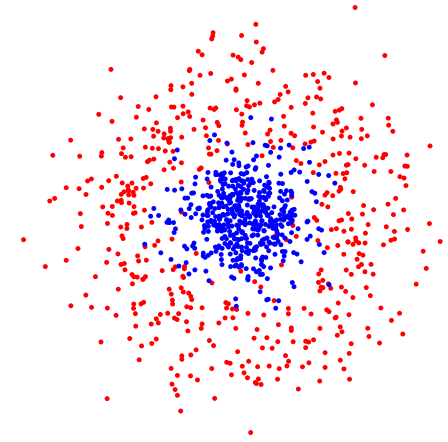


## AdaBoost algoritmus

Given:  $(x_1, y_1), \dots, (x_m, y_m); x_i \in \mathcal{X}, y_i \in \{-1, +1\}$

Initialise weights  $D_1(i) = 1/m$

For  $t = 1, \dots, T$ :



# AdaBoost algorithmus

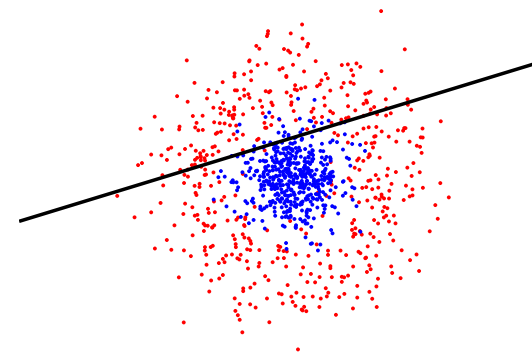
Given:  $(x_1, y_1), \dots, (x_m, y_m); x_i \in \mathcal{X}, y_i \in \{-1, +1\}$

Initialise weights  $D_1(i) = 1/m$

For  $t = 1, \dots, T$ :

- ◆ Find  $h_t = \arg \min_{h_j \in \mathcal{H}} \epsilon_j = \sum_{i=1}^m D_t(i) \mathbb{I}[y_i \neq h_j(x_i)]$

$t = 1$



# AdaBoost algorithmus

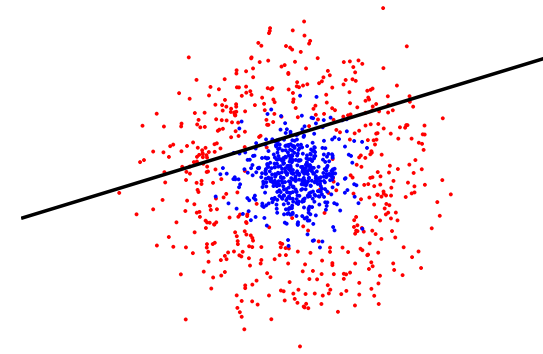
Given:  $(x_1, y_1), \dots, (x_m, y_m); x_i \in \mathcal{X}, y_i \in \{-1, +1\}$

Initialise weights  $D_1(i) = 1/m$

For  $t = 1, \dots, T$ :

- ◆ Find  $h_t = \arg \min_{h_j \in \mathcal{H}} \epsilon_j = \sum_{i=1}^m D_t(i) \mathbb{I}[y_i \neq h_j(x_i)]$
- ◆ If  $\epsilon_t \geq 1/2$  then stop

$t = 1$



# AdaBoost algoritmus

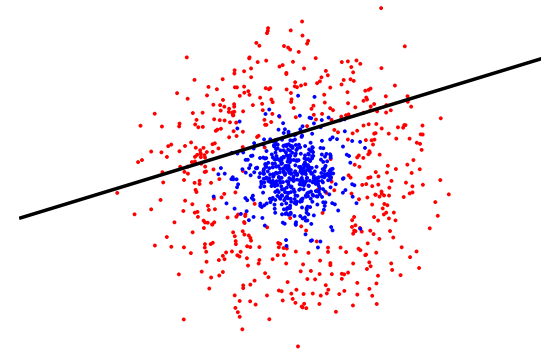
Given:  $(x_1, y_1), \dots, (x_m, y_m); x_i \in \mathcal{X}, y_i \in \{-1, +1\}$

Initialise weights  $D_1(i) = 1/m$

For  $t = 1, \dots, T$ :

- ◆ Find  $h_t = \arg \min_{h_j \in \mathcal{H}} \epsilon_j = \sum_{i=1}^m D_t(i) \mathbb{I}[y_i \neq h_j(x_i)]$
- ◆ If  $\epsilon_t \geq 1/2$  then stop
- ◆ Set  $\alpha_t = \frac{1}{2} \log\left(\frac{1-\epsilon_t}{\epsilon_t}\right)$

$t = 1$



# AdaBoost algorithmus

Given:  $(x_1, y_1), \dots, (x_m, y_m); x_i \in \mathcal{X}, y_i \in \{-1, +1\}$

Initialise weights  $D_1(i) = 1/m$

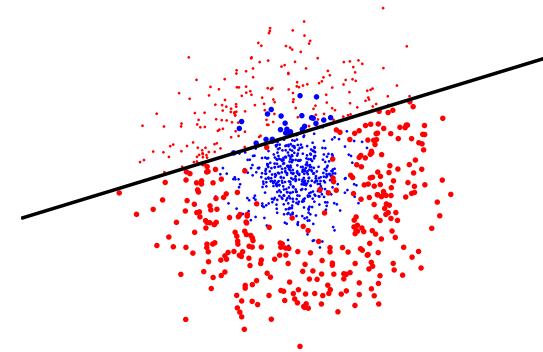
For  $t = 1, \dots, T$ :

- ◆ Find  $h_t = \arg \min_{h_j \in \mathcal{H}} \epsilon_j = \sum_{i=1}^m D_t(i) \llbracket y_i \neq h_j(x_i) \rrbracket$
- ◆ If  $\epsilon_t \geq 1/2$  then stop
- ◆ Set  $\alpha_t = \frac{1}{2} \log\left(\frac{1-\epsilon_t}{\epsilon_t}\right)$
- ◆ Update

$$D_{t+1}(i) = \frac{D_t(i) \exp(-\alpha_t y_i h_t(x_i))}{Z_t}$$

where  $Z_t$  is normalisation factor

$t = 1$



# AdaBoost algoritmus

Given:  $(x_1, y_1), \dots, (x_m, y_m); x_i \in \mathcal{X}, y_i \in \{-1, +1\}$

Initialise weights  $D_1(i) = 1/m$

For  $t = 1, \dots, T$ :

- ◆ Find  $h_t = \arg \min_{h_j \in \mathcal{H}} \epsilon_j = \sum_{i=1}^m D_t(i) \mathbb{I}[y_i \neq h_j(x_i)]$
- ◆ If  $\epsilon_t \geq 1/2$  then stop
- ◆ Set  $\alpha_t = \frac{1}{2} \log\left(\frac{1-\epsilon_t}{\epsilon_t}\right)$
- ◆ Update

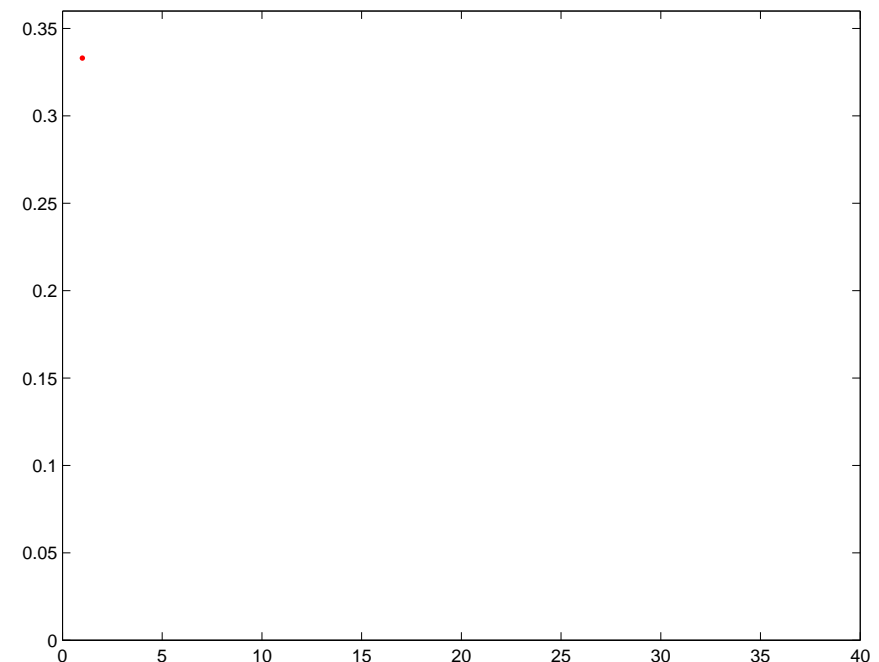
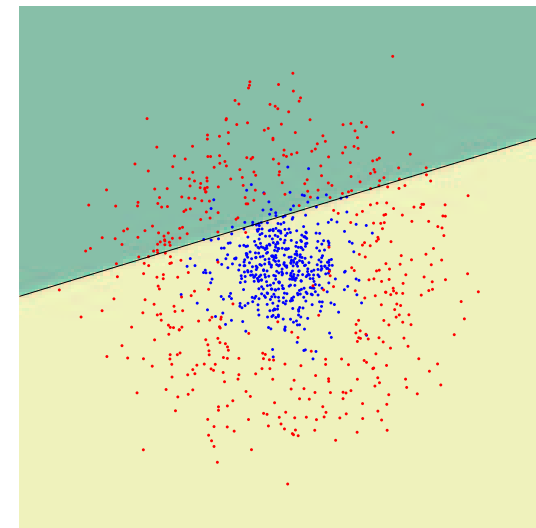
$$D_{t+1}(i) = \frac{D_t(i) \exp(-\alpha_t y_i h_t(x_i))}{Z_t}$$

where  $Z_t$  is normalisation factor

Output the final classifier:

$$H(x) = \text{sign} \left( \alpha_1 h_1(x) \right)$$

$t = 1$



# AdaBoost algorithmus

Given:  $(x_1, y_1), \dots, (x_m, y_m); x_i \in \mathcal{X}, y_i \in \{-1, +1\}$

Initialise weights  $D_1(i) = 1/m$

For  $t = 1, \dots, T$ :

- ◆ Find  $h_t = \arg \min_{h_j \in \mathcal{H}} \epsilon_j = \sum_{i=1}^m D_t(i) \mathbb{I}[y_i \neq h_j(x_i)]$
- ◆ If  $\epsilon_t \geq 1/2$  then stop
- ◆ Set  $\alpha_t = \frac{1}{2} \log\left(\frac{1-\epsilon_t}{\epsilon_t}\right)$
- ◆ Update

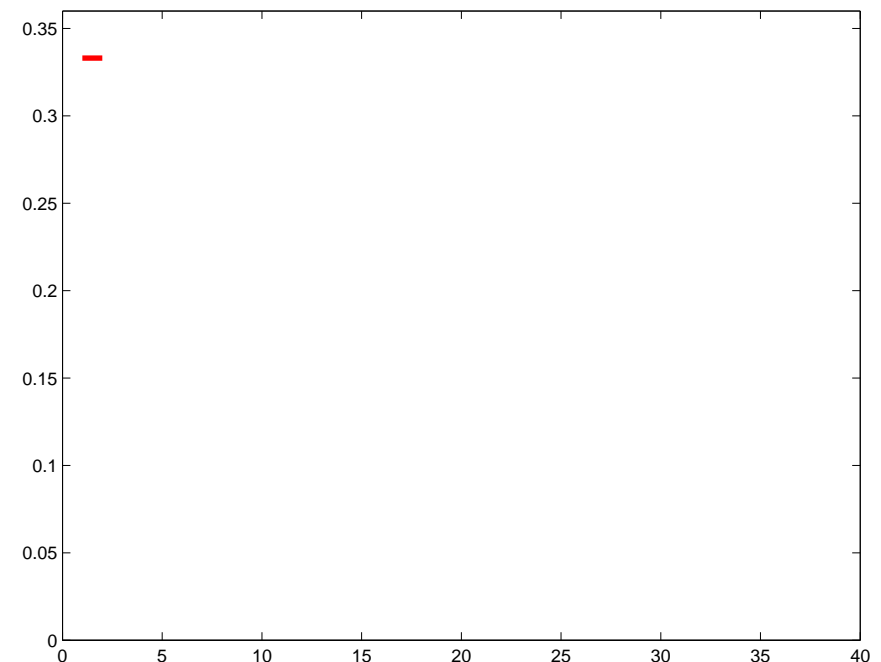
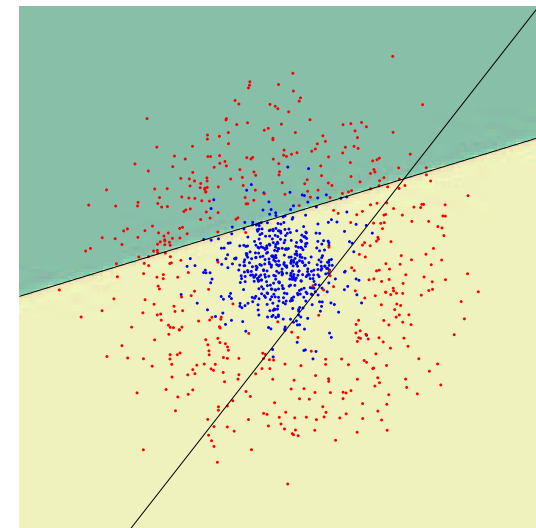
$$D_{t+1}(i) = \frac{D_t(i) \exp(-\alpha_t y_i h_t(x_i))}{Z_t}$$

where  $Z_t$  is normalisation factor

Output the final classifier:

$$H(x) = \text{sign} \left( \alpha_1 h_1(x) + \alpha_2 h_2(x) \right)$$

$t = 2$



# AdaBoost algorithmus

Given:  $(x_1, y_1), \dots, (x_m, y_m); x_i \in \mathcal{X}, y_i \in \{-1, +1\}$

Initialise weights  $D_1(i) = 1/m$

For  $t = 1, \dots, T$ :

- ◆ Find  $h_t = \arg \min_{h_j \in \mathcal{H}} \epsilon_j = \sum_{i=1}^m D_t(i) \mathbb{I}[y_i \neq h_j(x_i)]$
- ◆ If  $\epsilon_t \geq 1/2$  then stop
- ◆ Set  $\alpha_t = \frac{1}{2} \log\left(\frac{1-\epsilon_t}{\epsilon_t}\right)$
- ◆ Update

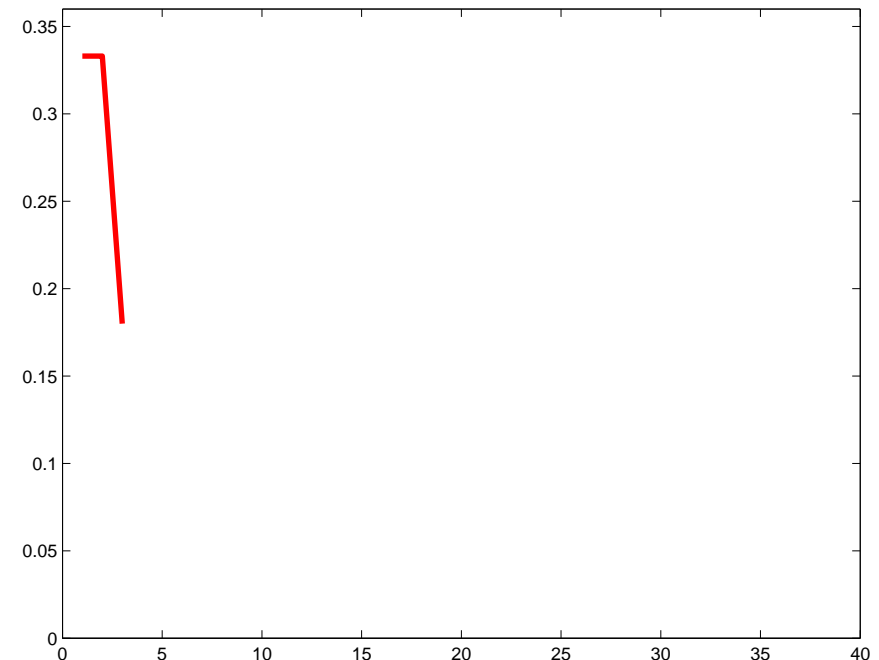
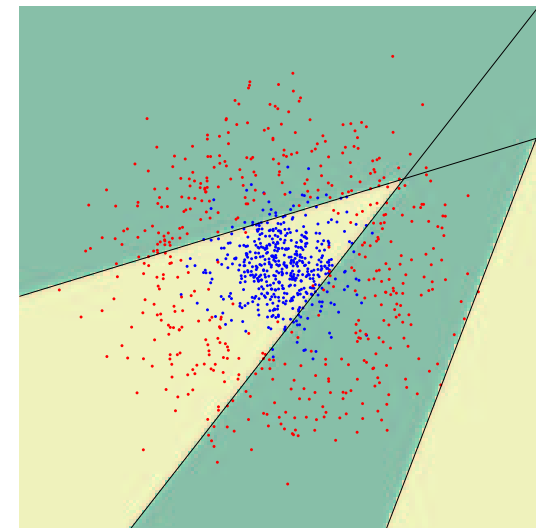
$$D_{t+1}(i) = \frac{D_t(i) \exp(-\alpha_t y_i h_t(x_i))}{Z_t}$$

where  $Z_t$  is normalisation factor

Output the final classifier:

$$H(x) = \text{sign} \left( \alpha_1 h_1(x) + \alpha_2 h_2(x) + \alpha_3 h_3(x) \right)$$

$t = 3$





# AdaBoost algorithmus

Given:  $(x_1, y_1), \dots, (x_m, y_m); x_i \in \mathcal{X}, y_i \in \{-1, +1\}$

Initialise weights  $D_1(i) = 1/m$

For  $t = 1, \dots, T$ :

- ◆ Find  $h_t = \arg \min_{h_j \in \mathcal{H}} \epsilon_j = \sum_{i=1}^m D_t(i) \mathbb{I}[y_i \neq h_j(x_i)]$
- ◆ If  $\epsilon_t \geq 1/2$  then stop
- ◆ Set  $\alpha_t = \frac{1}{2} \log\left(\frac{1-\epsilon_t}{\epsilon_t}\right)$
- ◆ Update

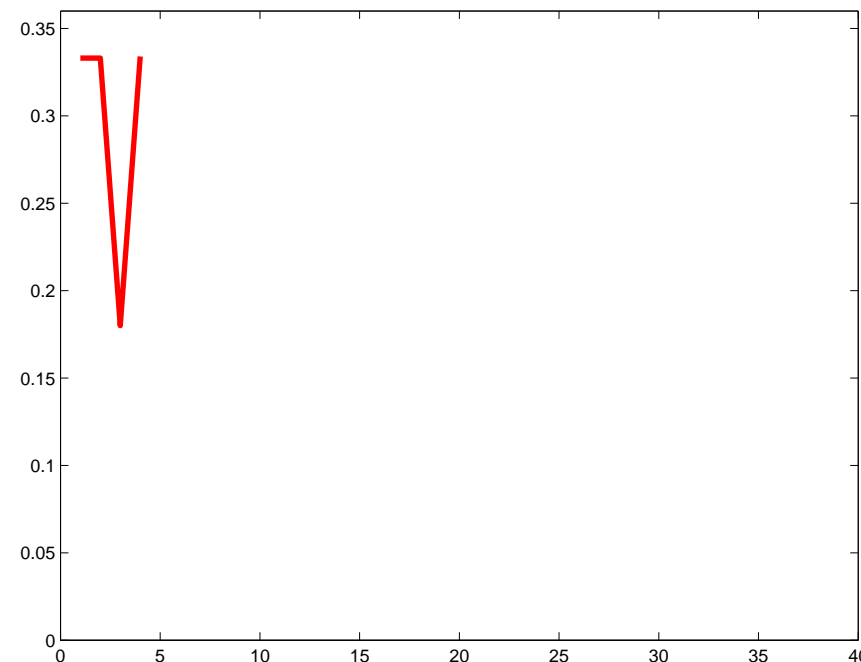
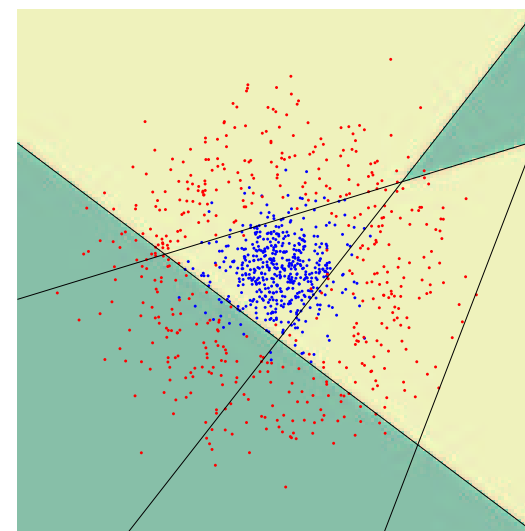
$$D_{t+1}(i) = \frac{D_t(i) \exp(-\alpha_t y_i h_t(x_i))}{Z_t}$$

where  $Z_t$  is normalisation factor

Output the final classifier:

$$H(x) = \text{sign} \left( \alpha_1 h_1(x) + \alpha_2 h_2(x) + \dots + \alpha_4 h_4(x) \right)$$

$t = 4$



# AdaBoost algorithmus

Given:  $(x_1, y_1), \dots, (x_m, y_m); x_i \in \mathcal{X}, y_i \in \{-1, +1\}$

Initialise weights  $D_1(i) = 1/m$

For  $t = 1, \dots, T$ :

- ◆ Find  $h_t = \arg \min_{h_j \in \mathcal{H}} \epsilon_j = \sum_{i=1}^m D_t(i) \mathbb{I}[y_i \neq h_j(x_i)]$
- ◆ If  $\epsilon_t \geq 1/2$  then stop
- ◆ Set  $\alpha_t = \frac{1}{2} \log\left(\frac{1-\epsilon_t}{\epsilon_t}\right)$
- ◆ Update

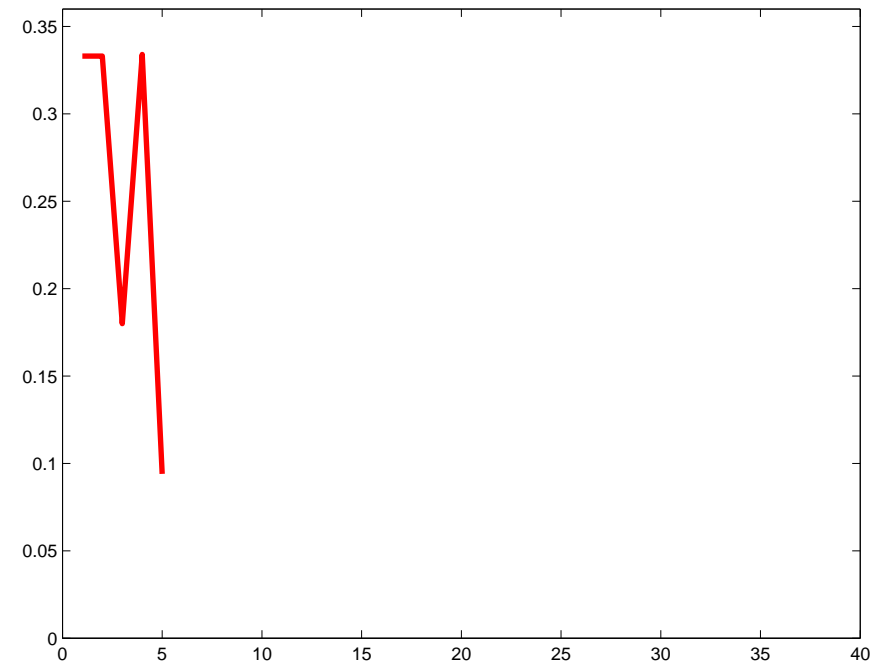
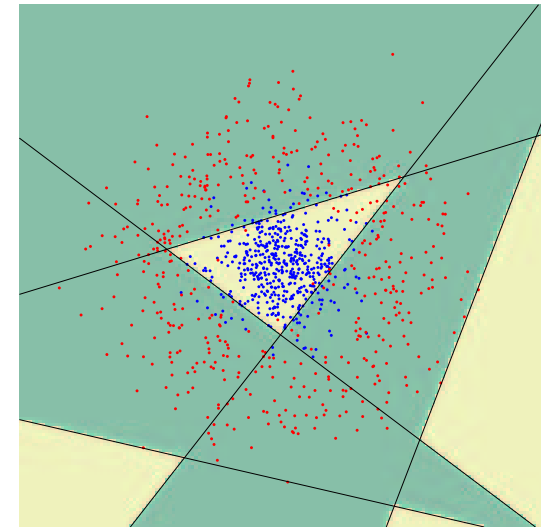
$$D_{t+1}(i) = \frac{D_t(i) \exp(-\alpha_t y_i h_t(x_i))}{Z_t}$$

where  $Z_t$  is normalisation factor

Output the final classifier:

$$H(x) = \text{sign} \left( \alpha_1 h_1(x) + \alpha_2 h_2(x) + \dots + \alpha_5 h_5(x) \right)$$

$t = 5$



# AdaBoost algorithmus

Given:  $(x_1, y_1), \dots, (x_m, y_m); x_i \in \mathcal{X}, y_i \in \{-1, +1\}$

Initialise weights  $D_1(i) = 1/m$

For  $t = 1, \dots, T$ :

- ◆ Find  $h_t = \arg \min_{h_j \in \mathcal{H}} \epsilon_j = \sum_{i=1}^m D_t(i) \llbracket y_i \neq h_j(x_i) \rrbracket$
- ◆ If  $\epsilon_t \geq 1/2$  then stop
- ◆ Set  $\alpha_t = \frac{1}{2} \log\left(\frac{1-\epsilon_t}{\epsilon_t}\right)$
- ◆ Update

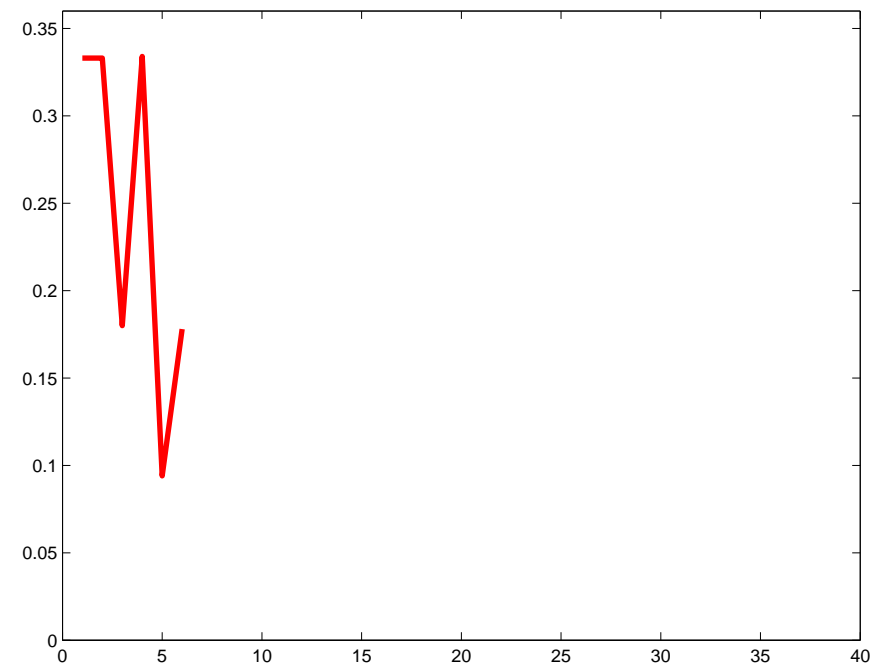
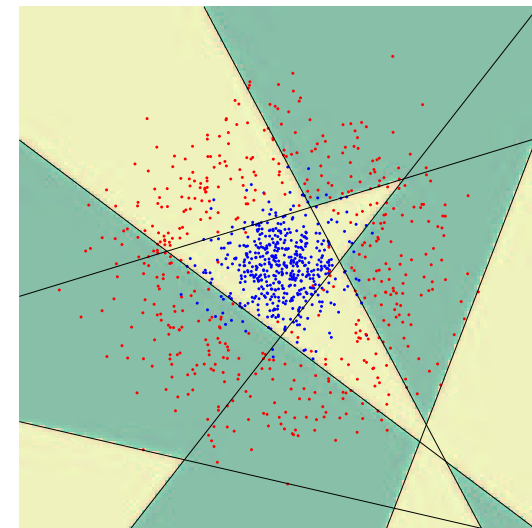
$$D_{t+1}(i) = \frac{D_t(i) \exp(-\alpha_t y_i h_t(x_i))}{Z_t}$$

where  $Z_t$  is normalisation factor

Output the final classifier:

$$H(x) = \text{sign} \left( \alpha_1 h_1(x) + \alpha_2 h_2(x) + \dots + \alpha_6 h_6(x) \right)$$

$t = 6$



# AdaBoost algorithmus

Given:  $(x_1, y_1), \dots, (x_m, y_m); x_i \in \mathcal{X}, y_i \in \{-1, +1\}$

Initialise weights  $D_1(i) = 1/m$

For  $t = 1, \dots, T$ :

- ◆ Find  $h_t = \arg \min_{h_j \in \mathcal{H}} \epsilon_j = \sum_{i=1}^m D_t(i) \mathbb{I}[y_i \neq h_j(x_i)]$
- ◆ If  $\epsilon_t \geq 1/2$  then stop
- ◆ Set  $\alpha_t = \frac{1}{2} \log\left(\frac{1-\epsilon_t}{\epsilon_t}\right)$
- ◆ Update

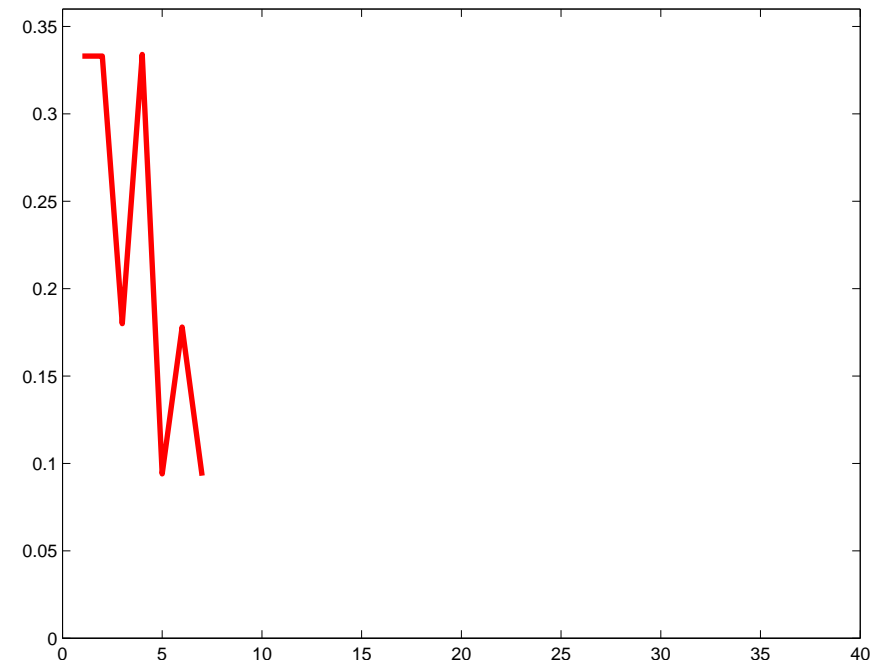
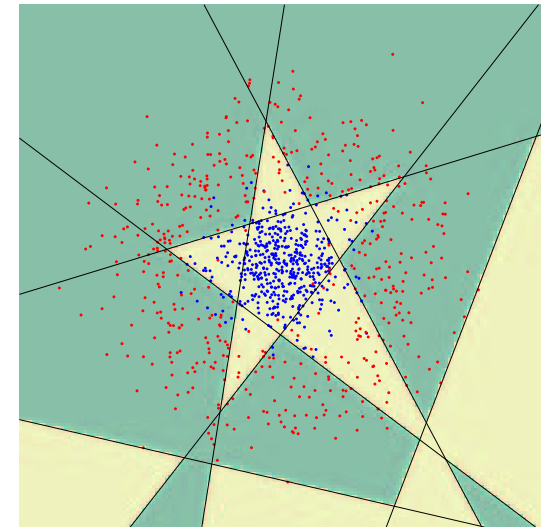
$$D_{t+1}(i) = \frac{D_t(i) \exp(-\alpha_t y_i h_t(x_i))}{Z_t}$$

where  $Z_t$  is normalisation factor

Output the final classifier:

$$H(x) = \text{sign} \left( \alpha_1 h_1(x) + \alpha_2 h_2(x) + \dots + \alpha_7 h_7(x) \right)$$

$t = 7$



# AdaBoost algorithmus

Given:  $(x_1, y_1), \dots, (x_m, y_m); x_i \in \mathcal{X}, y_i \in \{-1, +1\}$

Initialise weights  $D_1(i) = 1/m$

For  $t = 1, \dots, T$ :

- ◆ Find  $h_t = \arg \min_{h_j \in \mathcal{H}} \epsilon_j = \sum_{i=1}^m D_t(i) \llbracket y_i \neq h_j(x_i) \rrbracket$
- ◆ If  $\epsilon_t \geq 1/2$  then stop
- ◆ Set  $\alpha_t = \frac{1}{2} \log\left(\frac{1-\epsilon_t}{\epsilon_t}\right)$
- ◆ Update

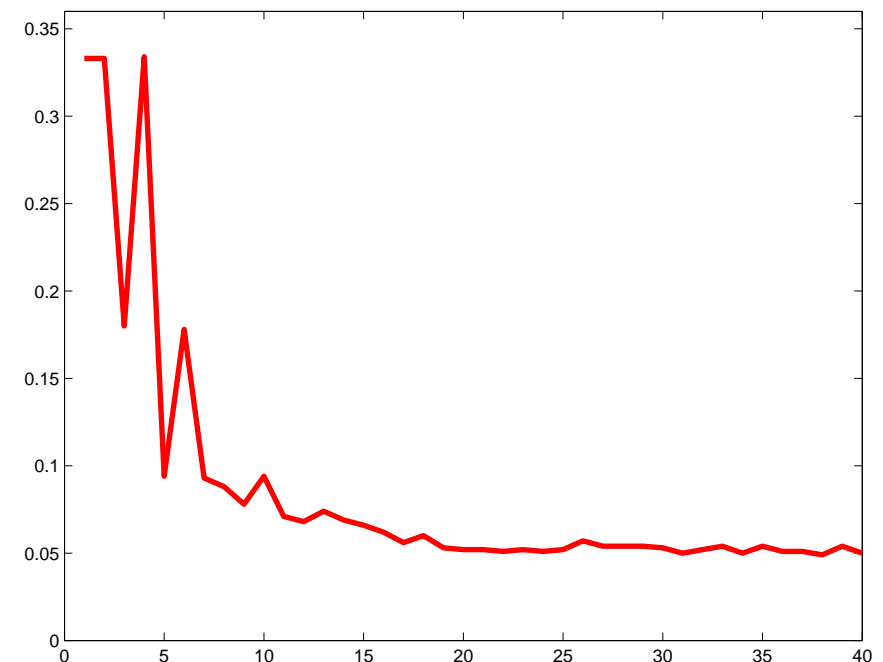
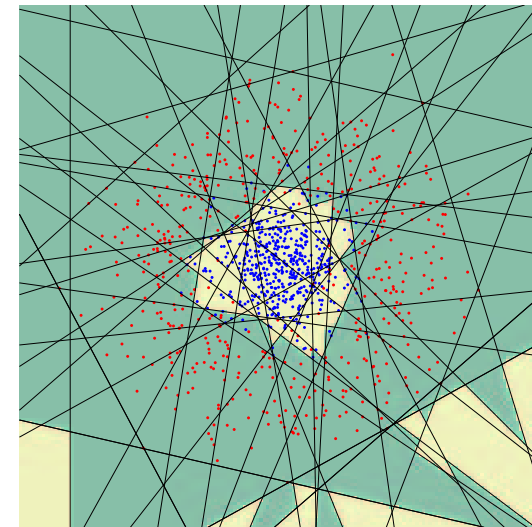
$$D_{t+1}(i) = \frac{D_t(i) \exp(-\alpha_t y_i h_t(x_i))}{Z_t}$$

where  $Z_t$  is normalisation factor

Output the final classifier:

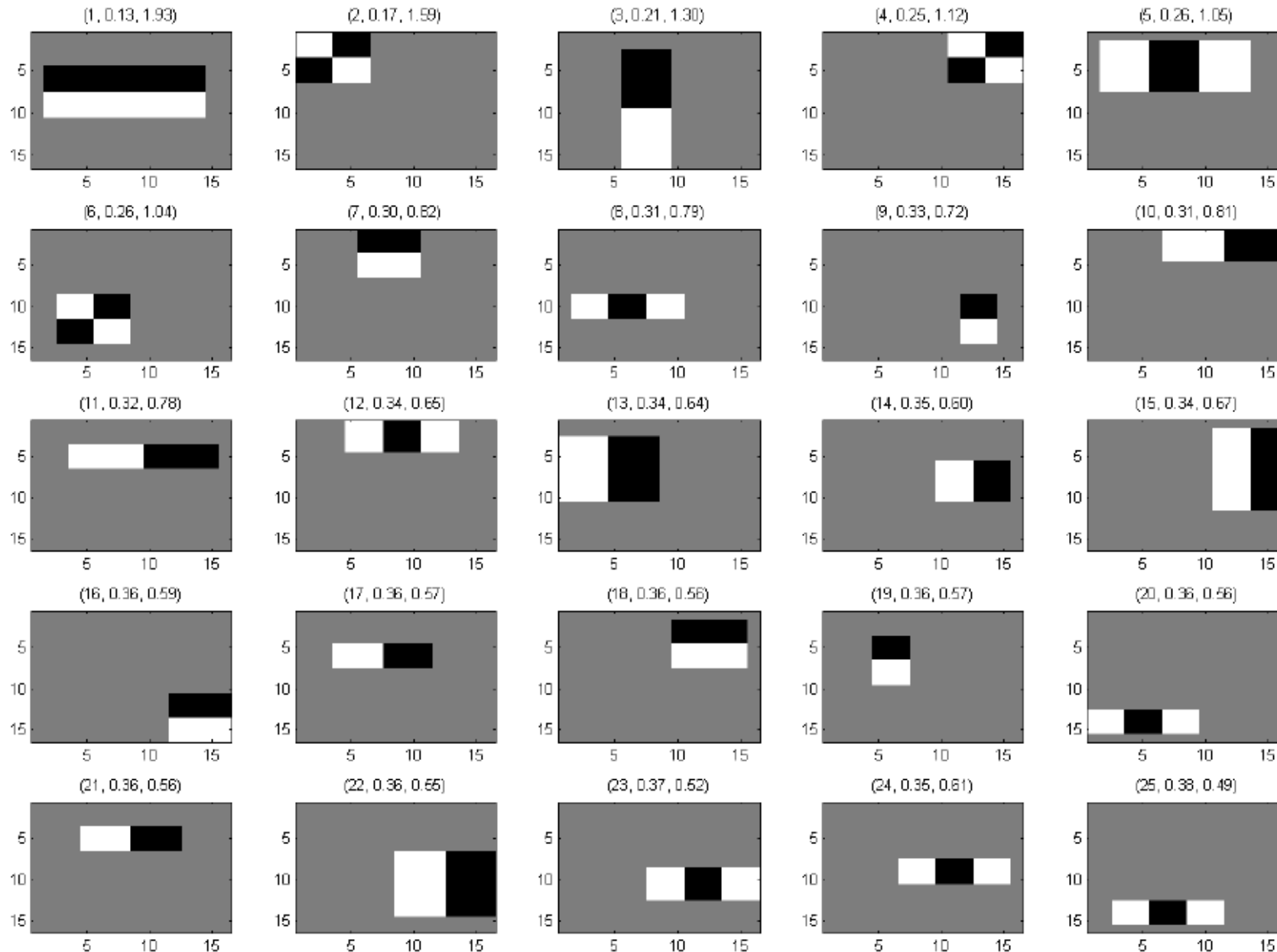
$$H(x) = \text{sign} \left( \alpha_1 h_1(x) + \alpha_2 h_2(x) + \dots + \alpha_{40} h_{40}(x) \right)$$

$t = 40$



# Příklady nalezených slabých klasifikátorů pomocí AdaBoostu

Po prvních 25 iteracích.

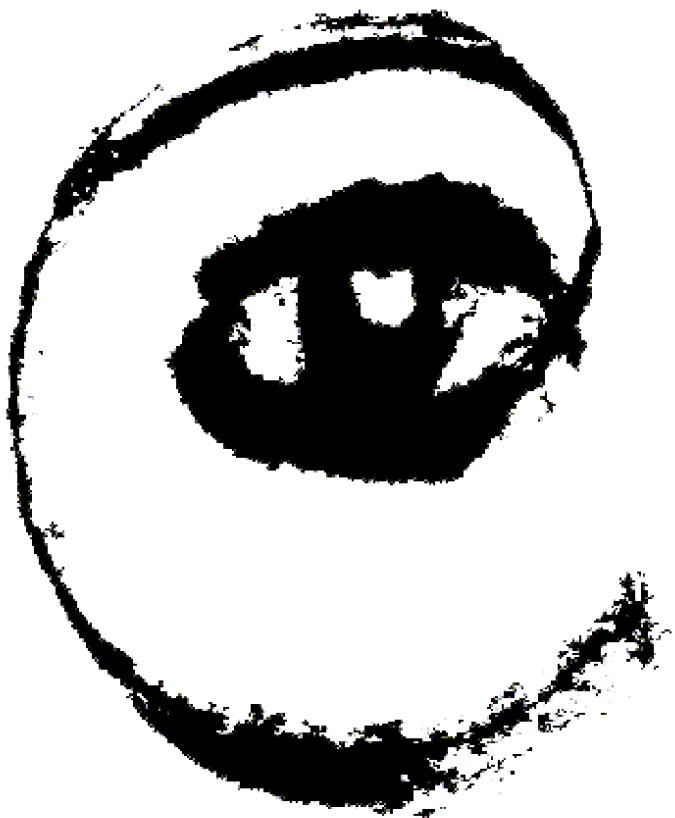


## Homework: Take part in age estimation experiment

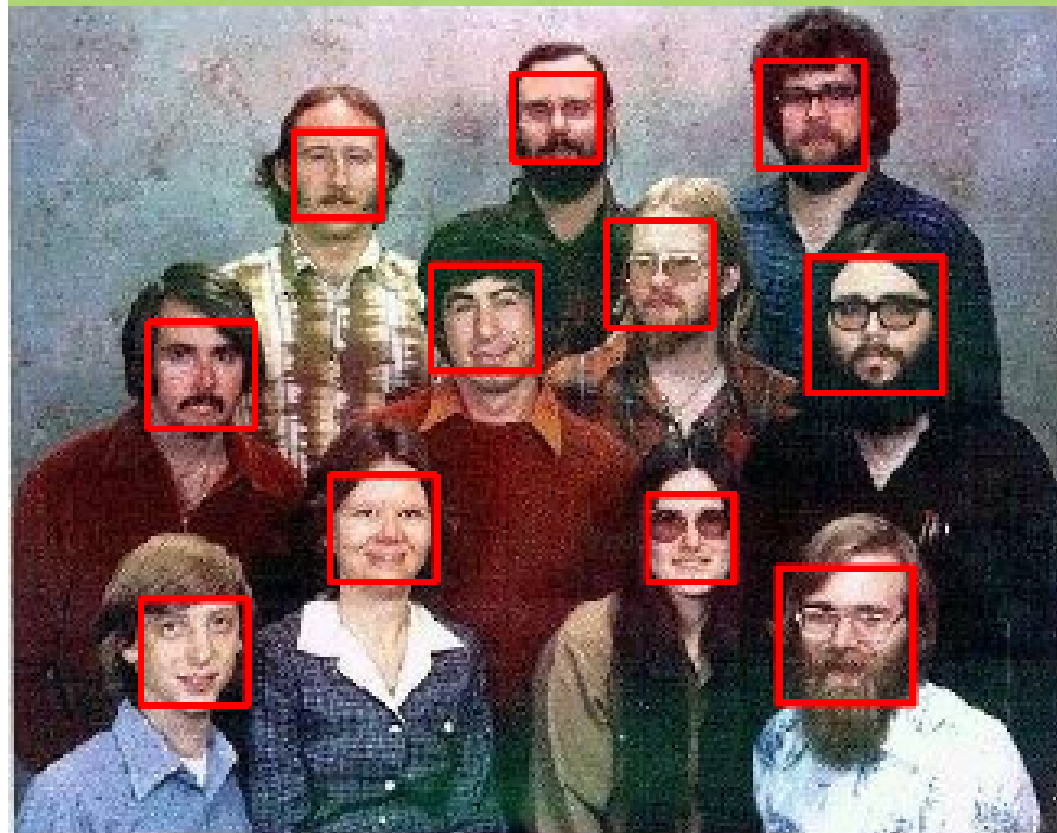
- ◆ Odhad věku: <http://cmp.felk.cvut.cz/~xfrancv/ageannot/imdb/>

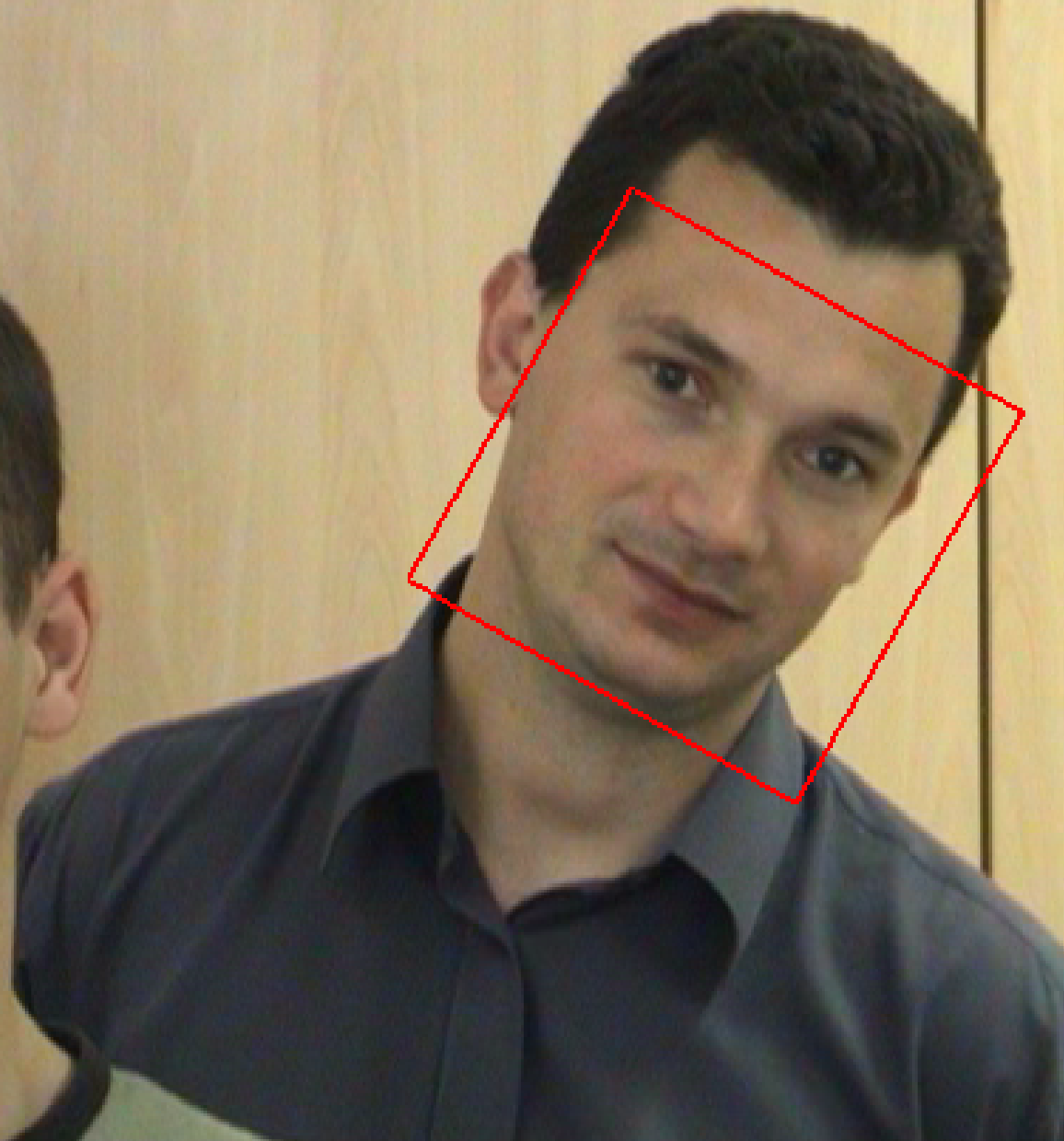
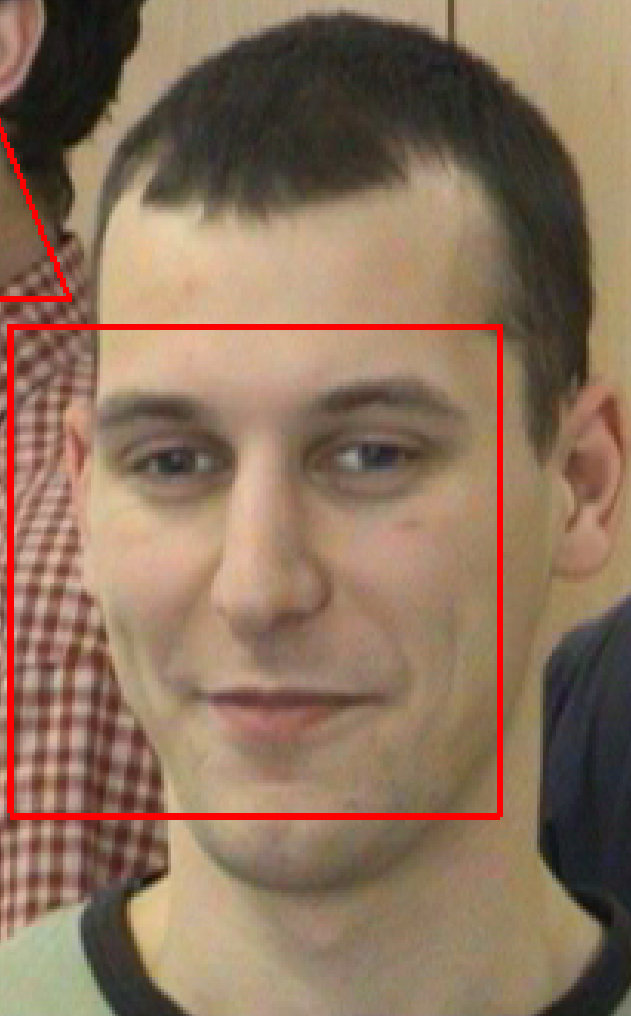
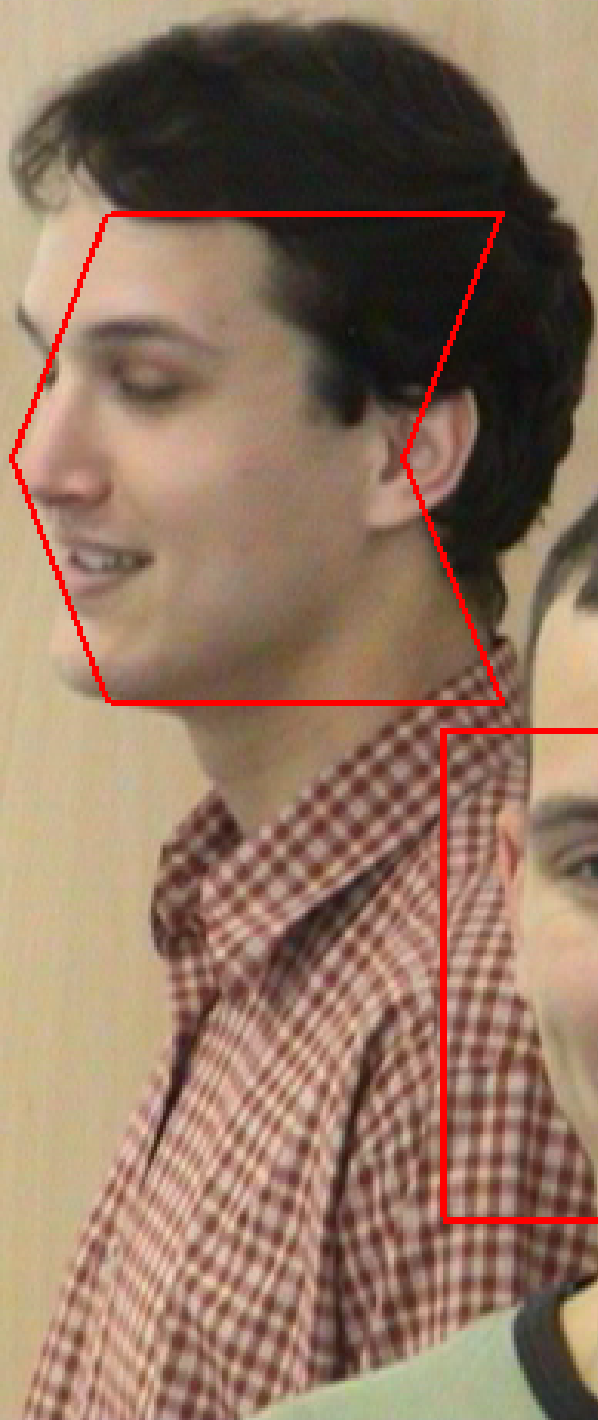
Konec

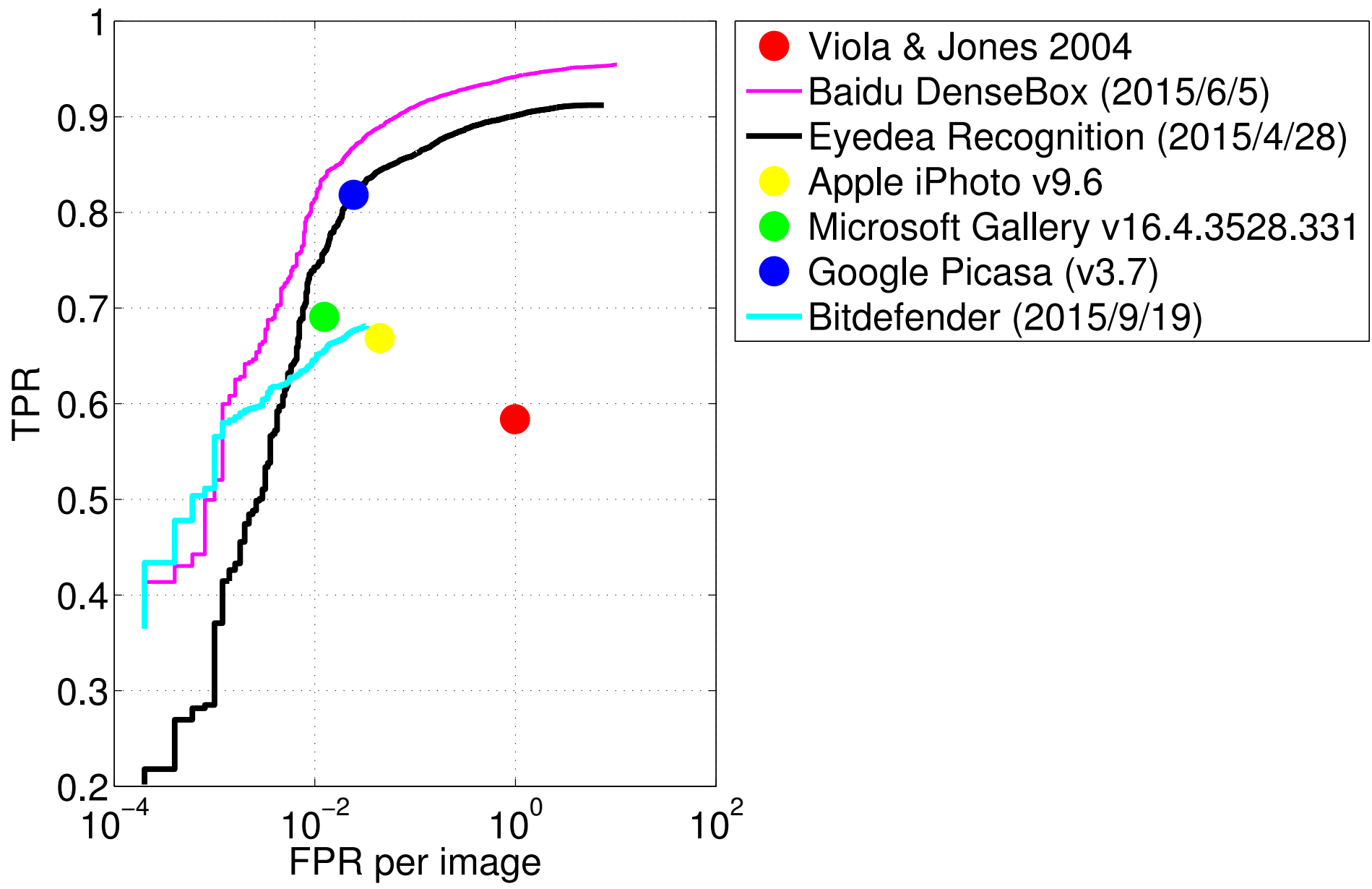




m p







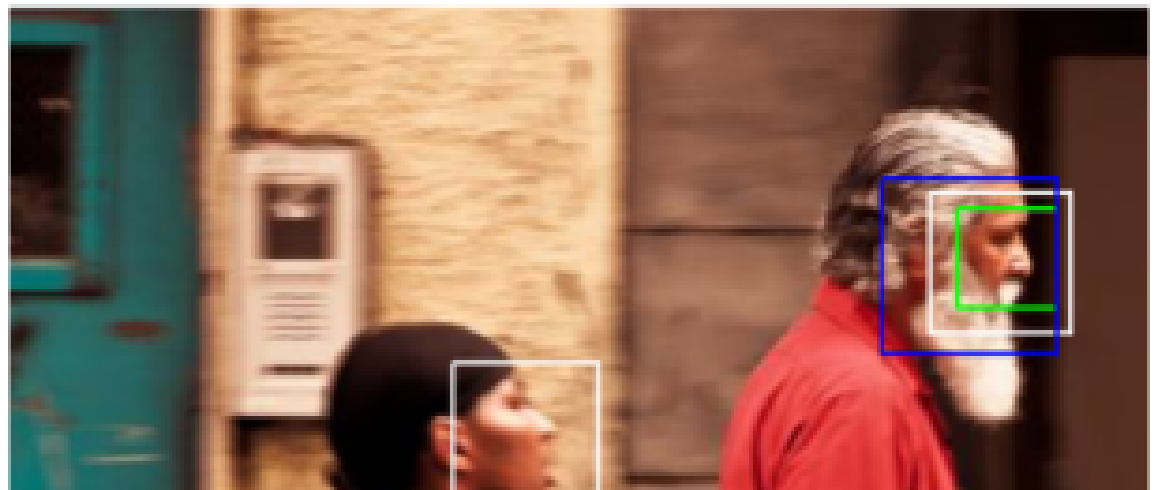
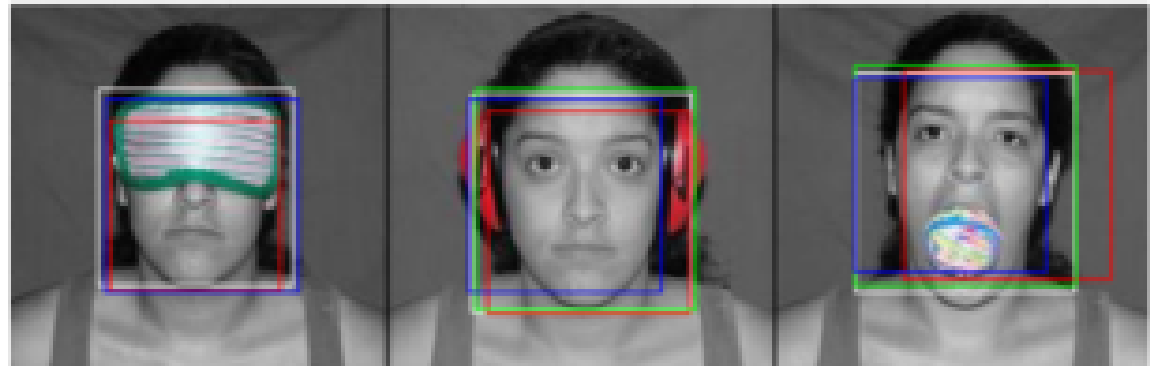
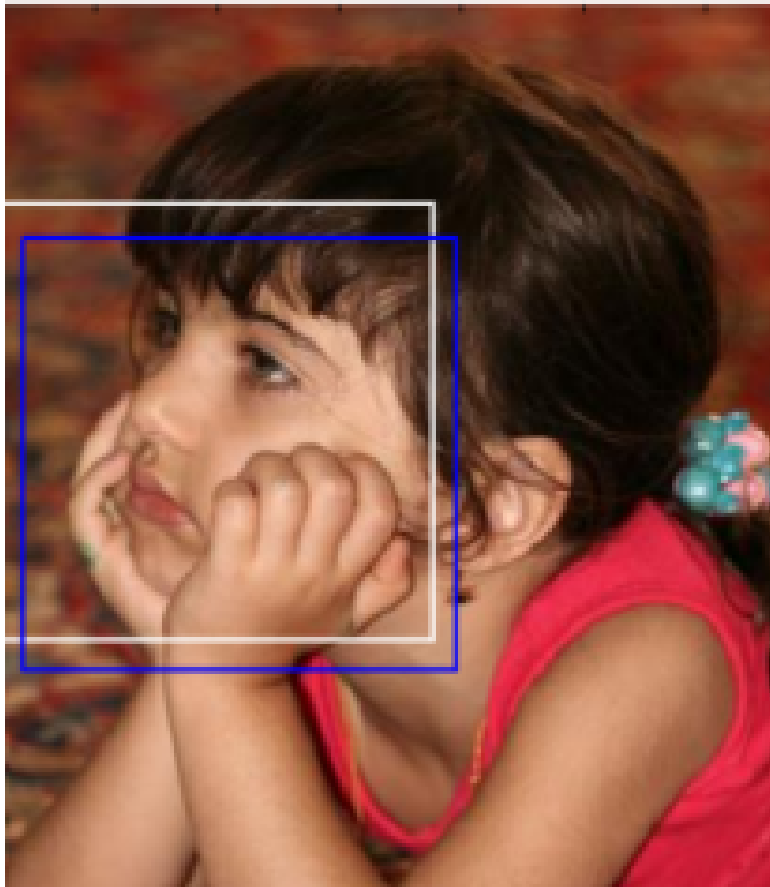
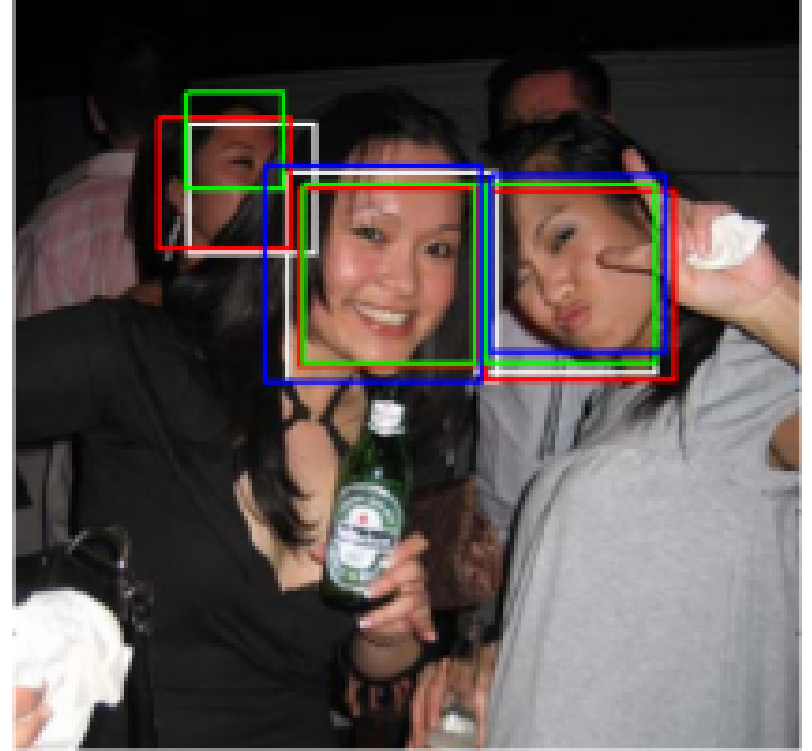
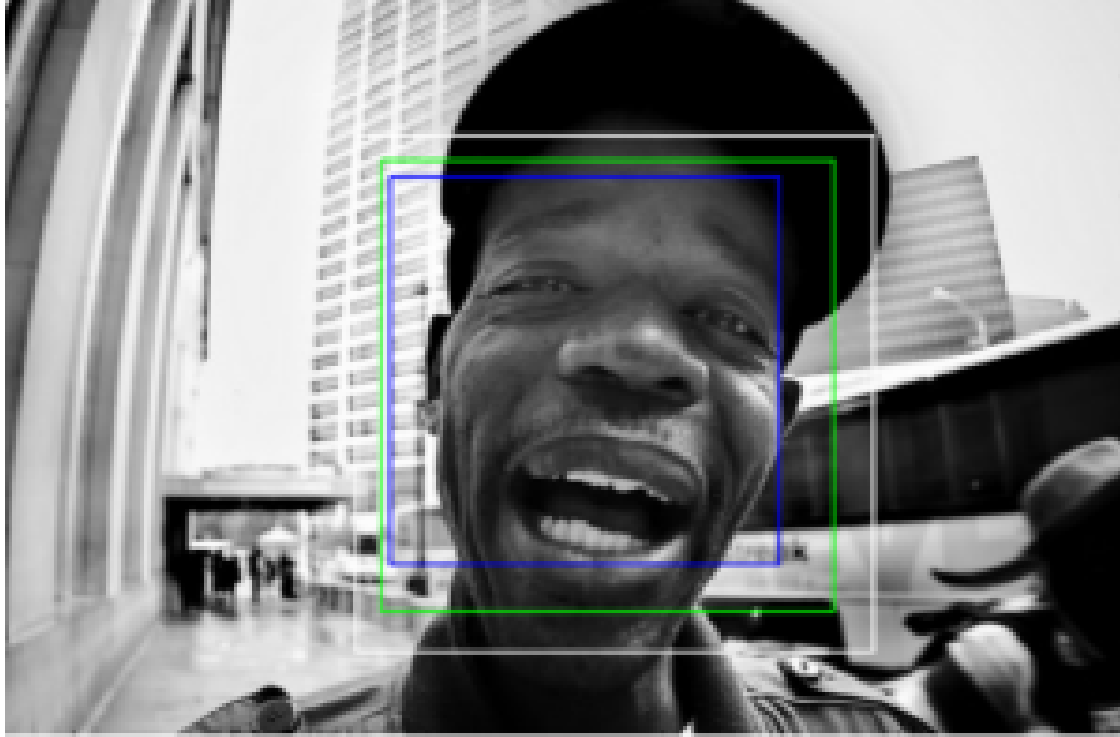


Image A

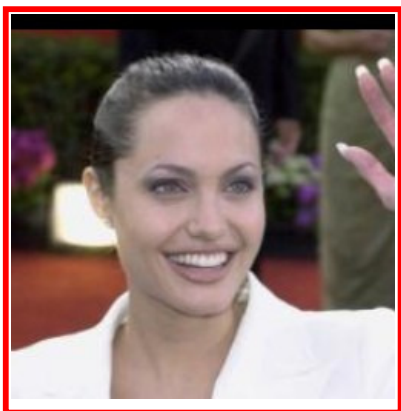
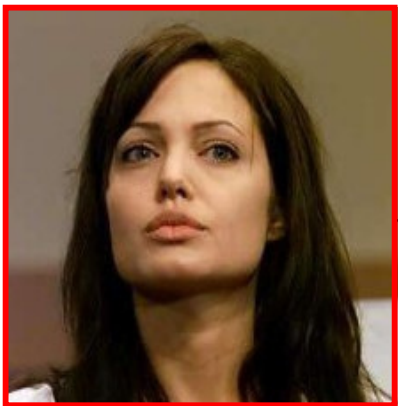


Image B



Verification  
system

the same / different

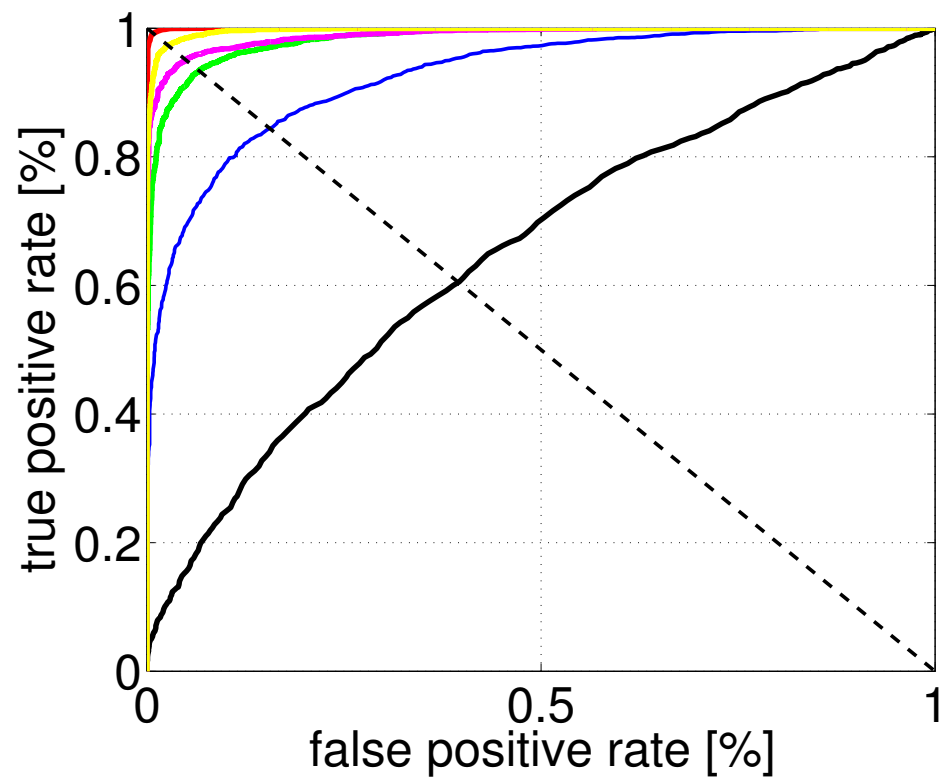




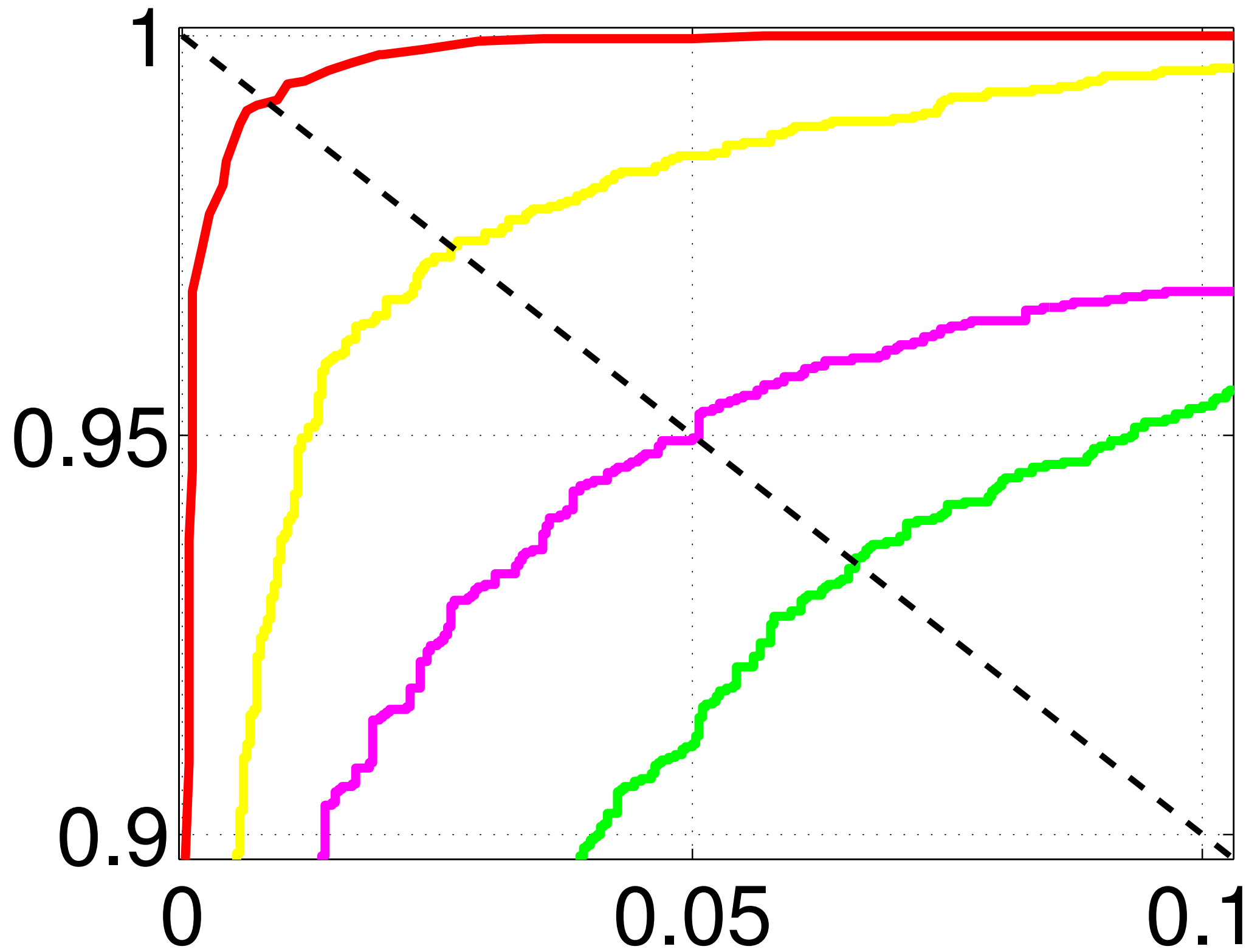











- human (99.2%)
- Eigenface [Turk et al 1991] (60%)
- Simile [Kumar et al 2011] (84.7%)
- Attributes [Berg et al 2012] (93.3%)
- HighDimLBP [Chen et al 2013] (95.2%)
- DeepFace [Taigman 2014] (97.4%)



**Tracks**

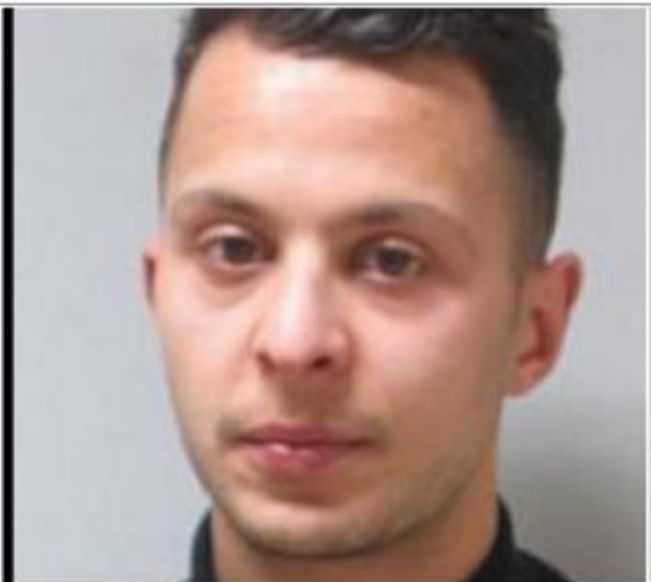
- All tracks
- Selected tracks

- 
**Track 6**  
 age: 33  
 Gender: unknown
- 
**Track 2**  
 age: 34  
 Gender: male (99%)
- 
**Track 4**  
 age: 30  
 Gender: male (99%)

Track image



Person image




Show matched pair

								
1252.65	971.05	960.54	918.06	872.37	866.14	857.18	852.84	852.83

**Persons**

- Whole database
- Database selection

- 
**DB Entry 1234**  
 ? male, age: 26  
 Birth date: [redacted]



*(a) Good quality mugshot*



*(b) Poor quality webcam*

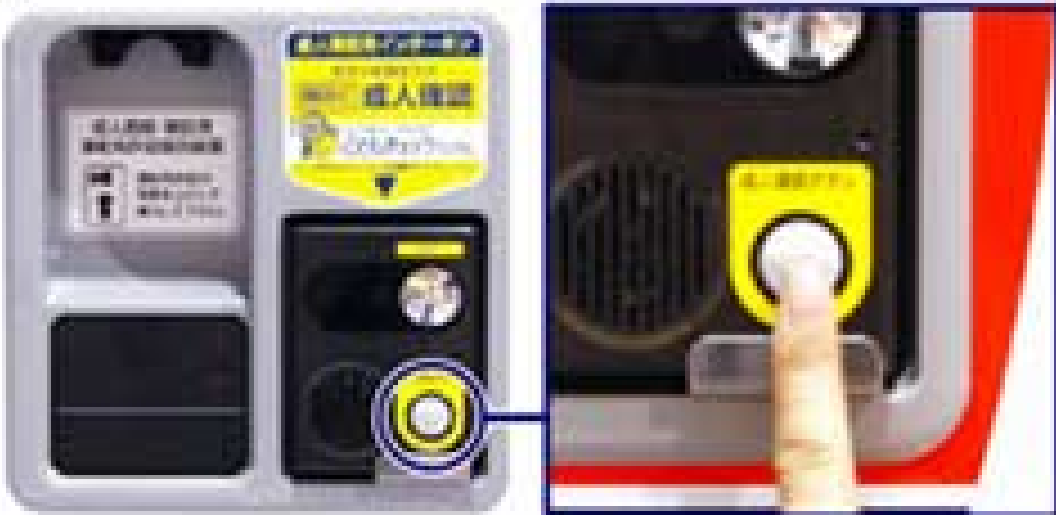
1.



顔認証たばこ自販機右上部のインターホンのミラーにご注目。そのミラーに顔が映るようにお立ち頂きます。

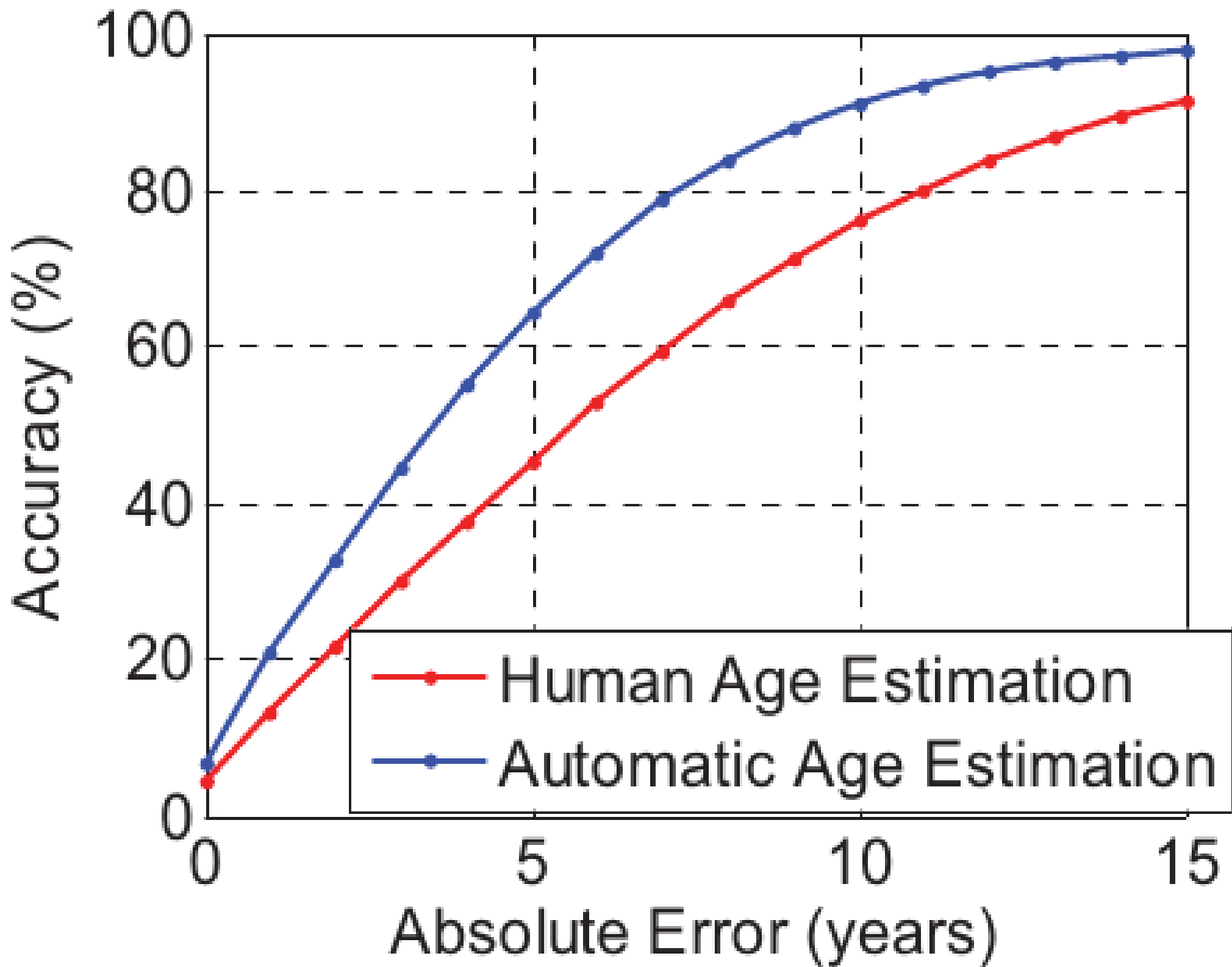


2.



3.























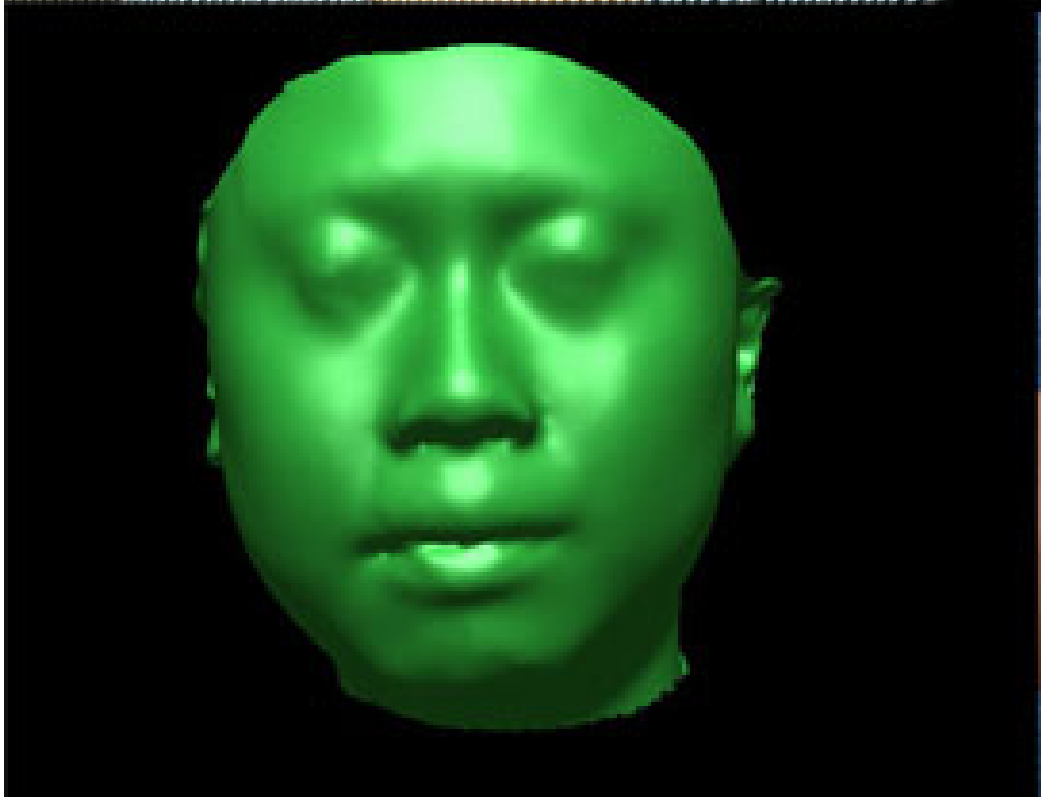


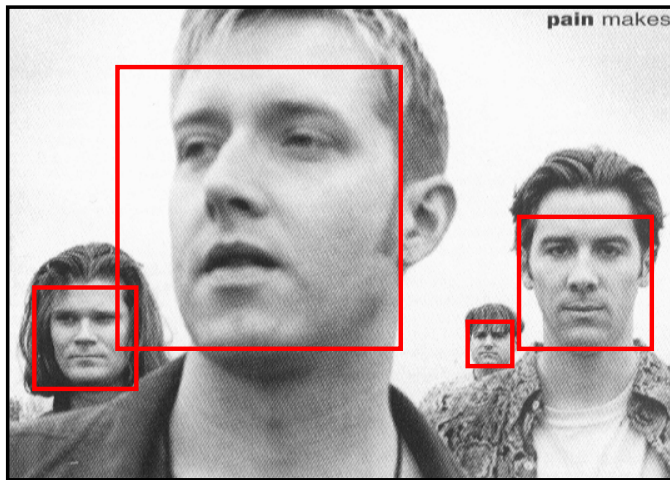
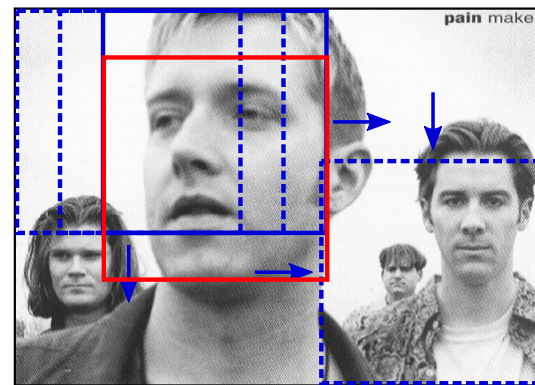
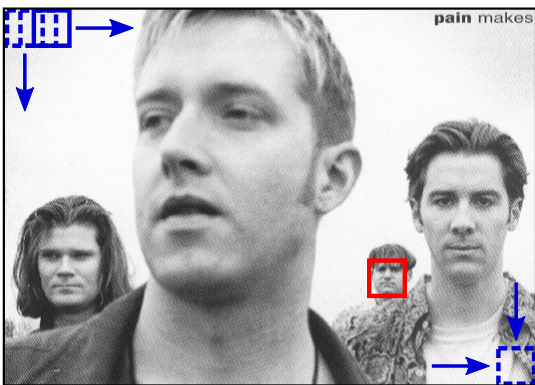


id: 164

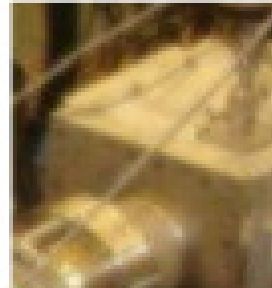
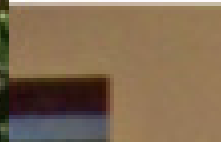
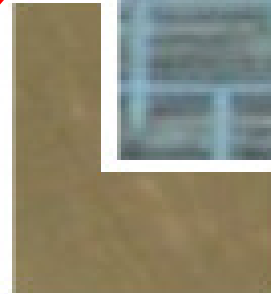
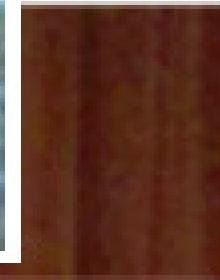
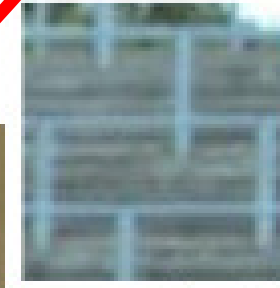
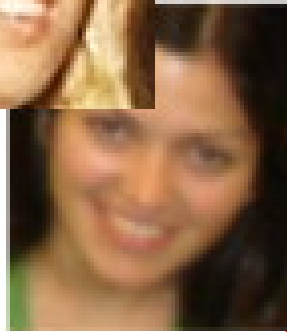
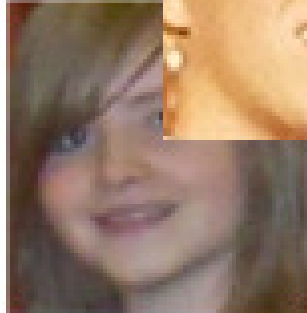


id: 165

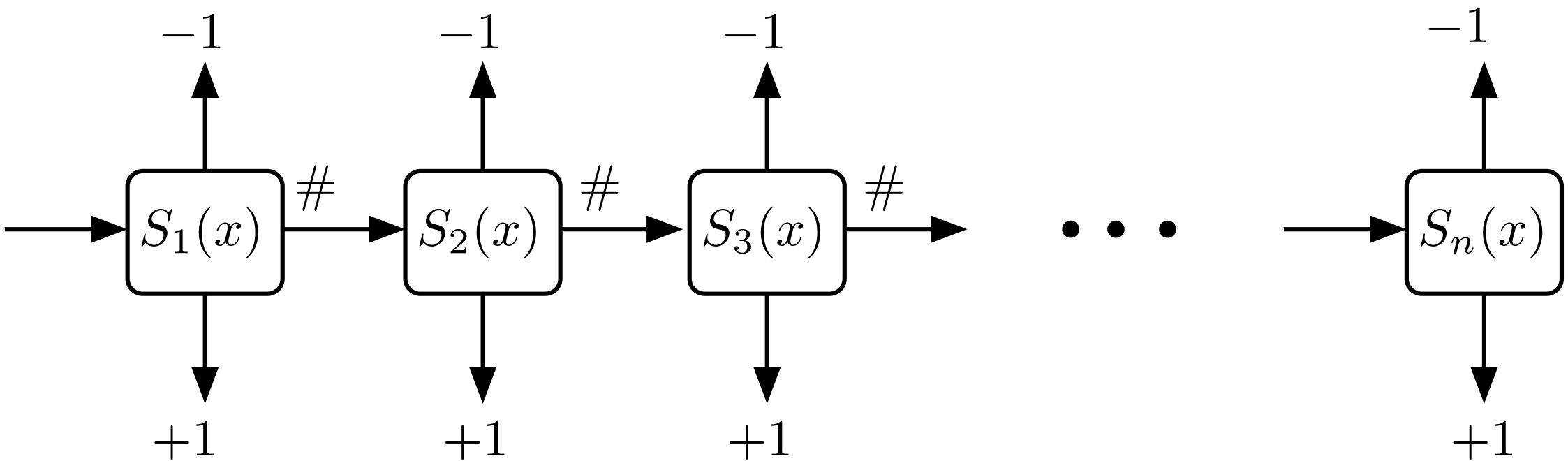




FACE



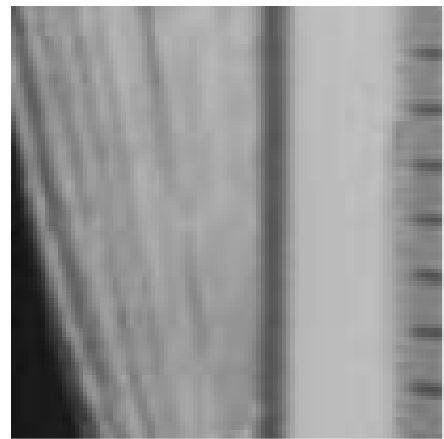
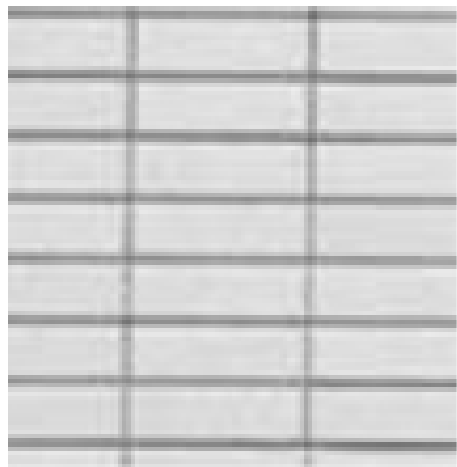
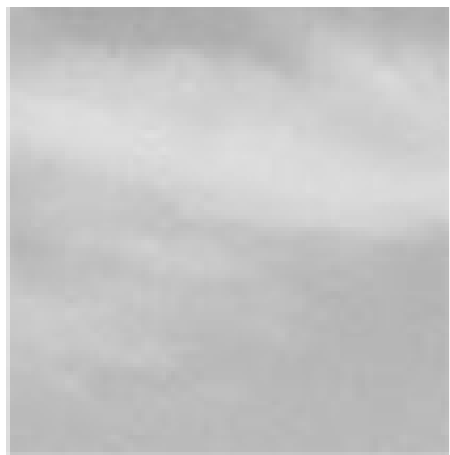
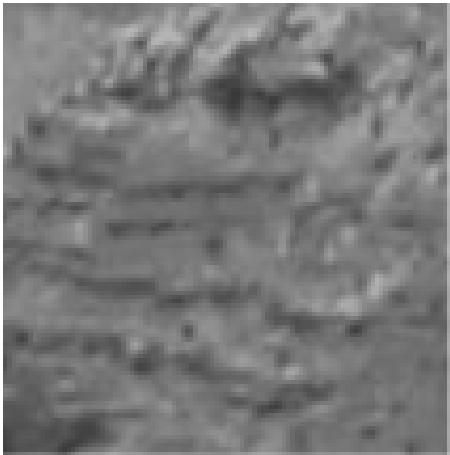
NONFACE

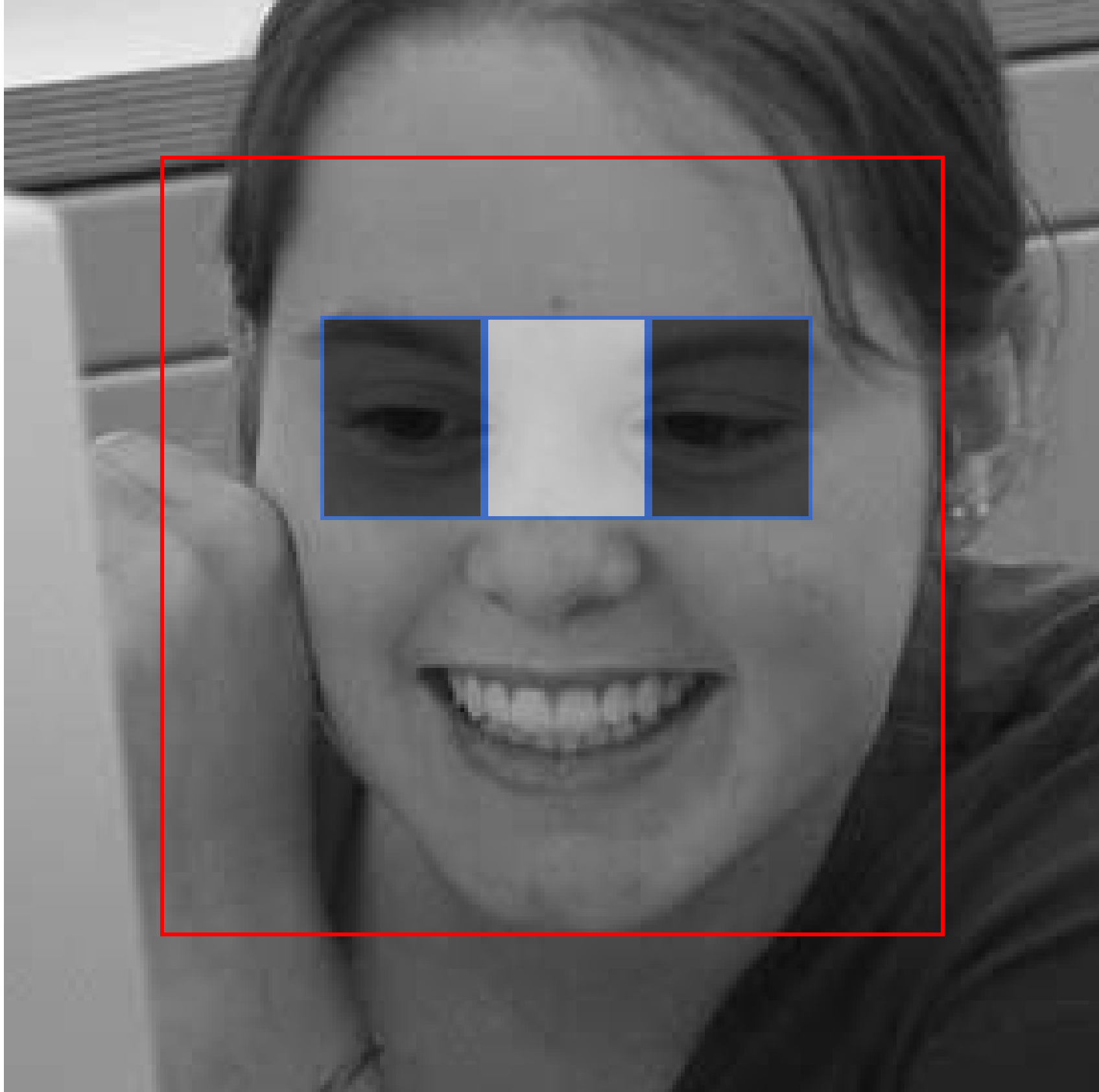




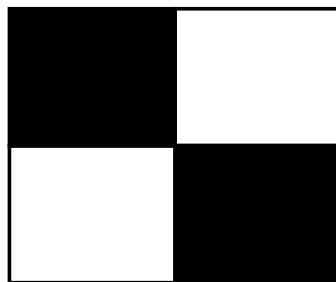
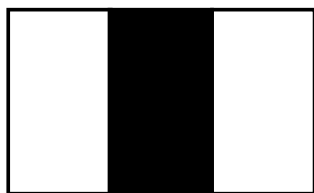
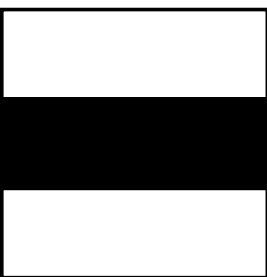
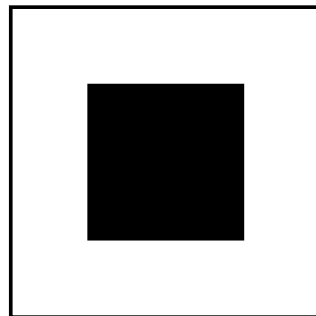
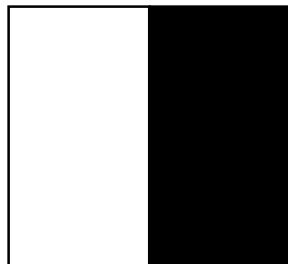
...



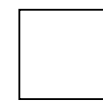




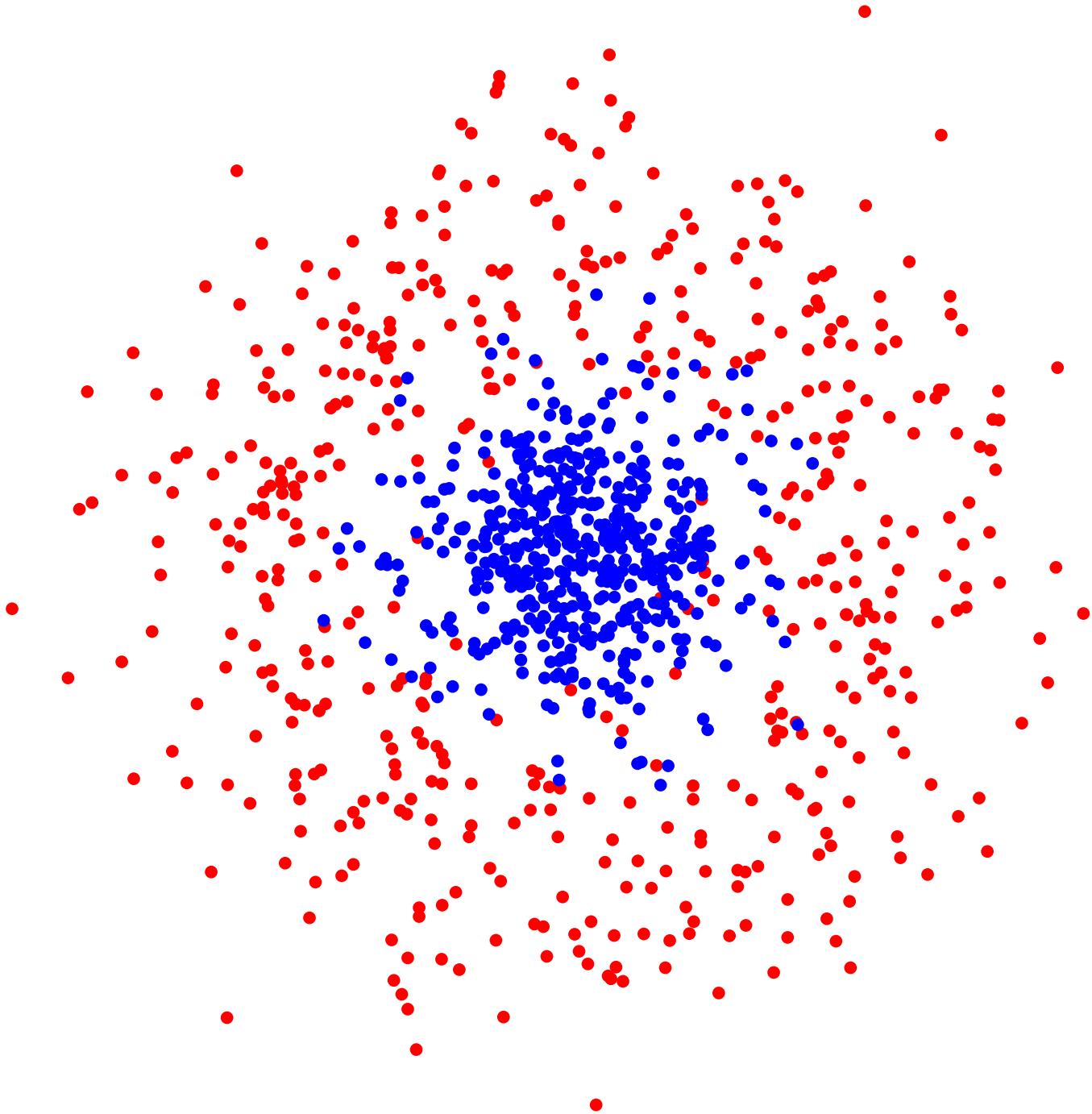


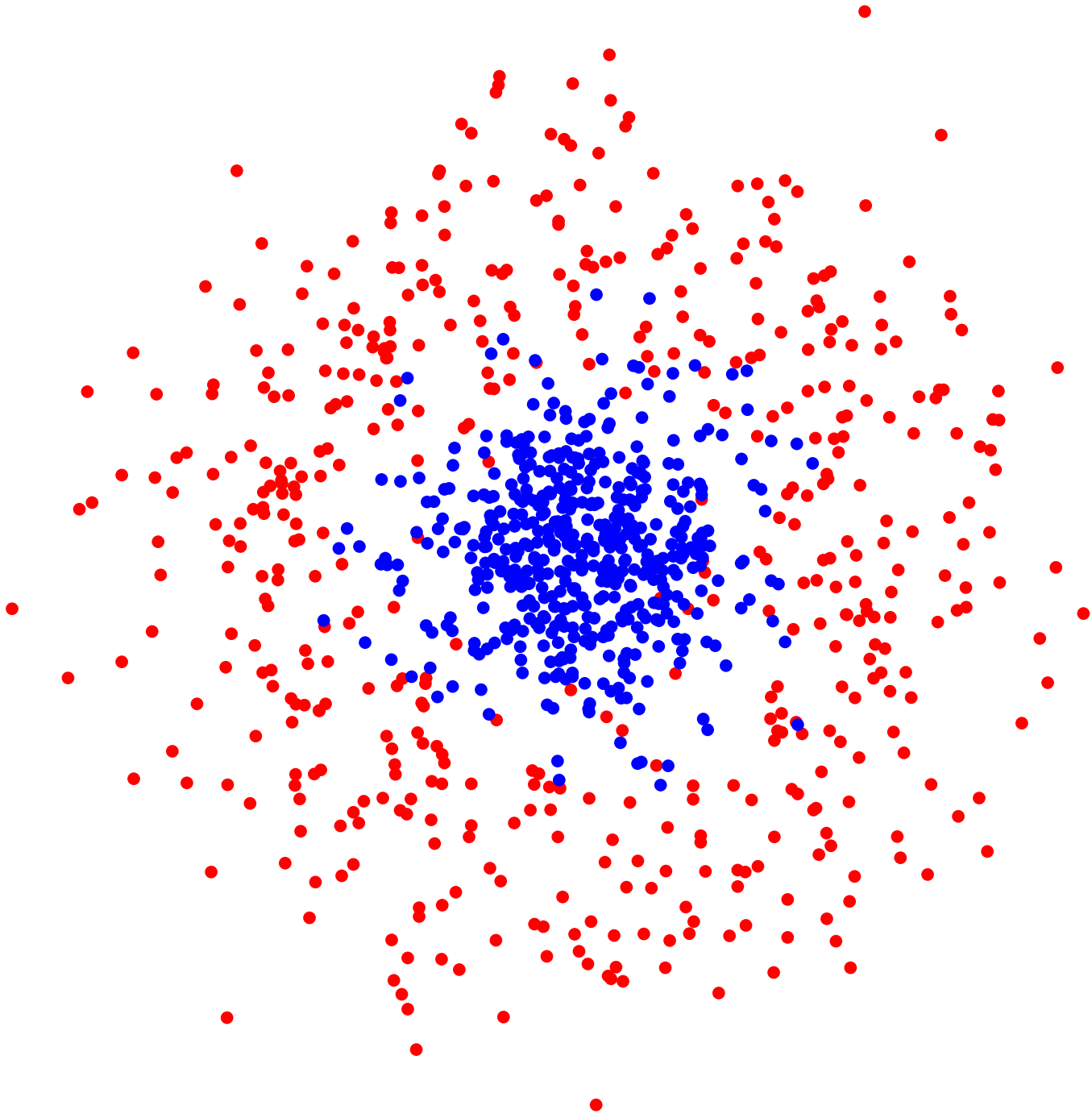


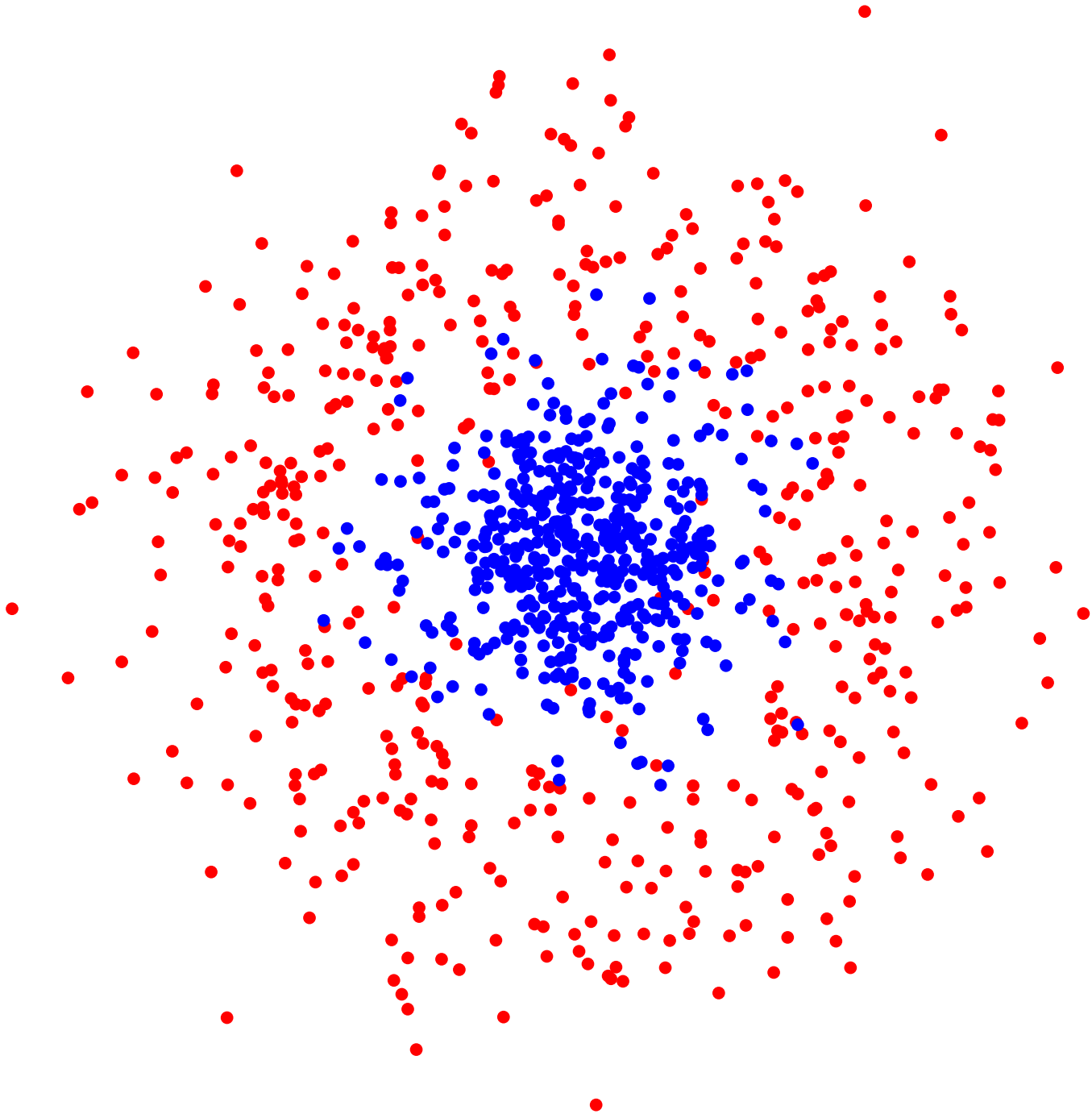
..... -1

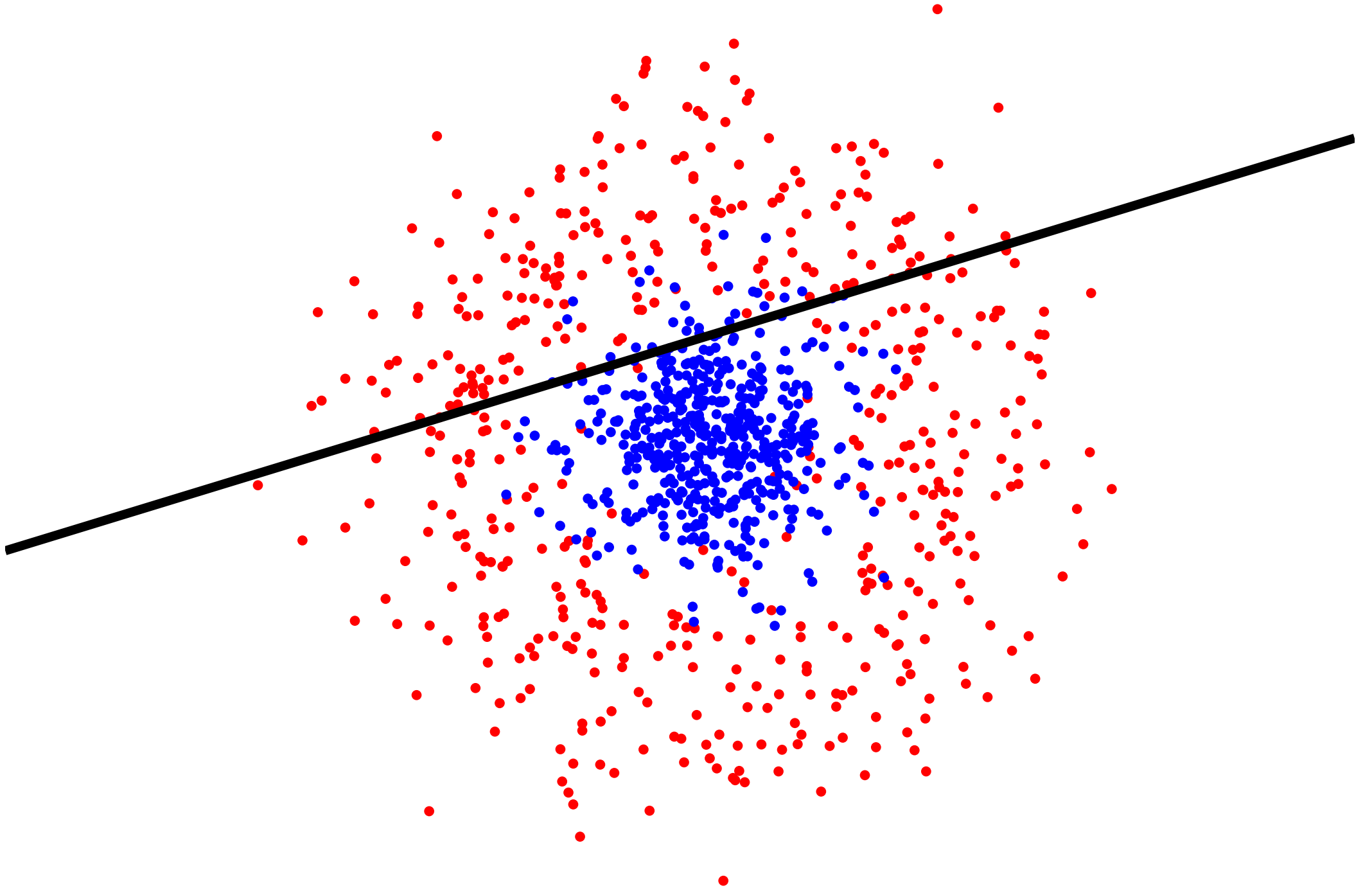


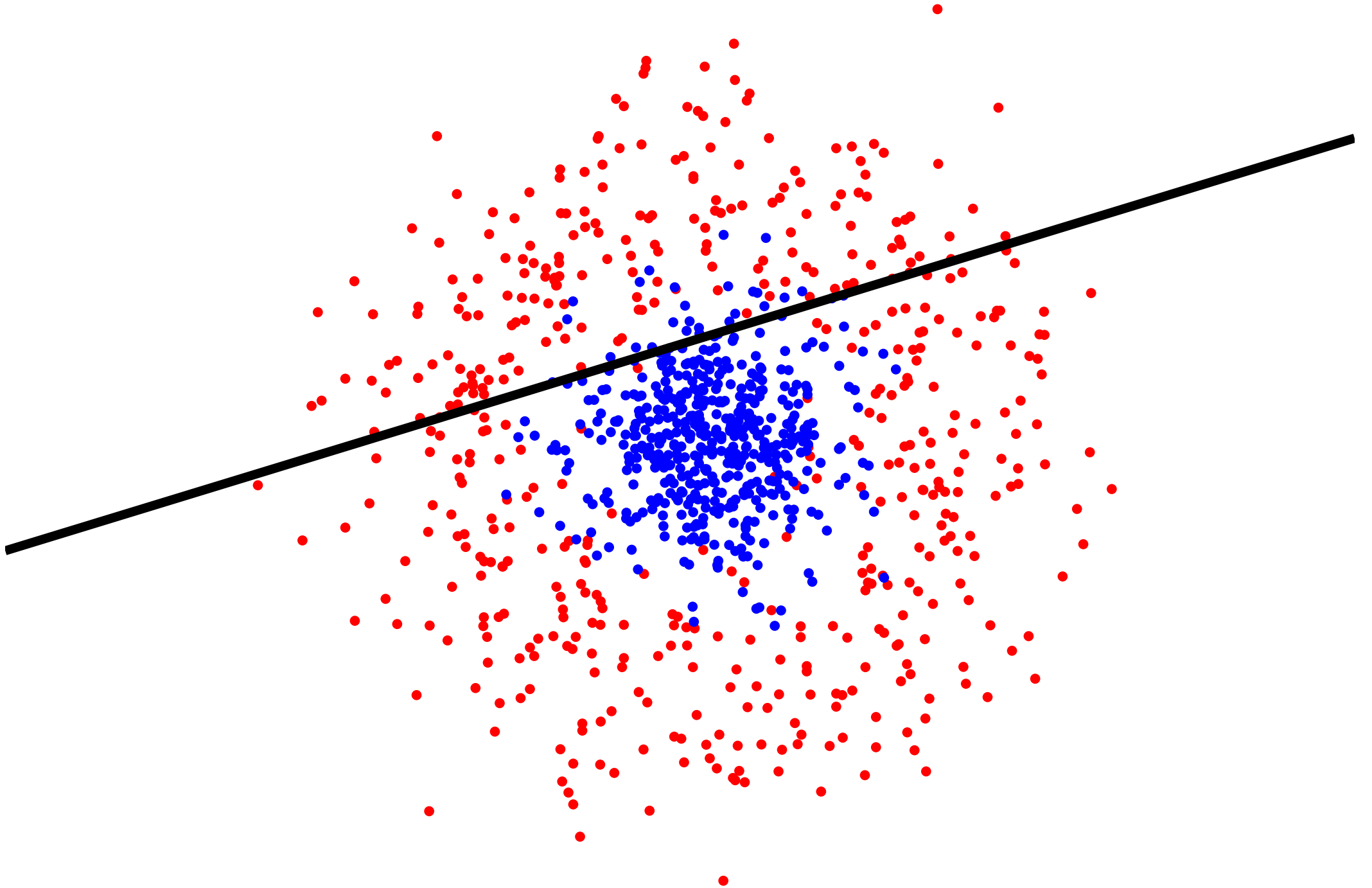
..... +1

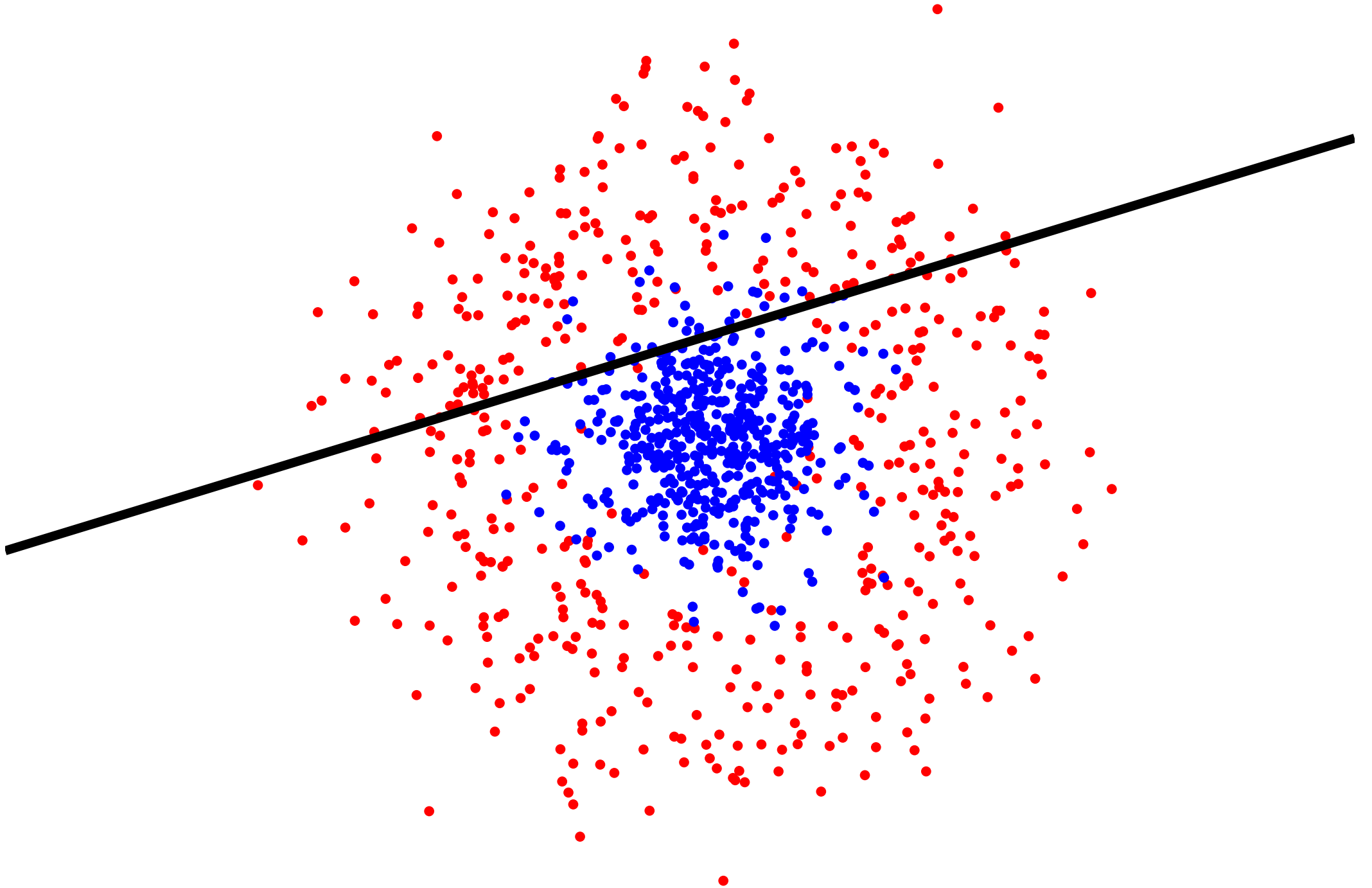


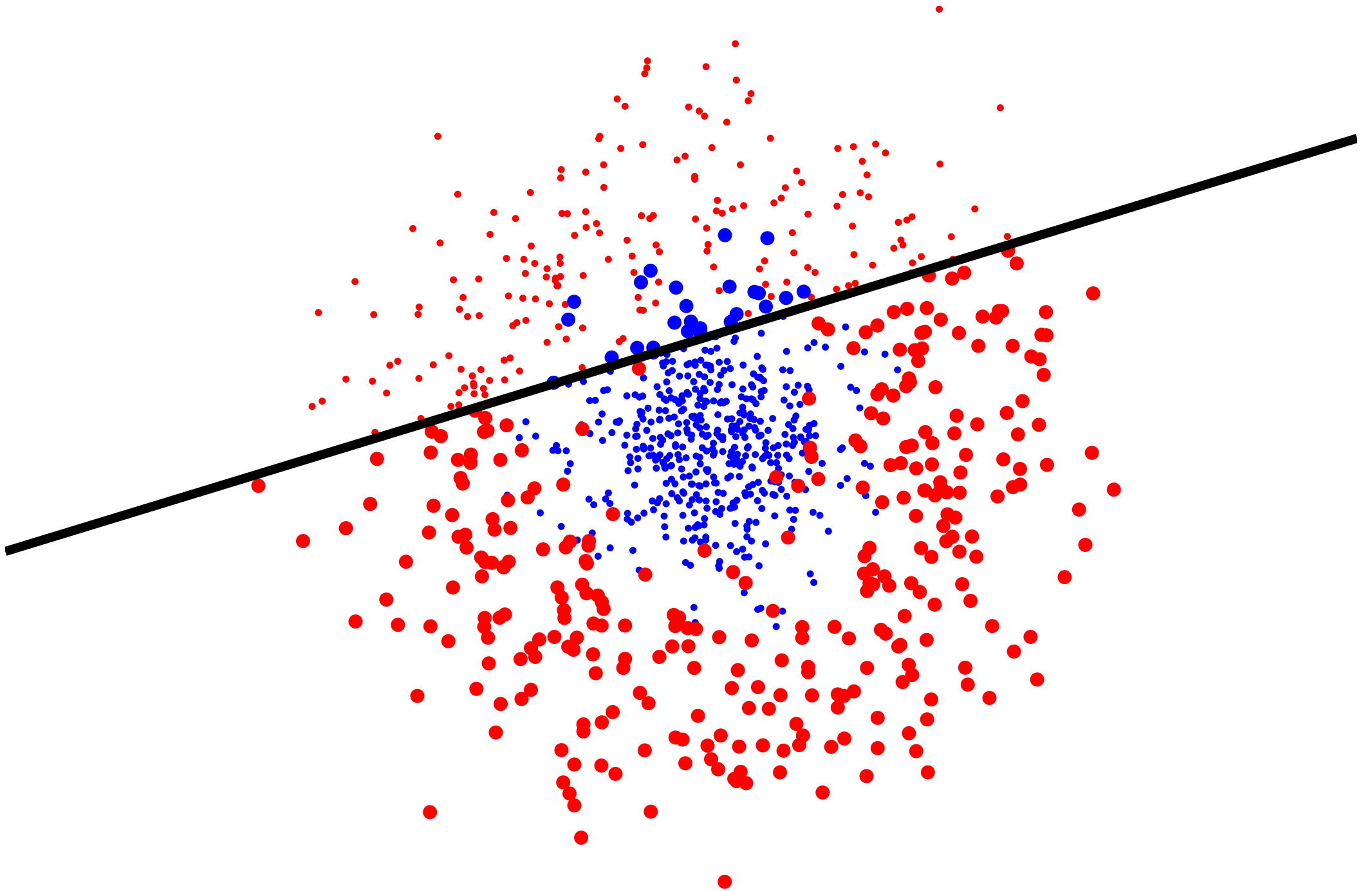




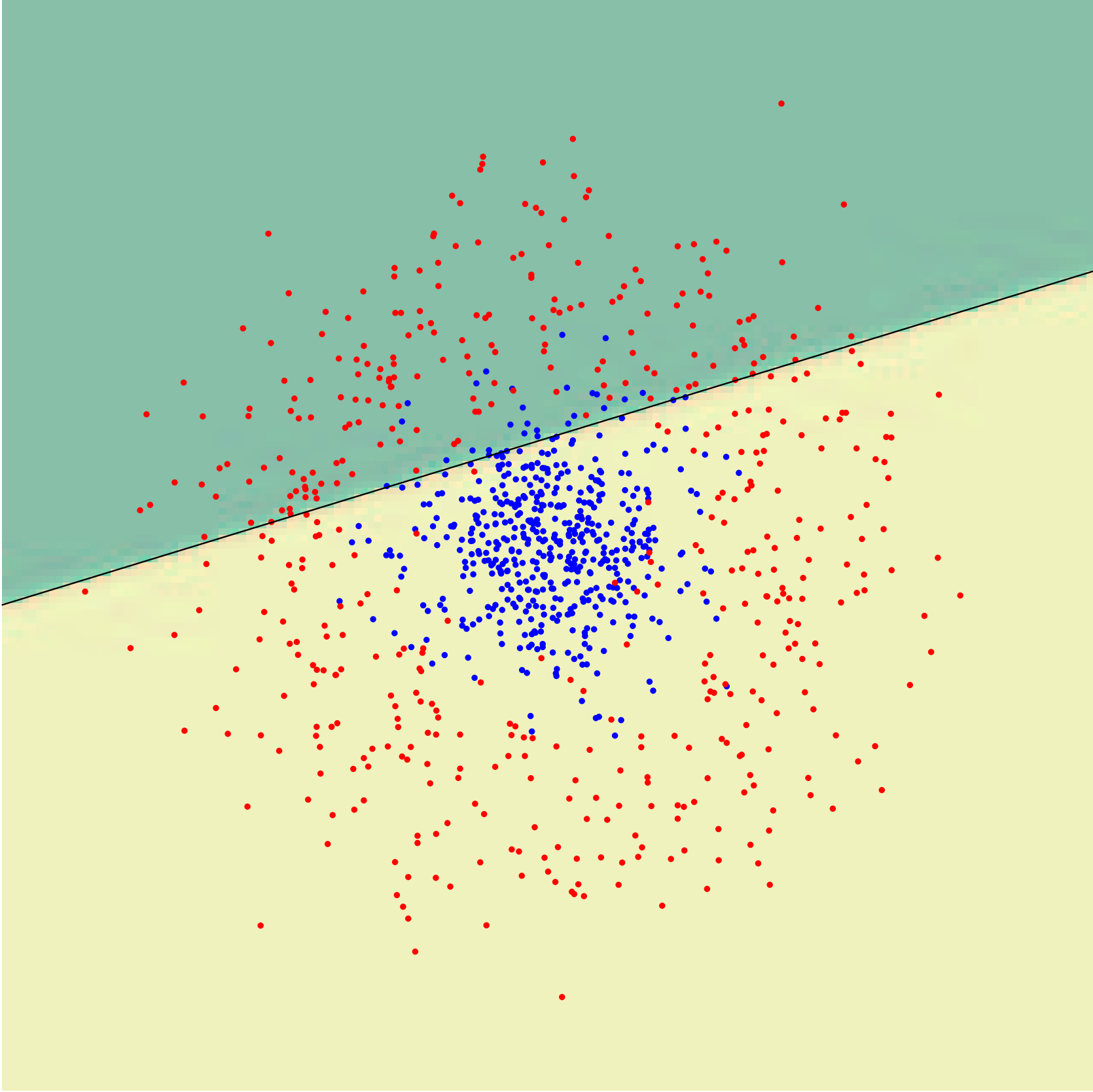


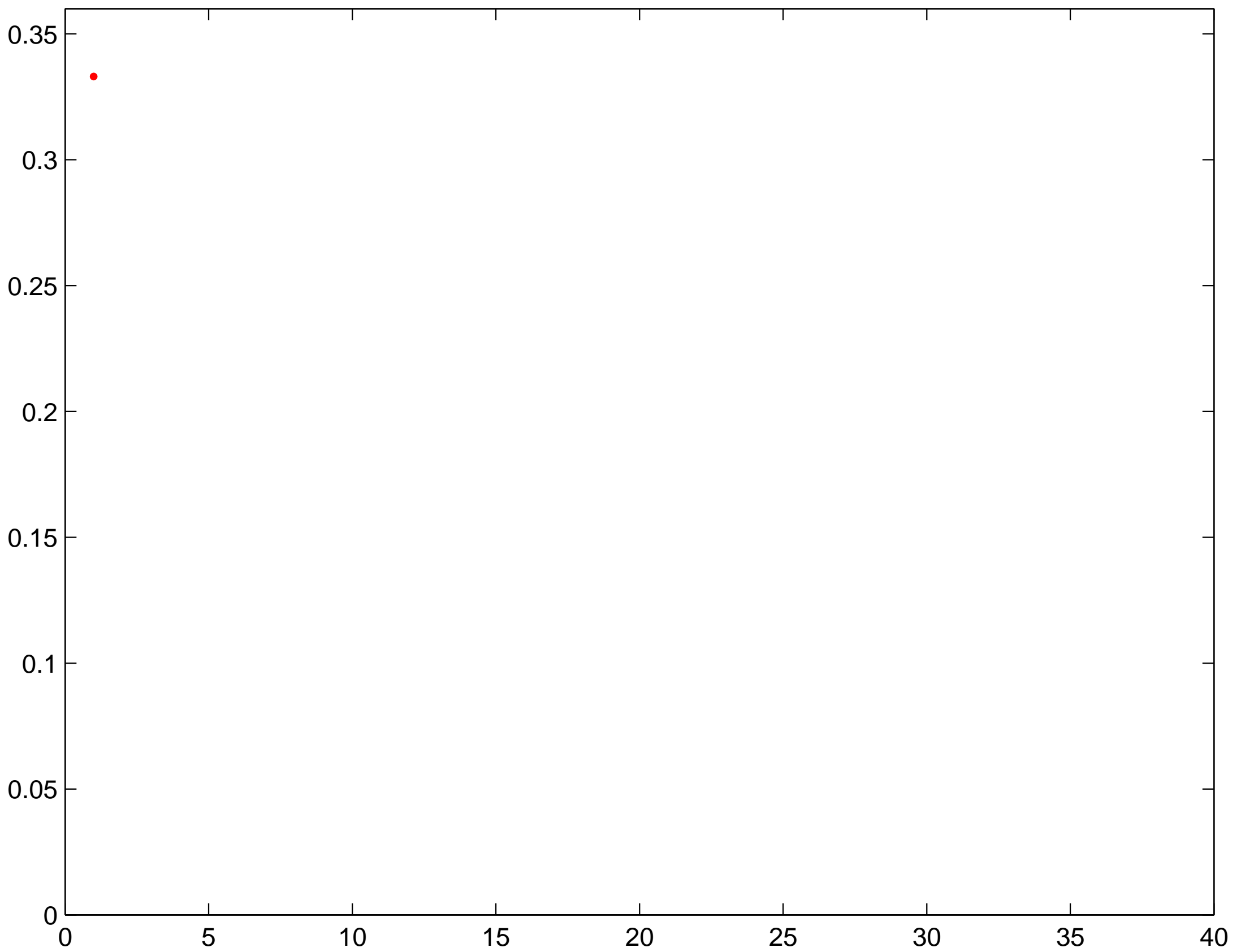


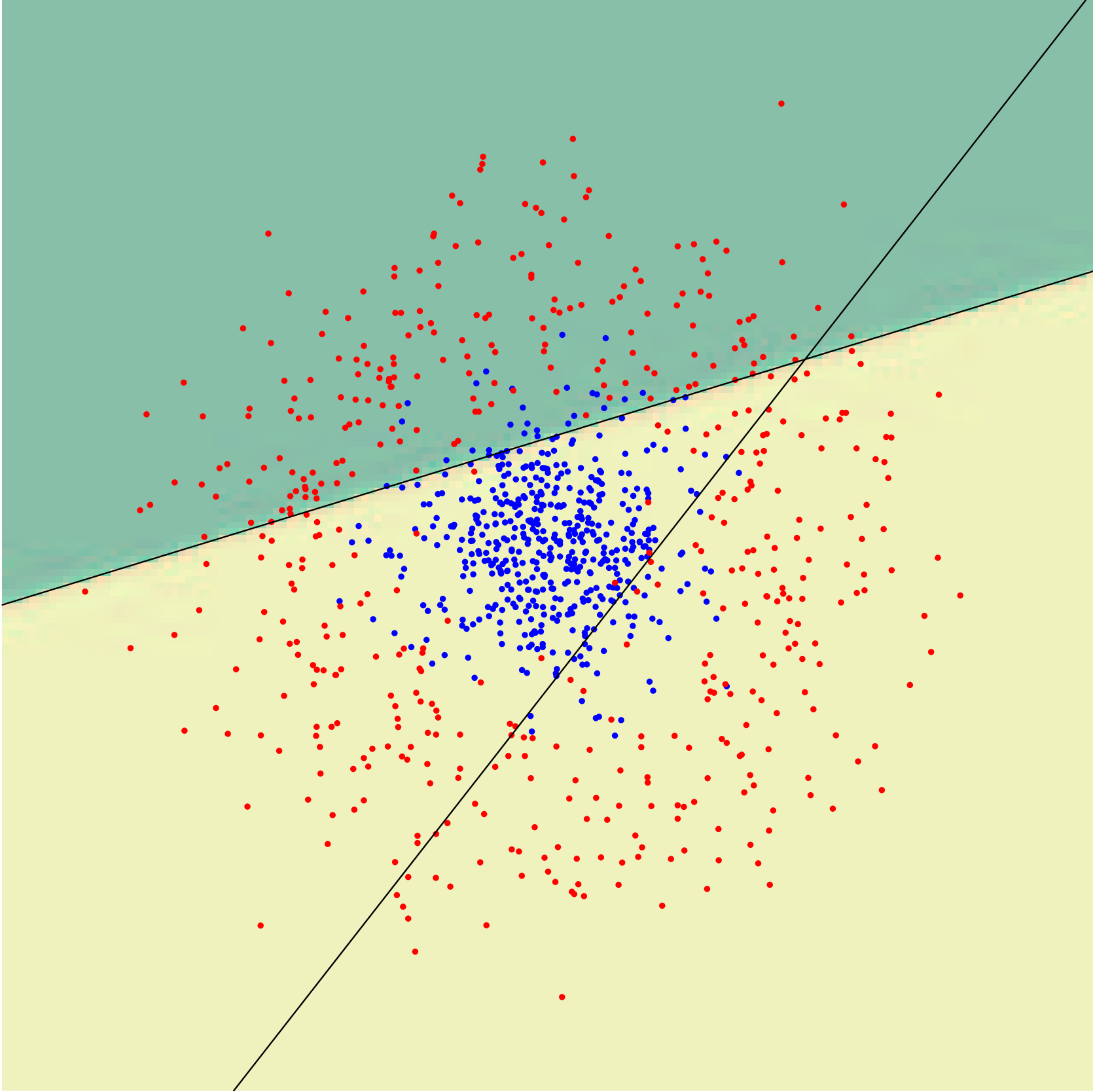


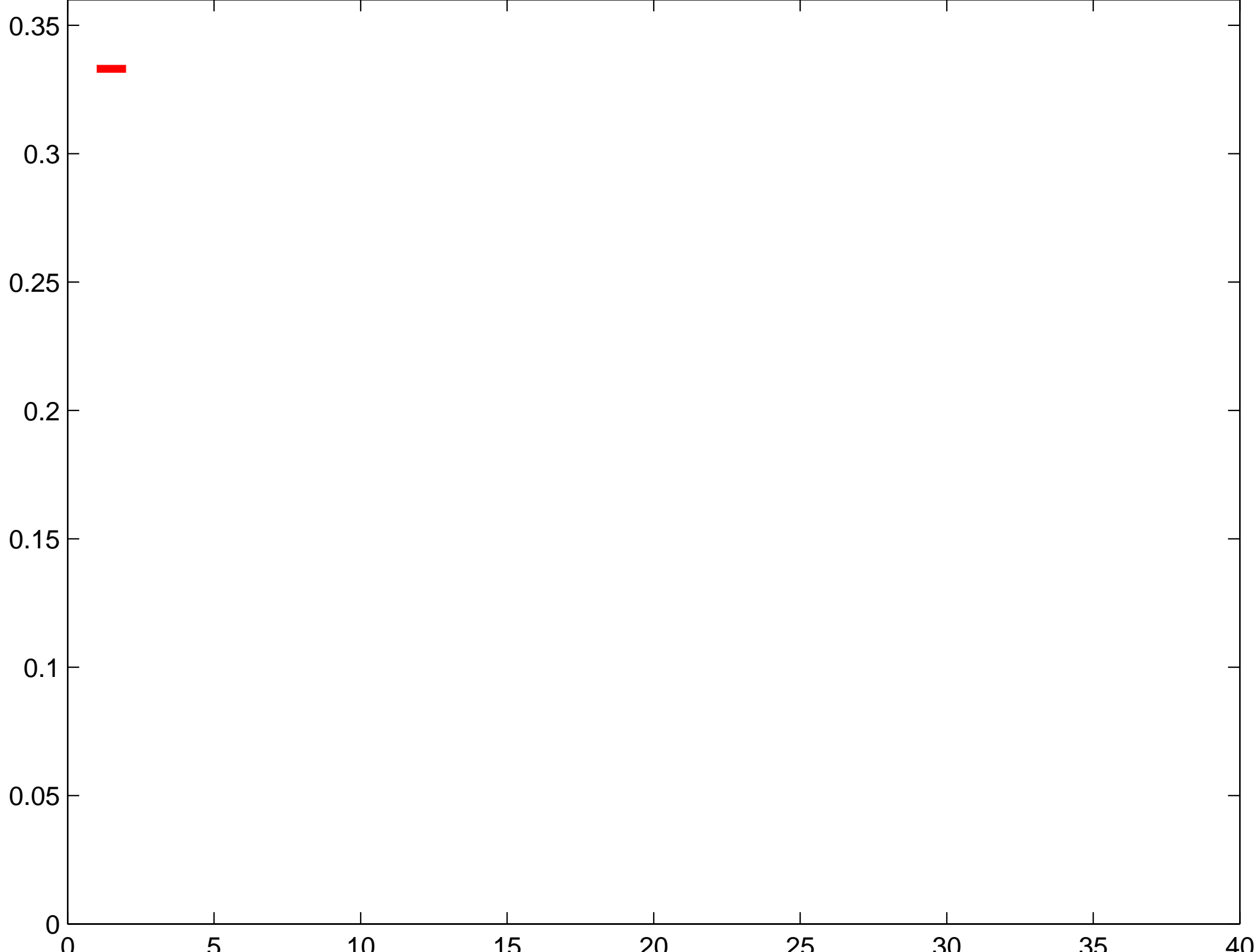


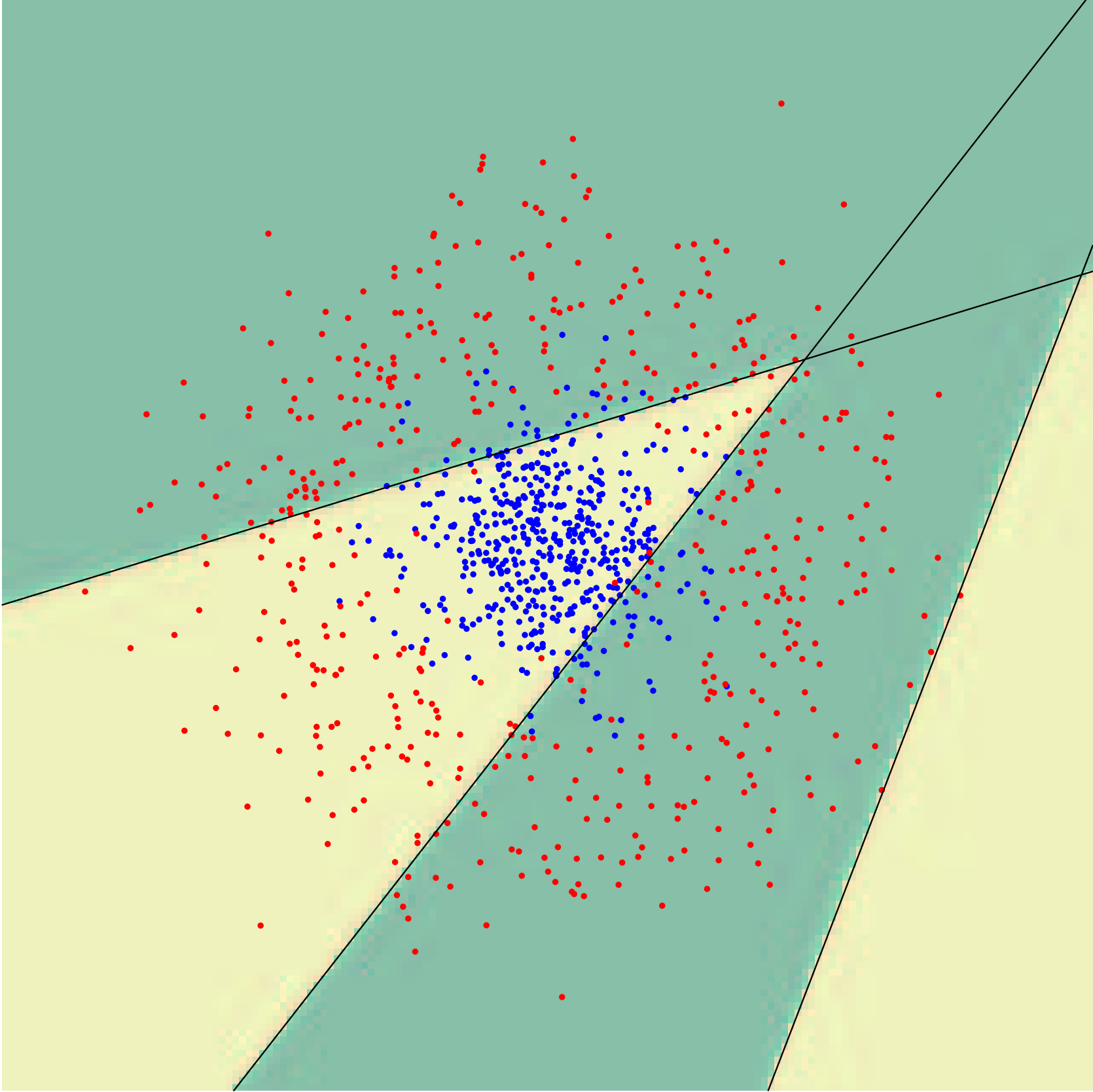


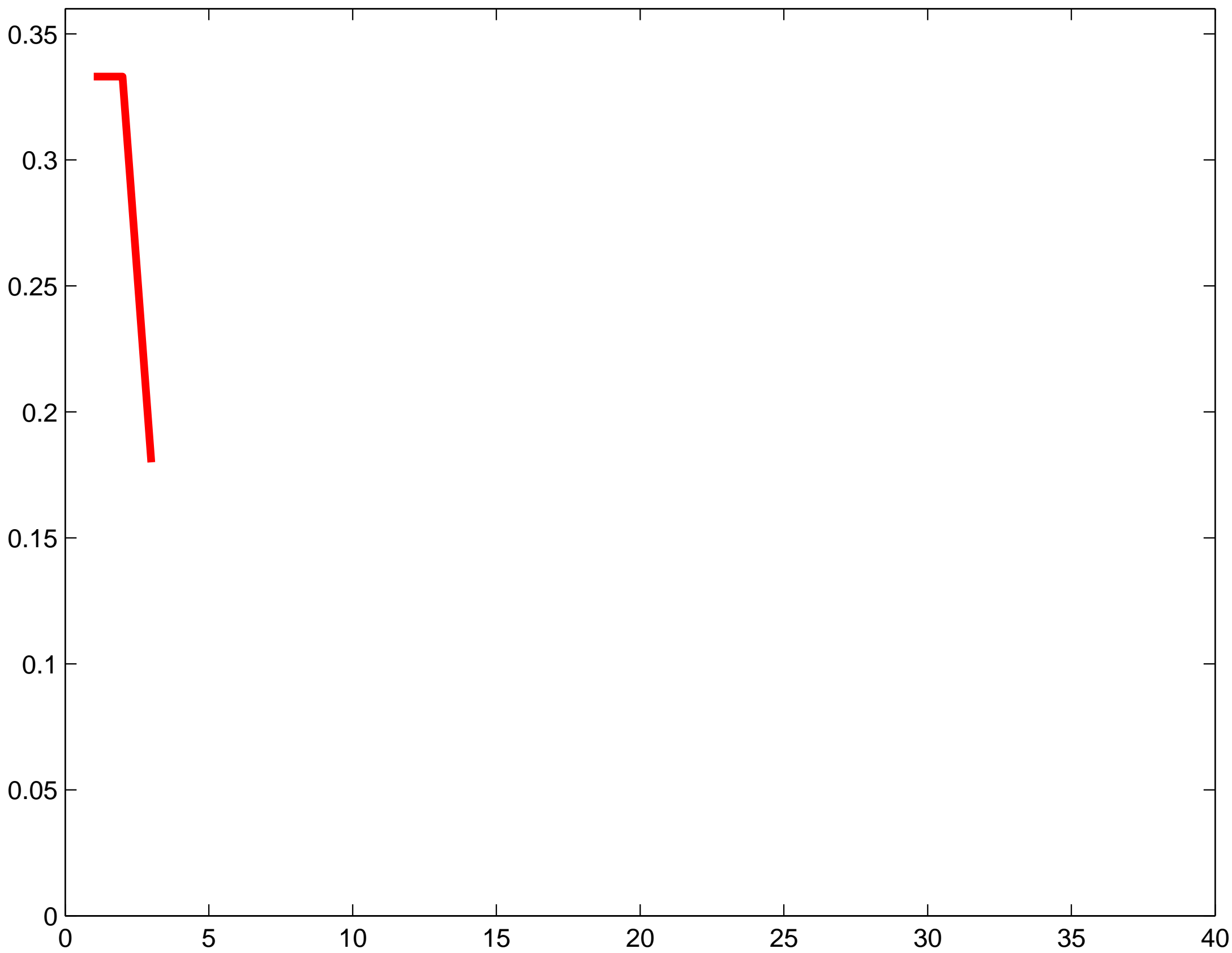


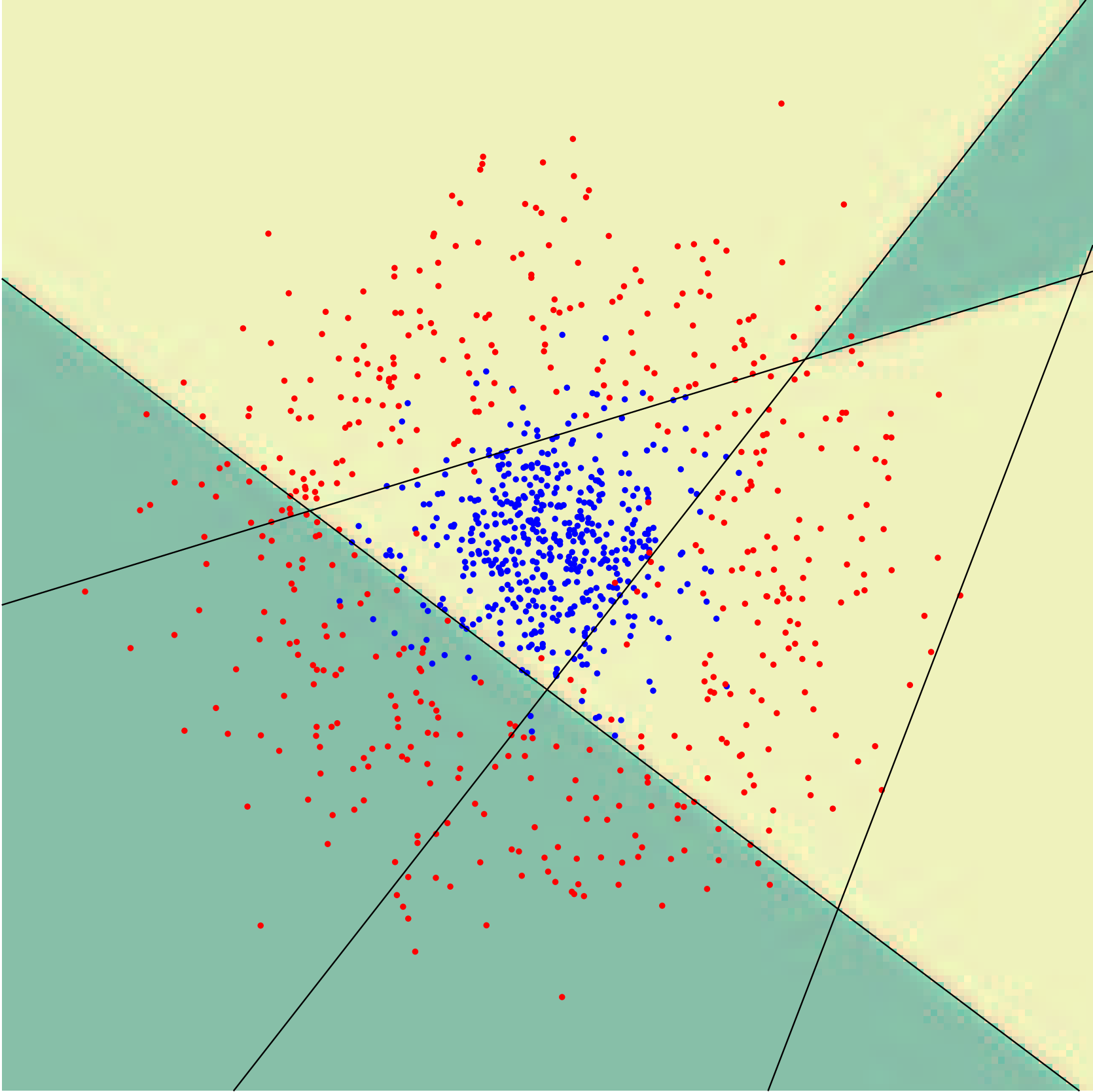


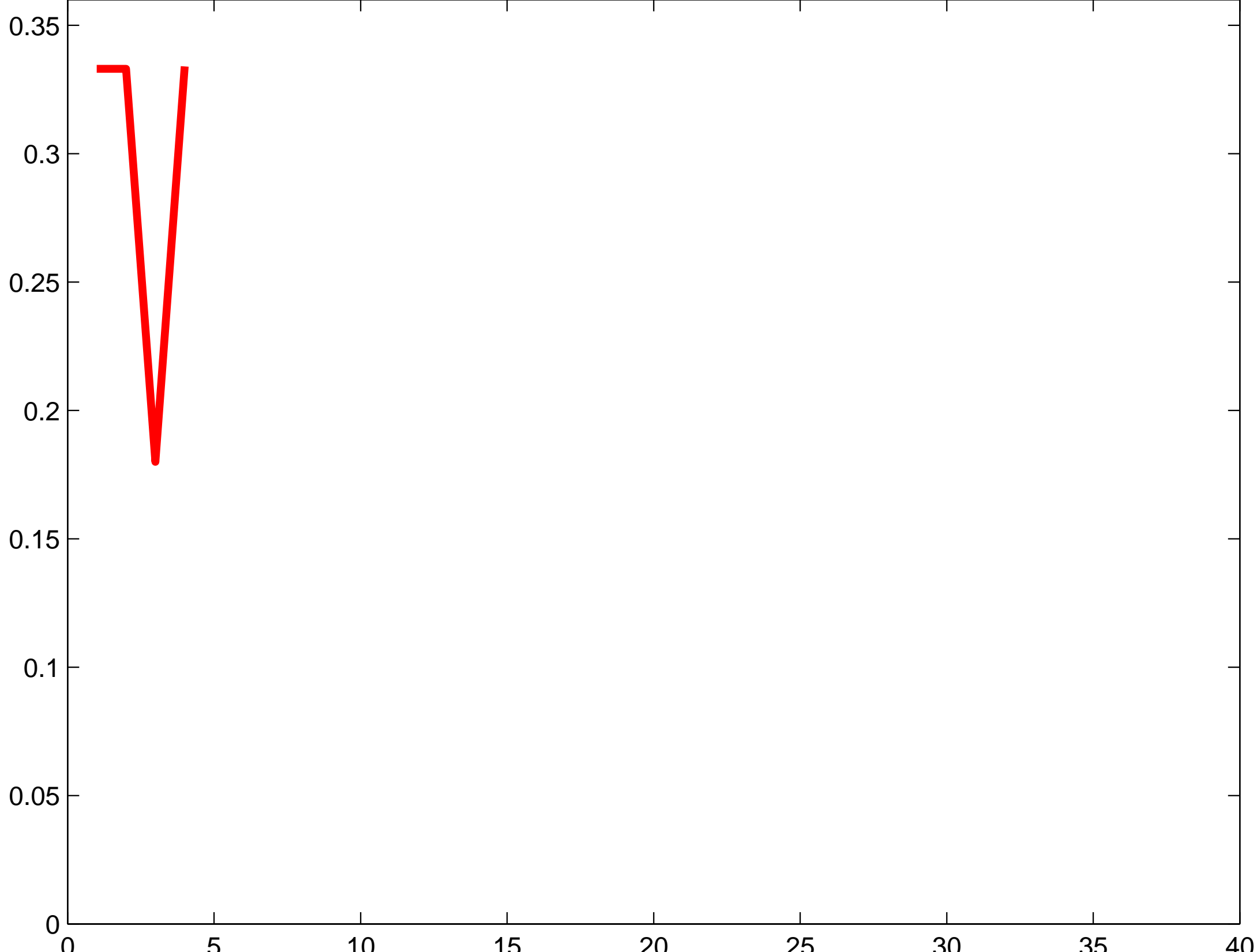




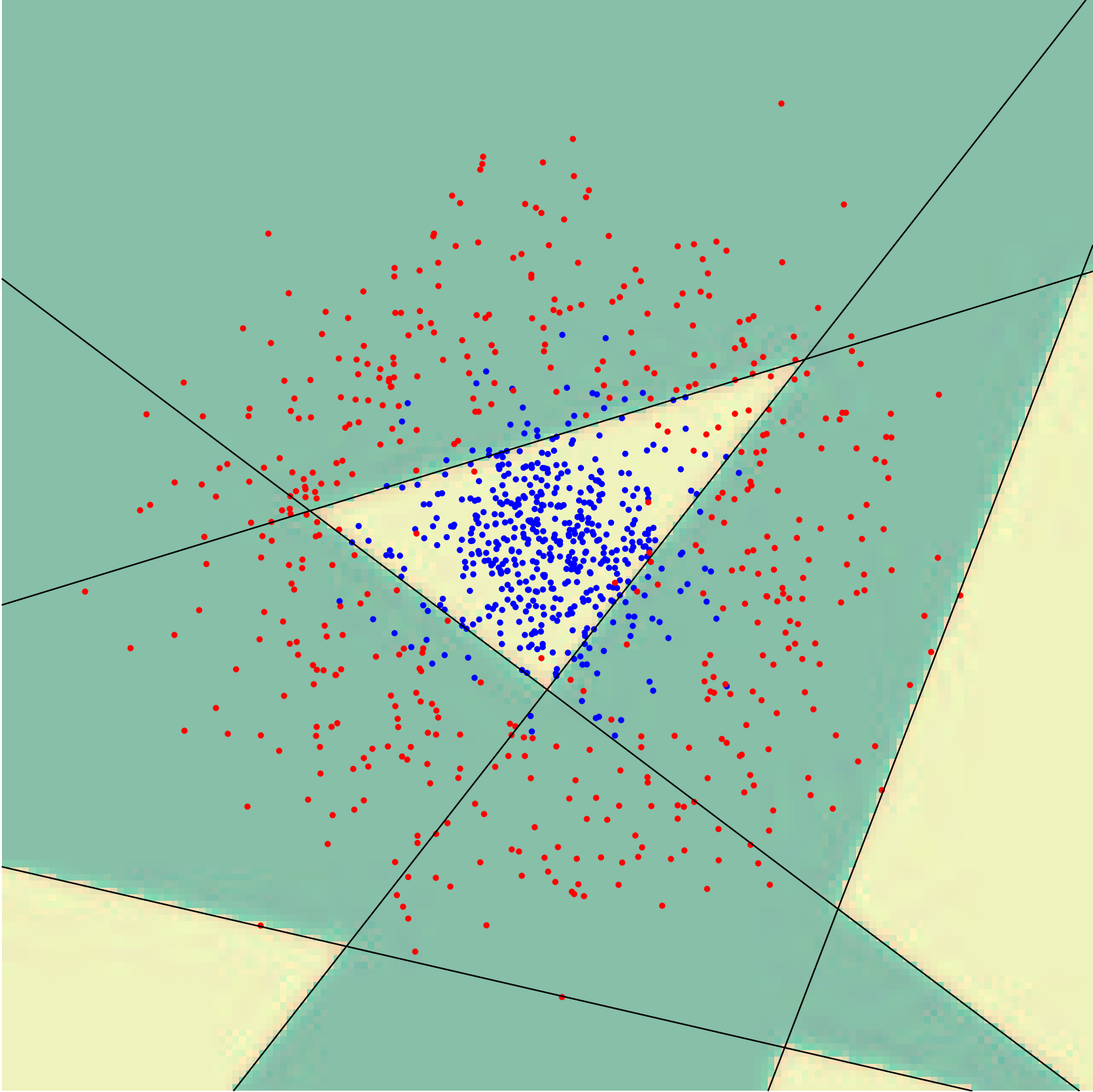


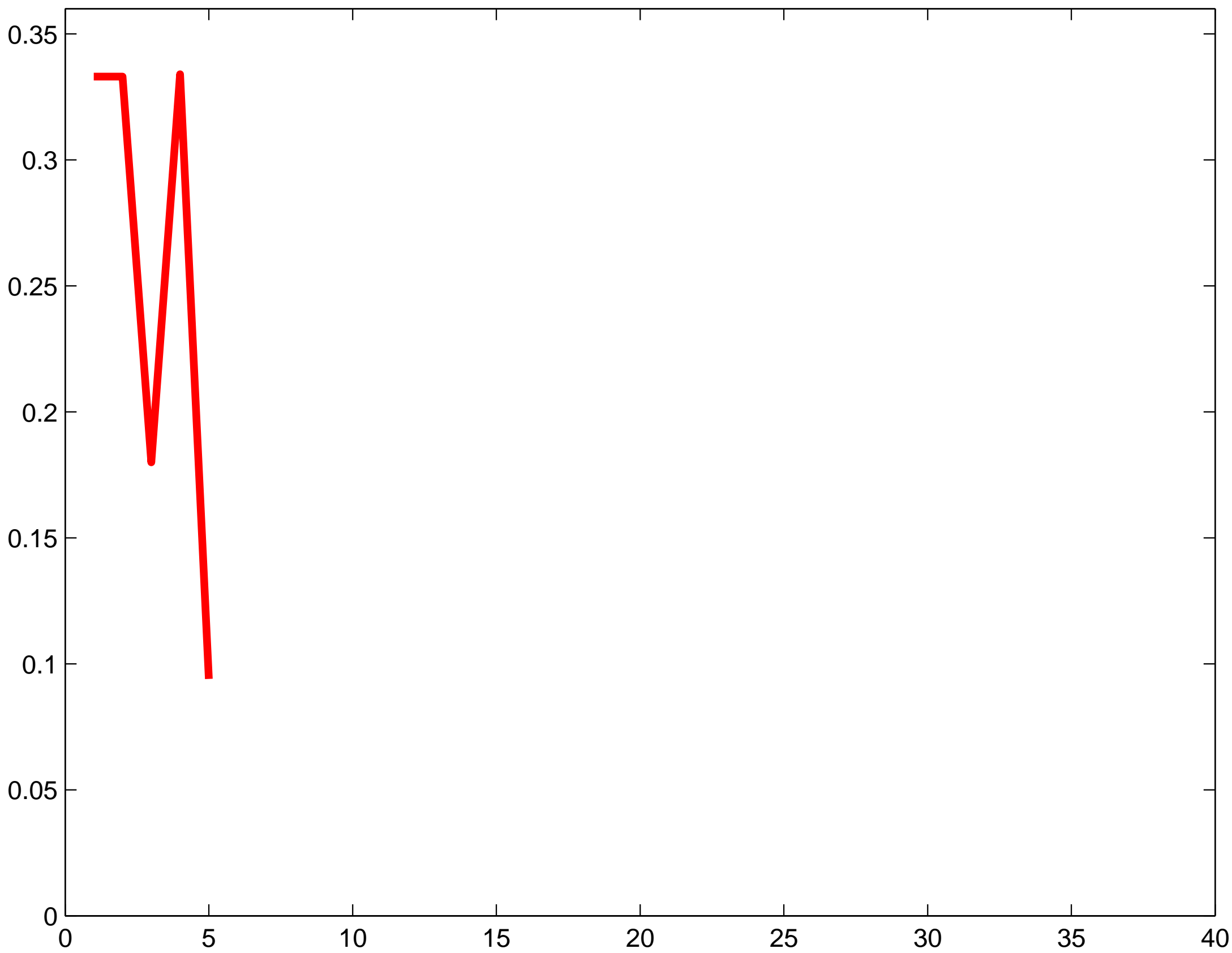


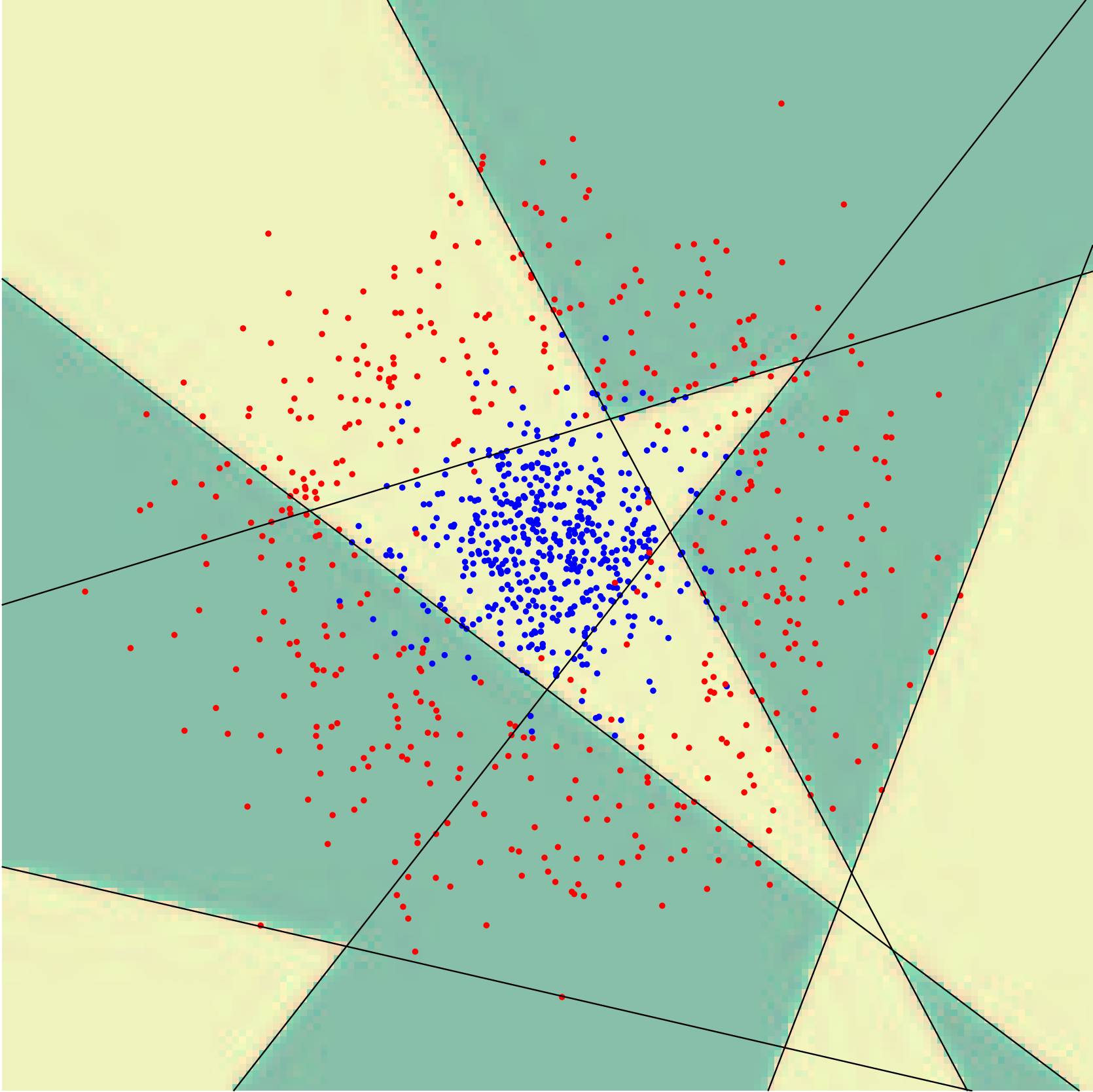


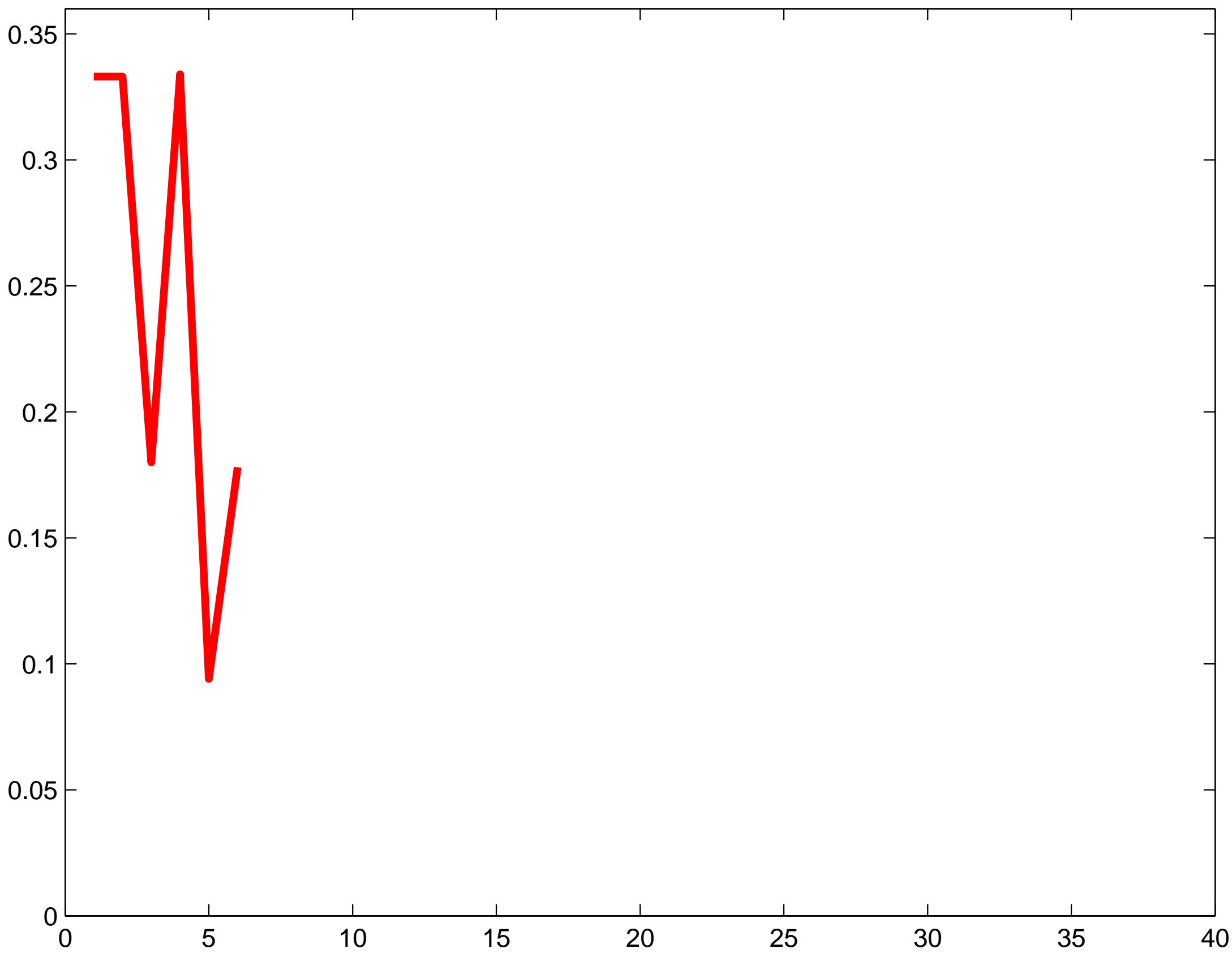


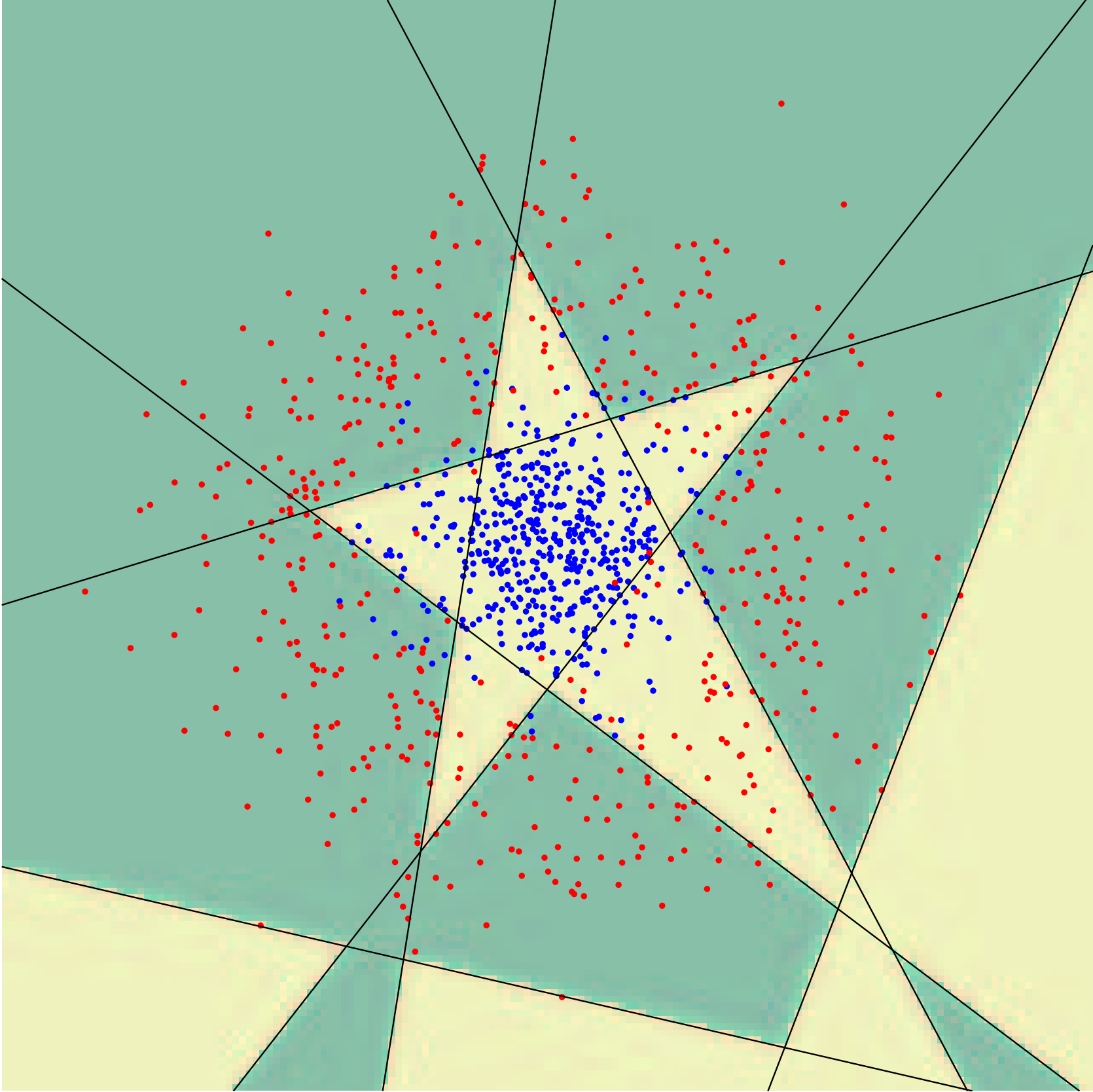


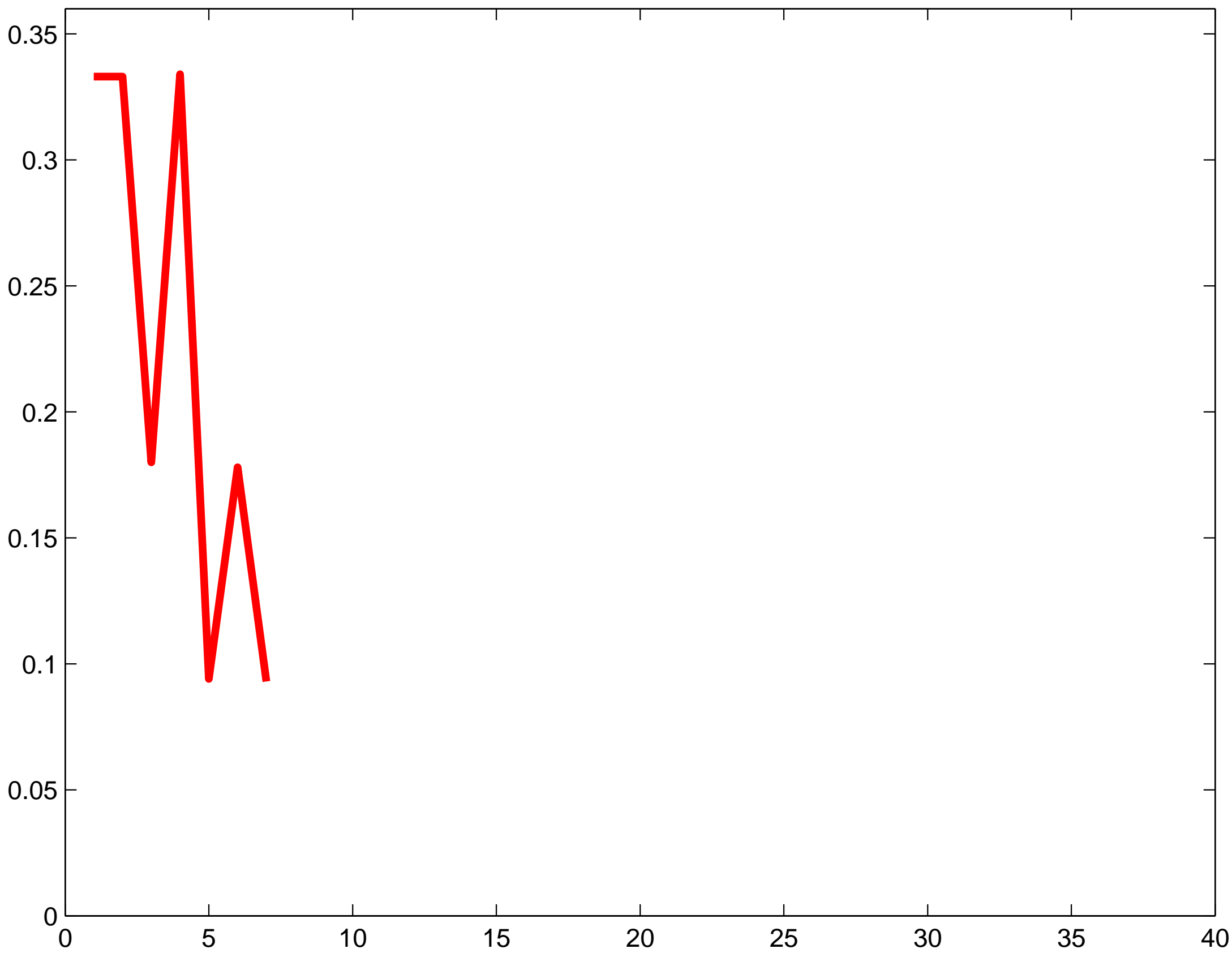


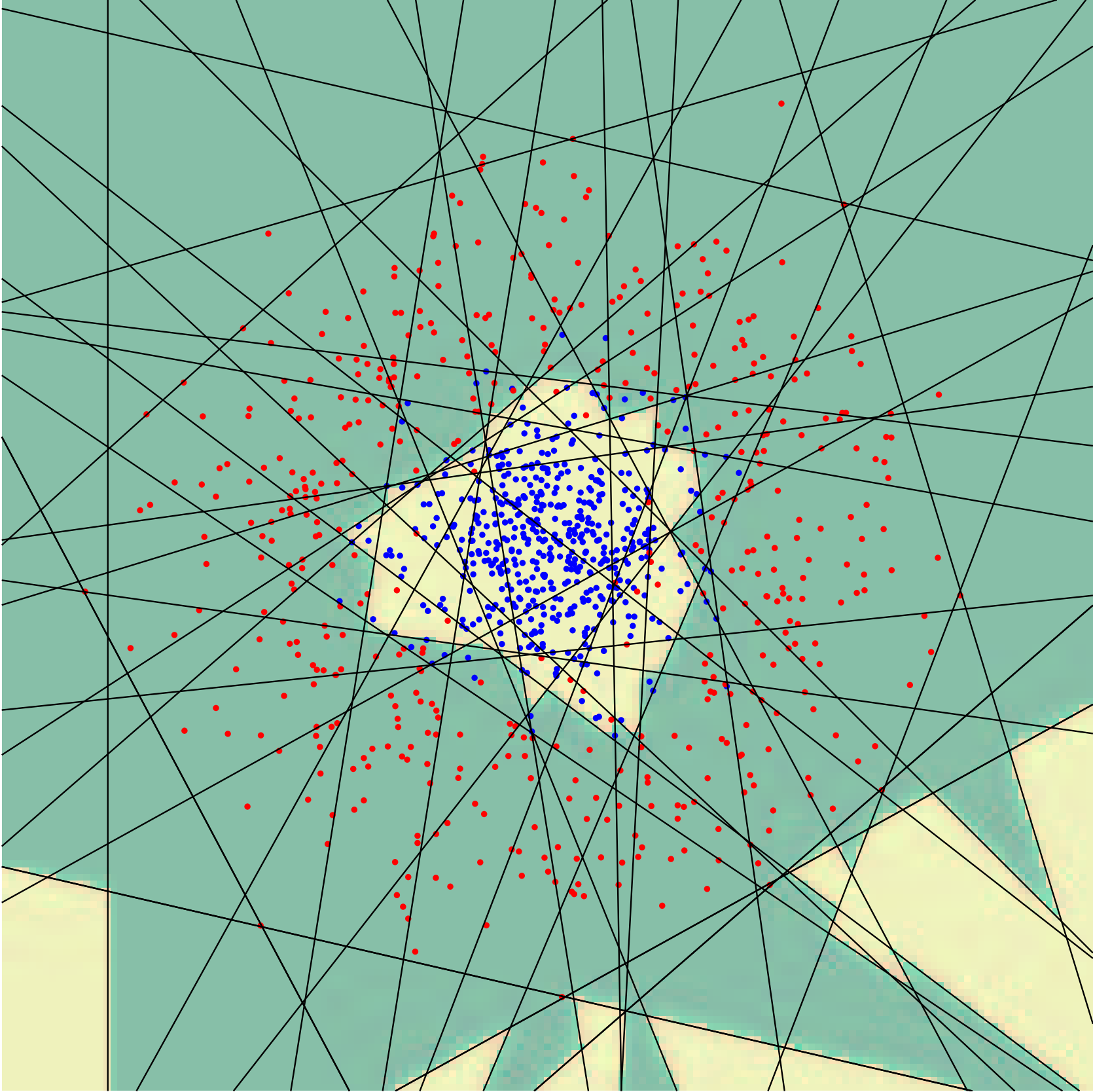


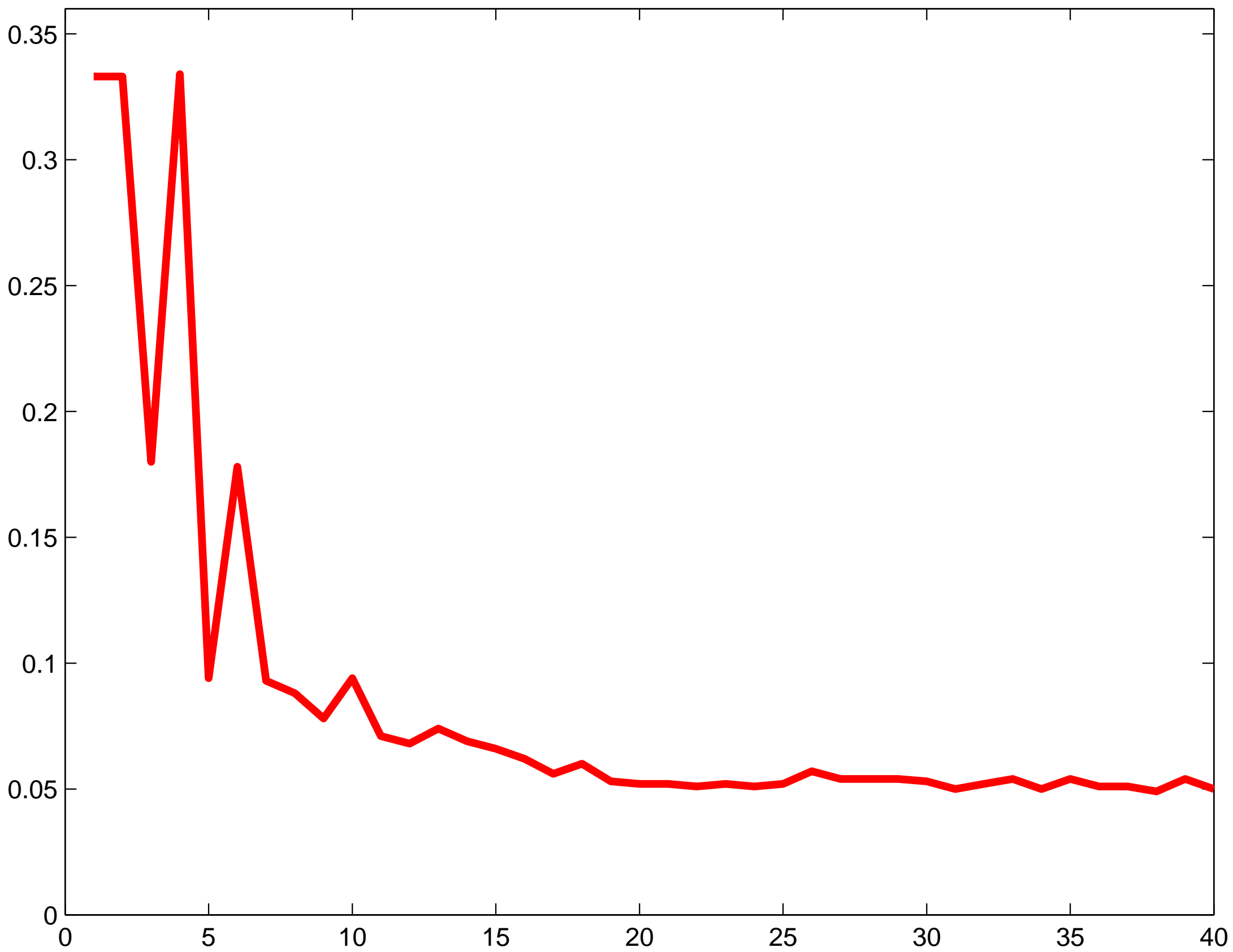




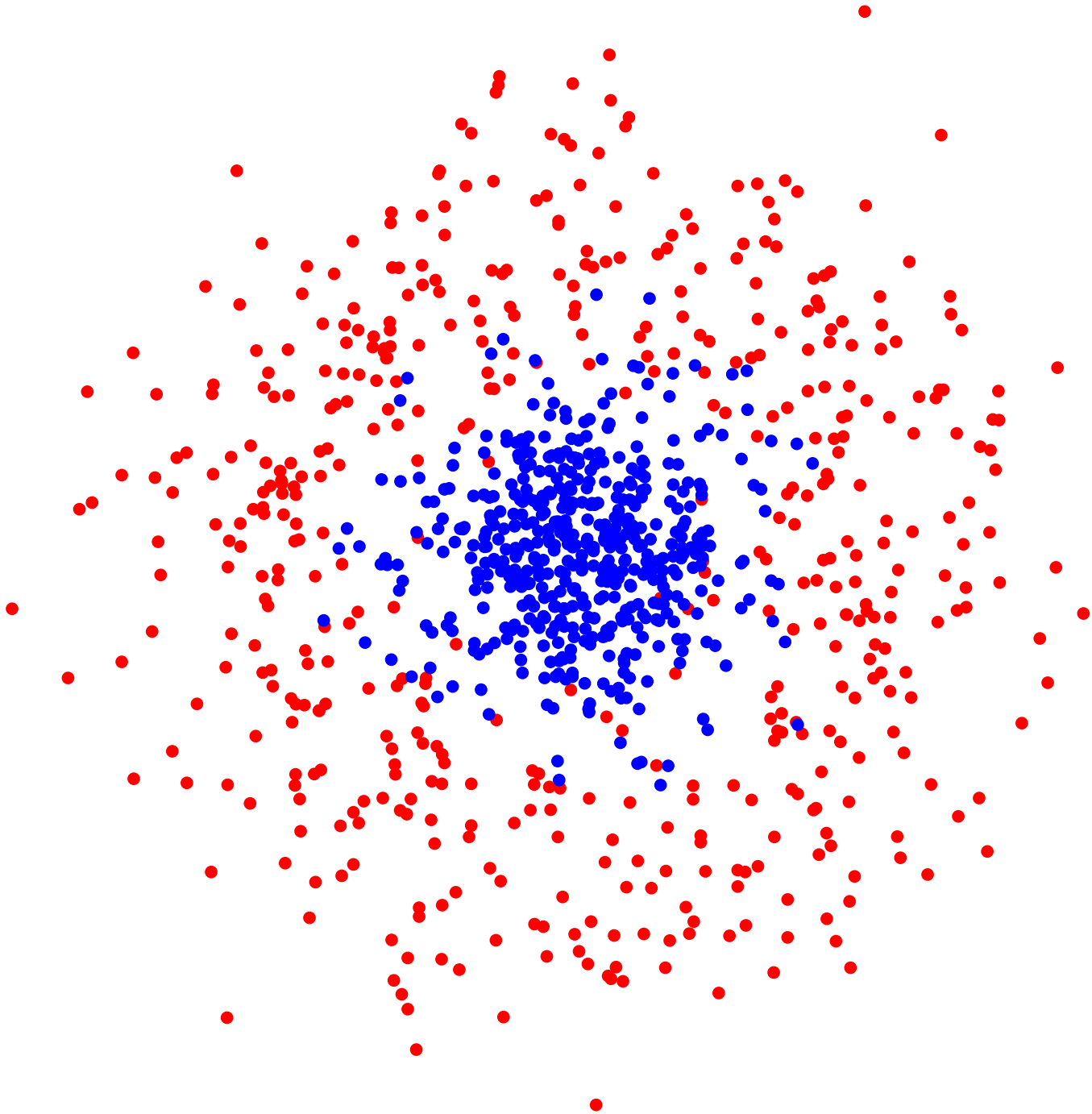


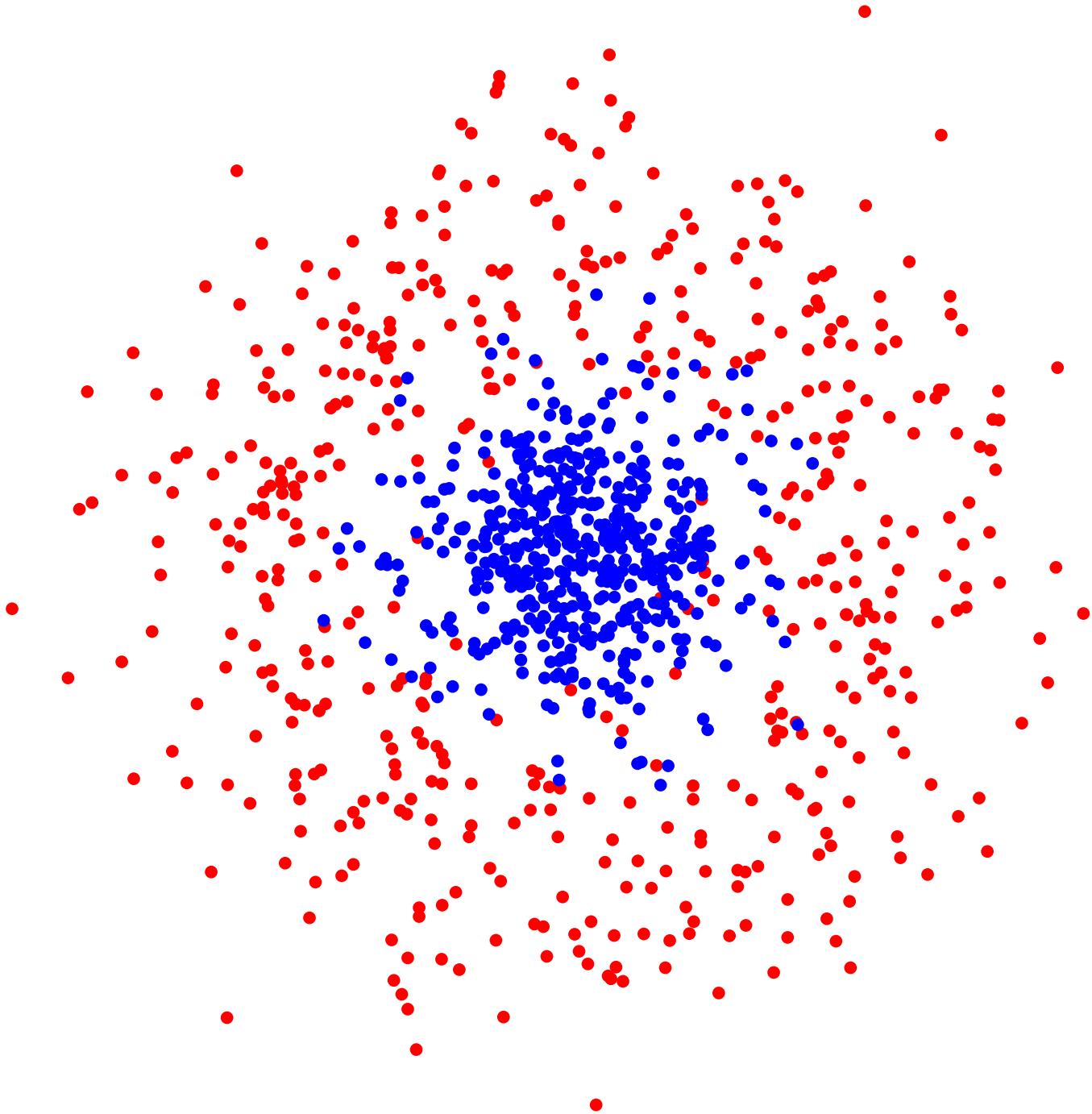


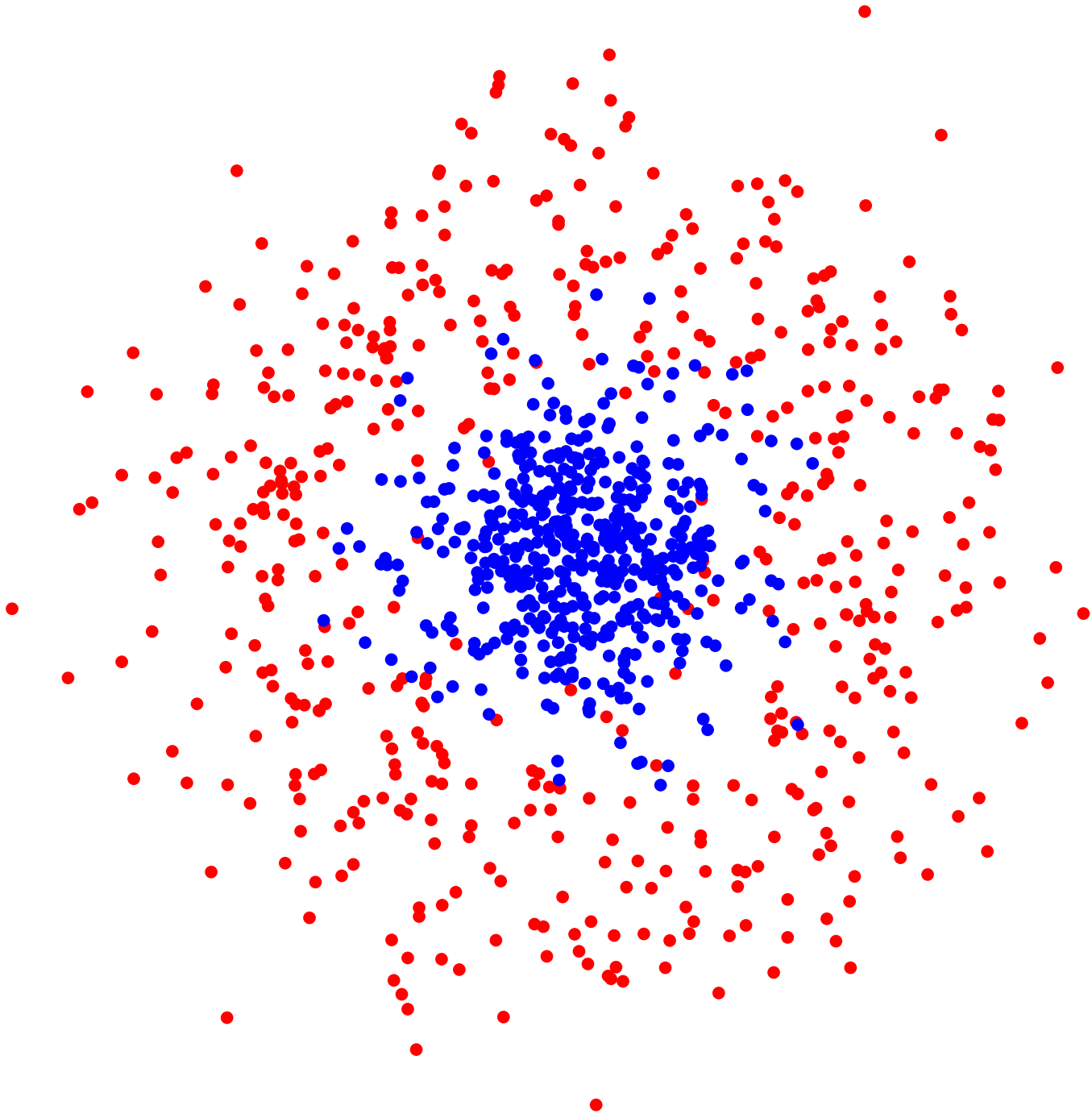


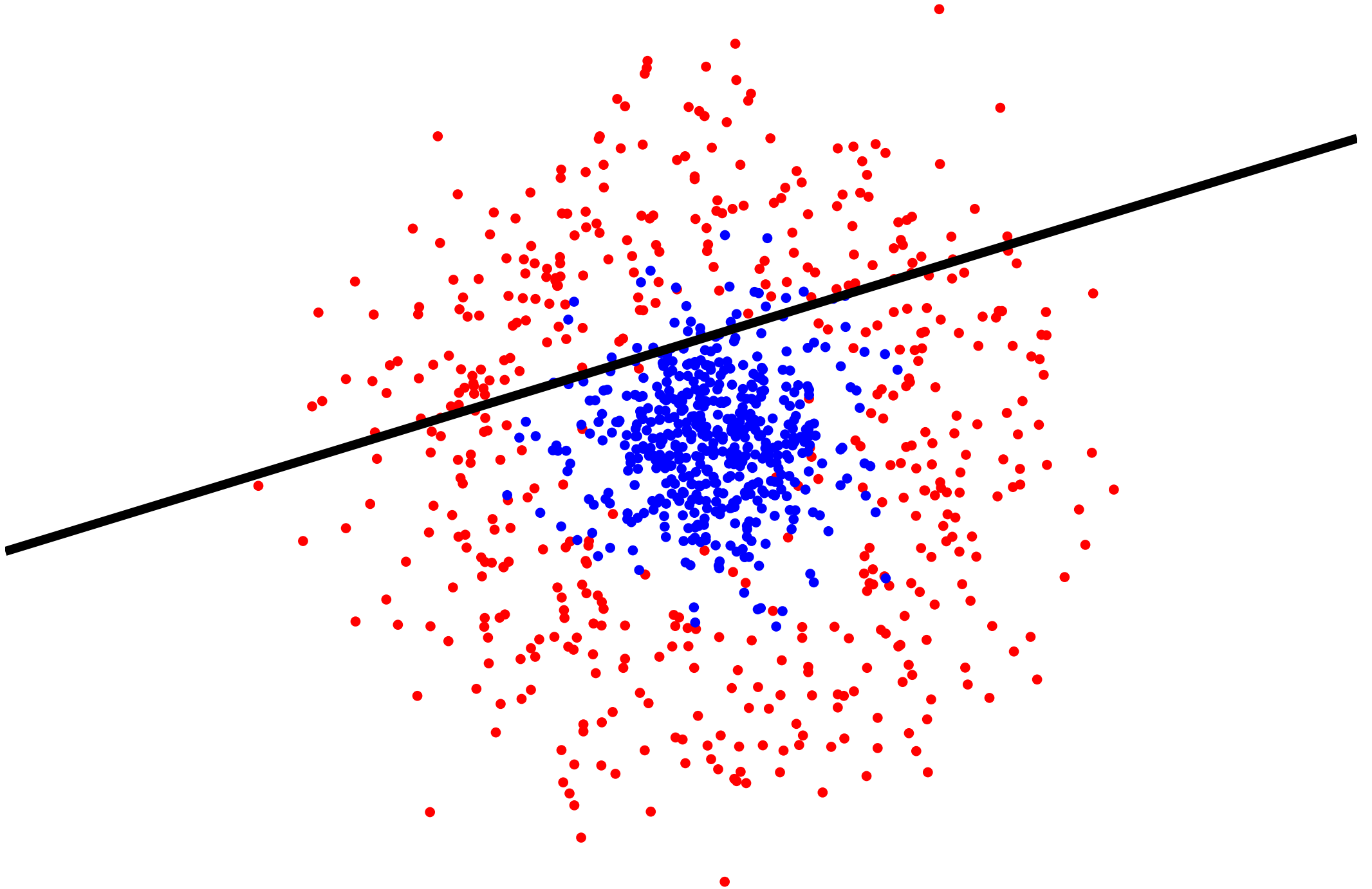


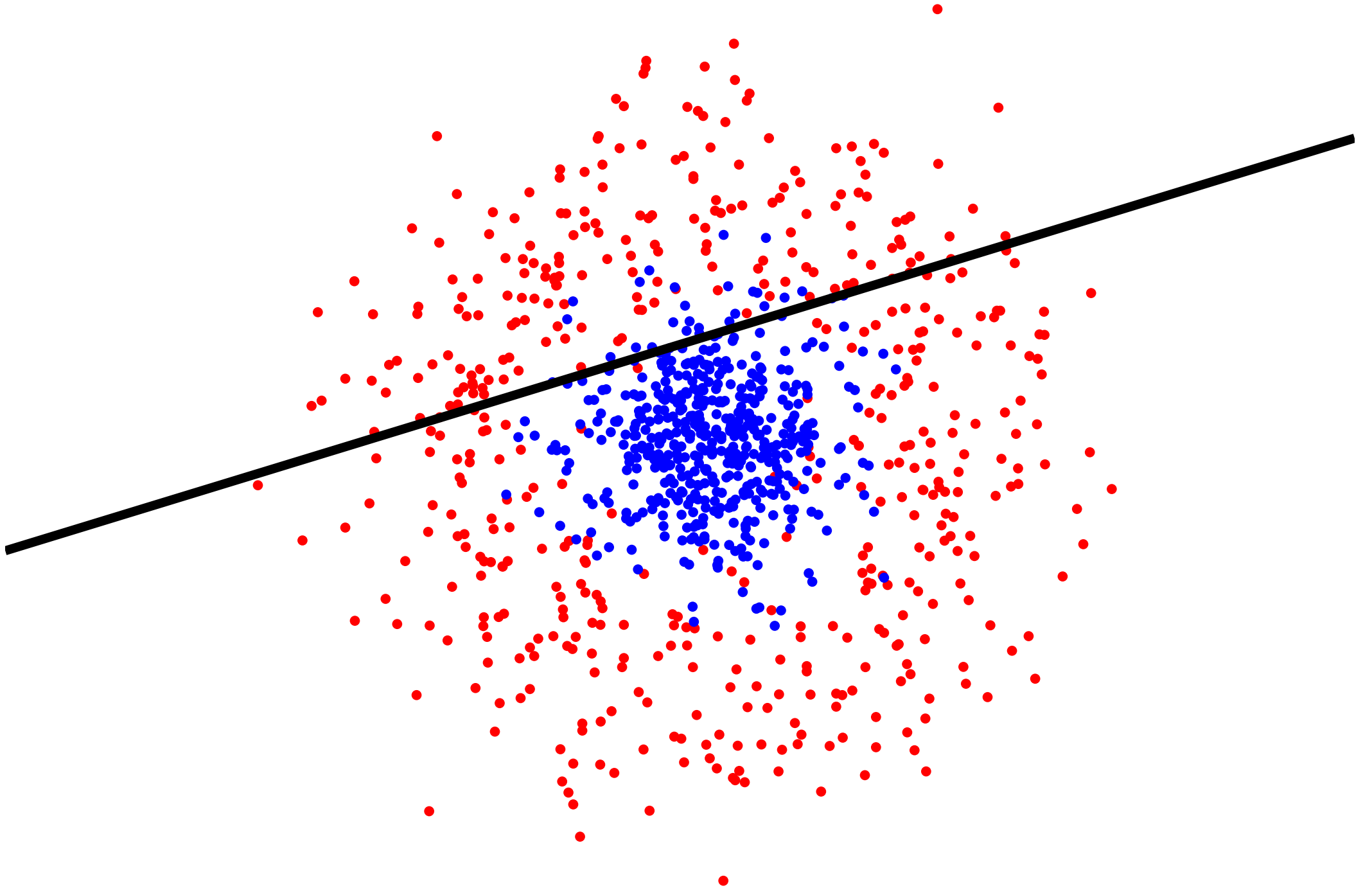


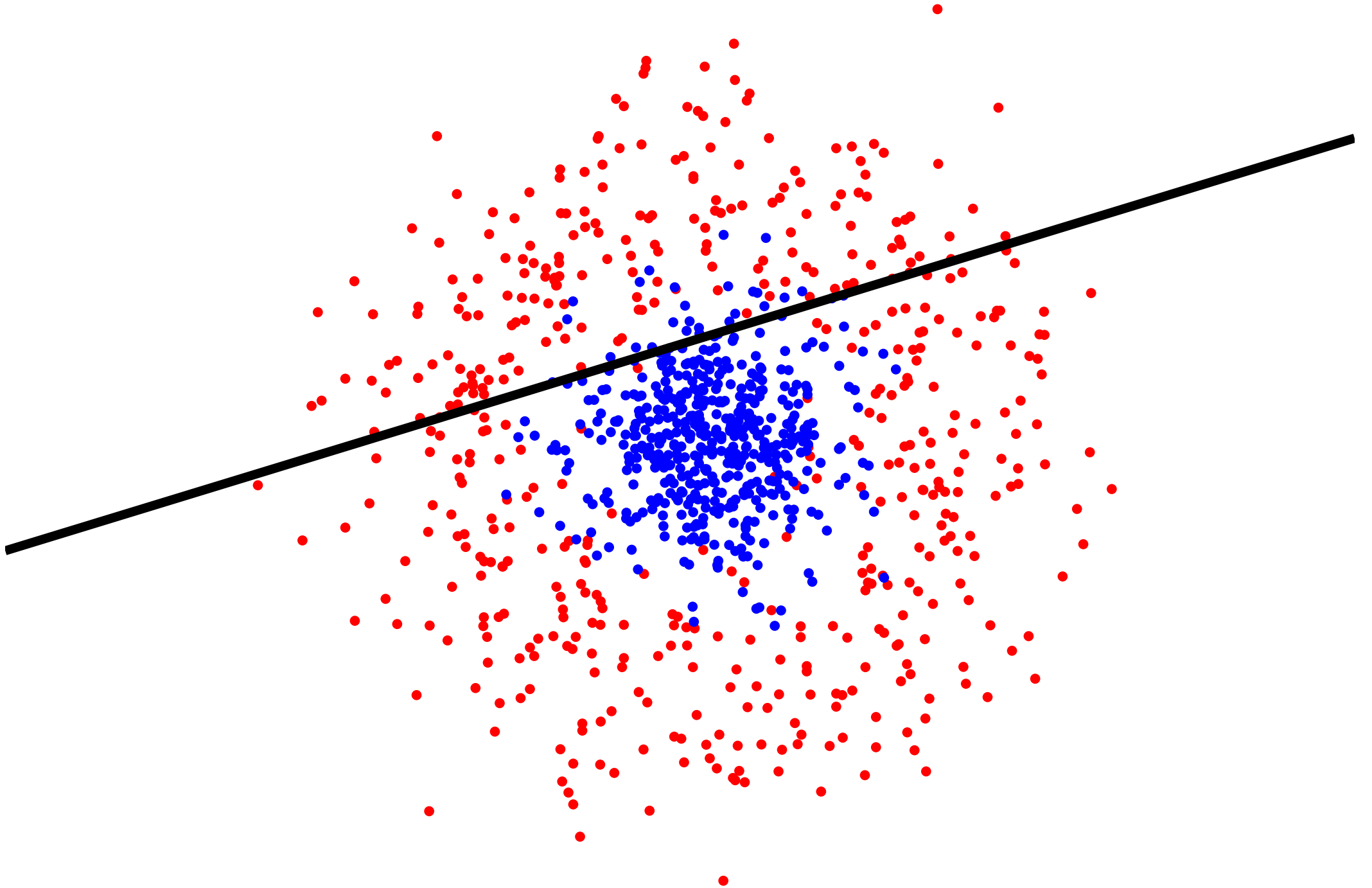


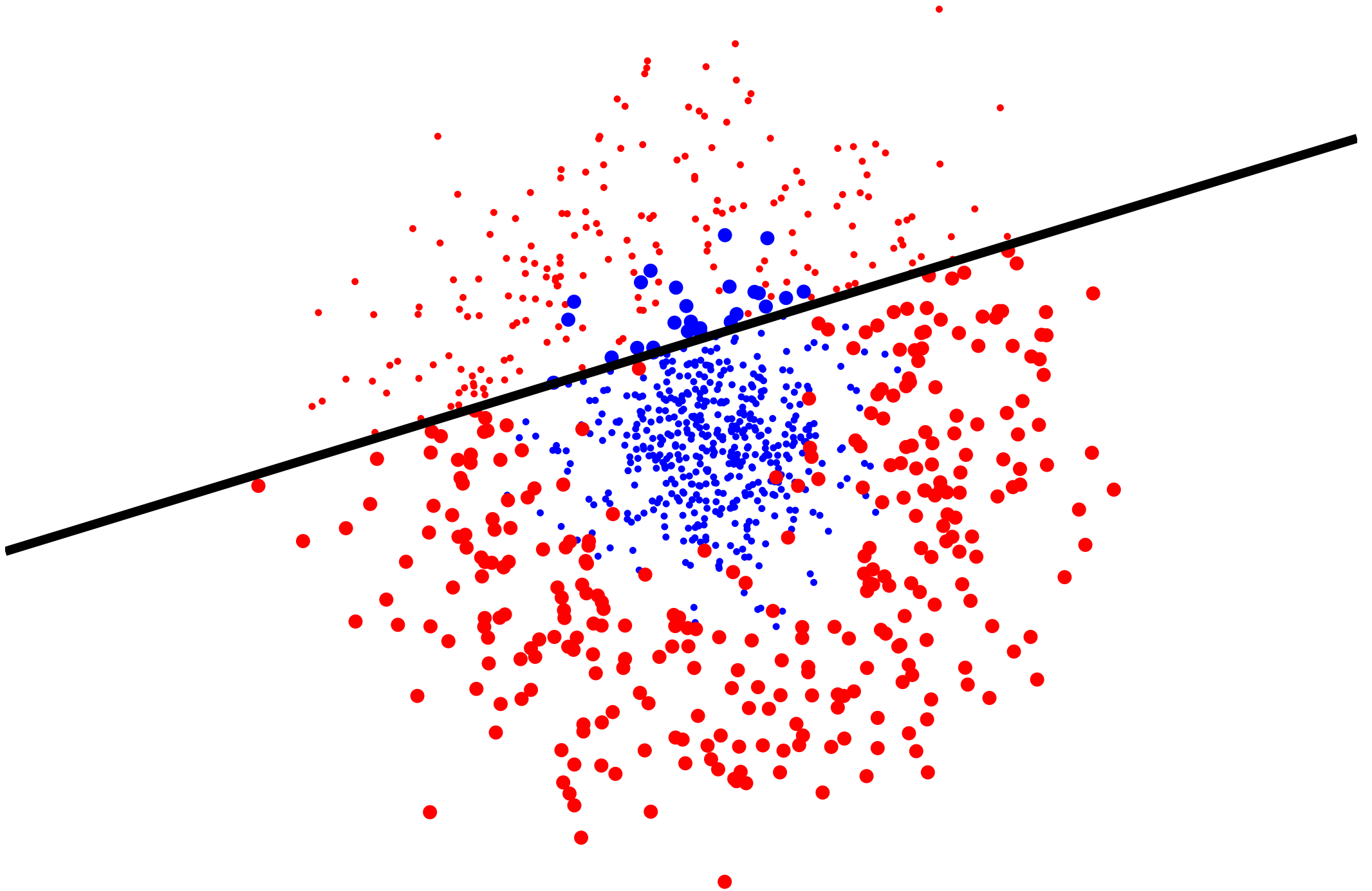


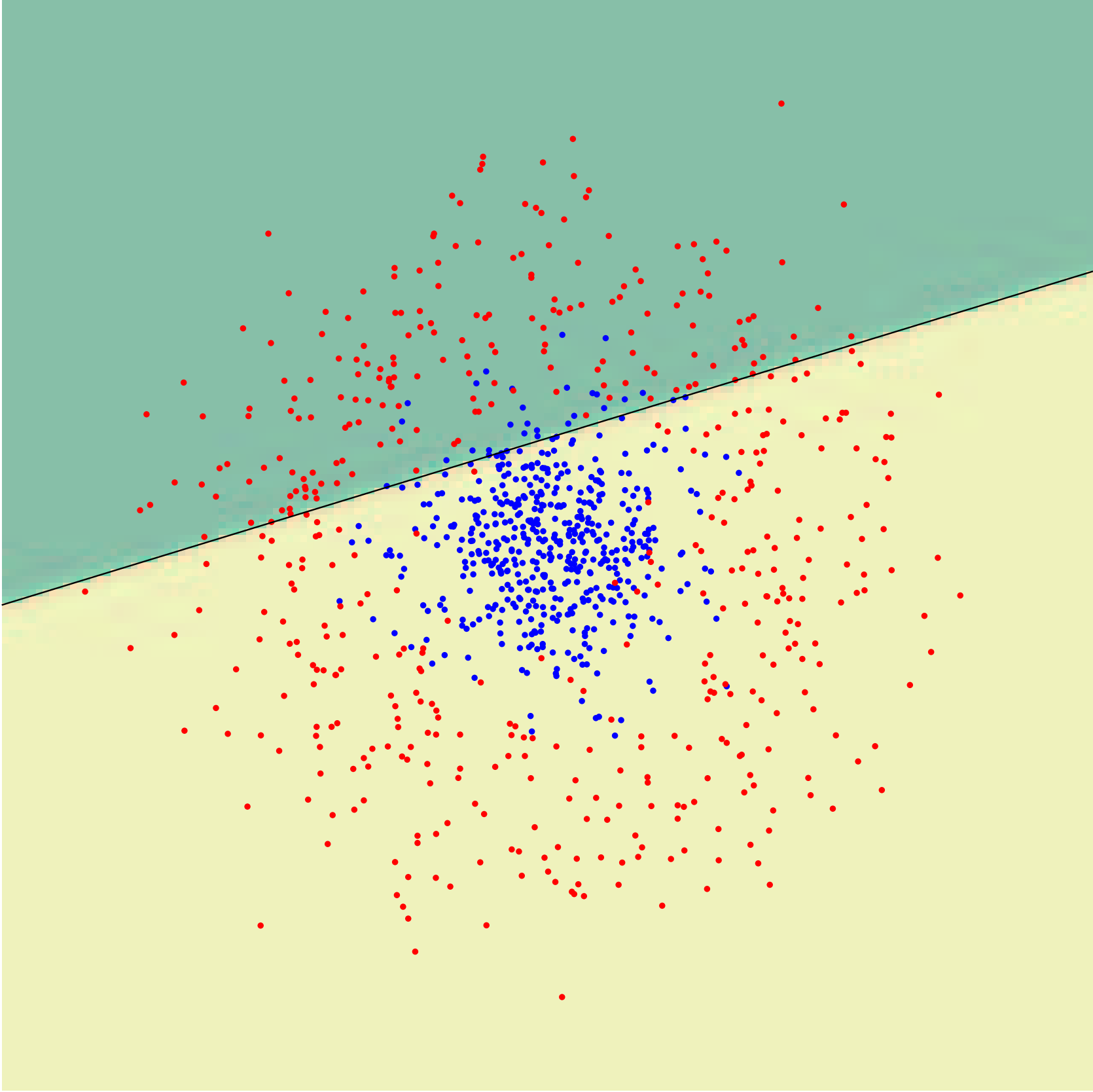




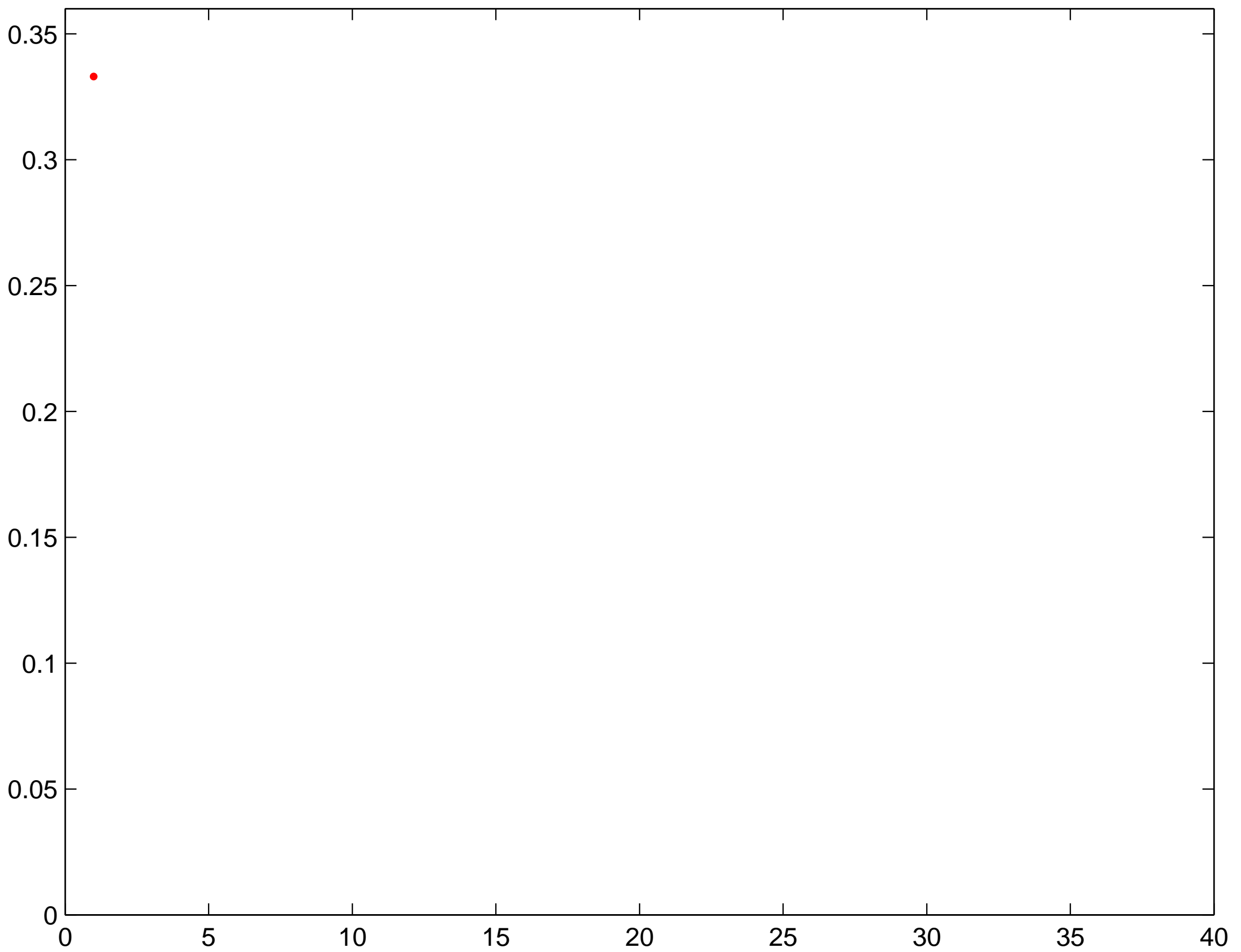


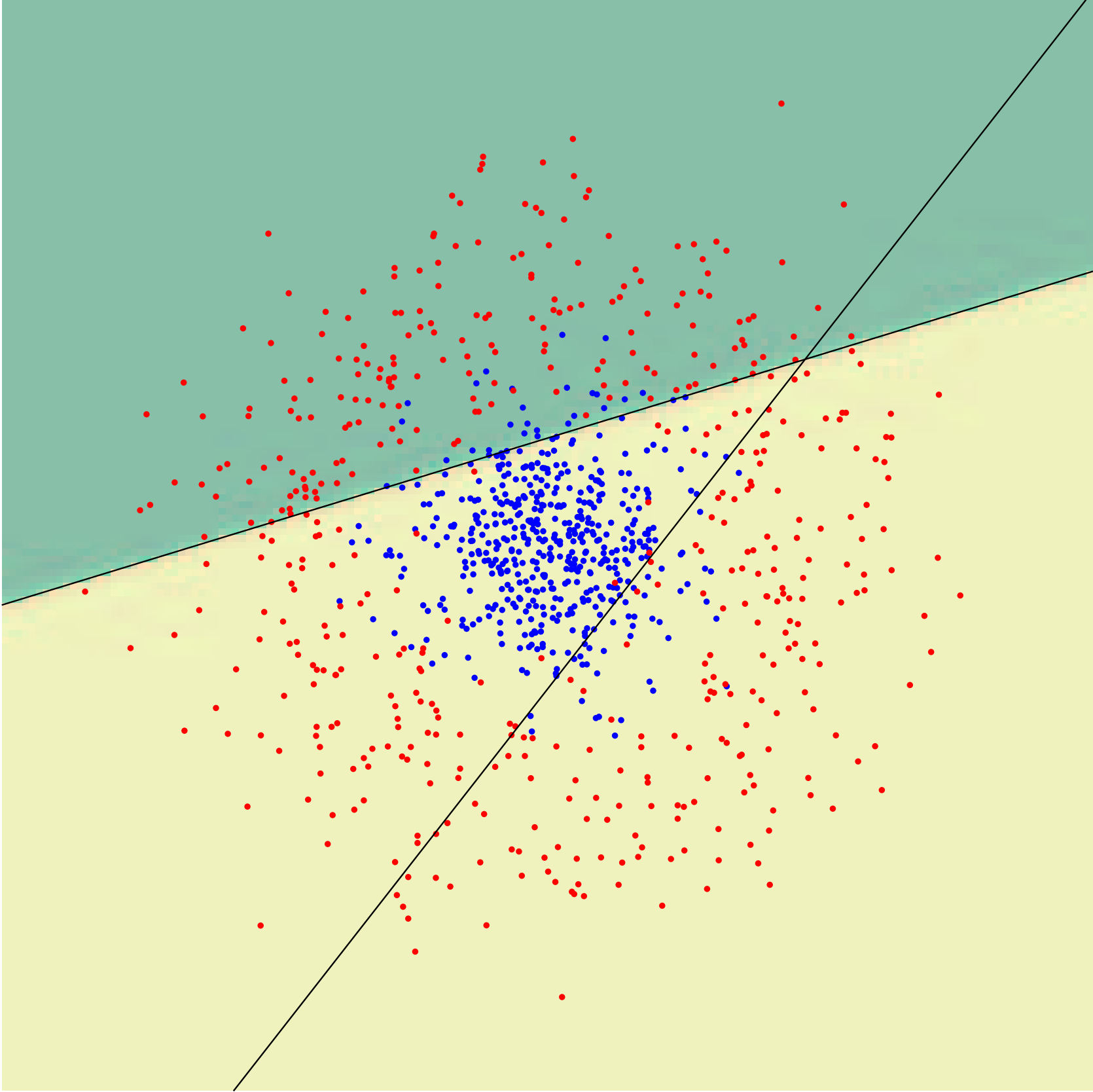


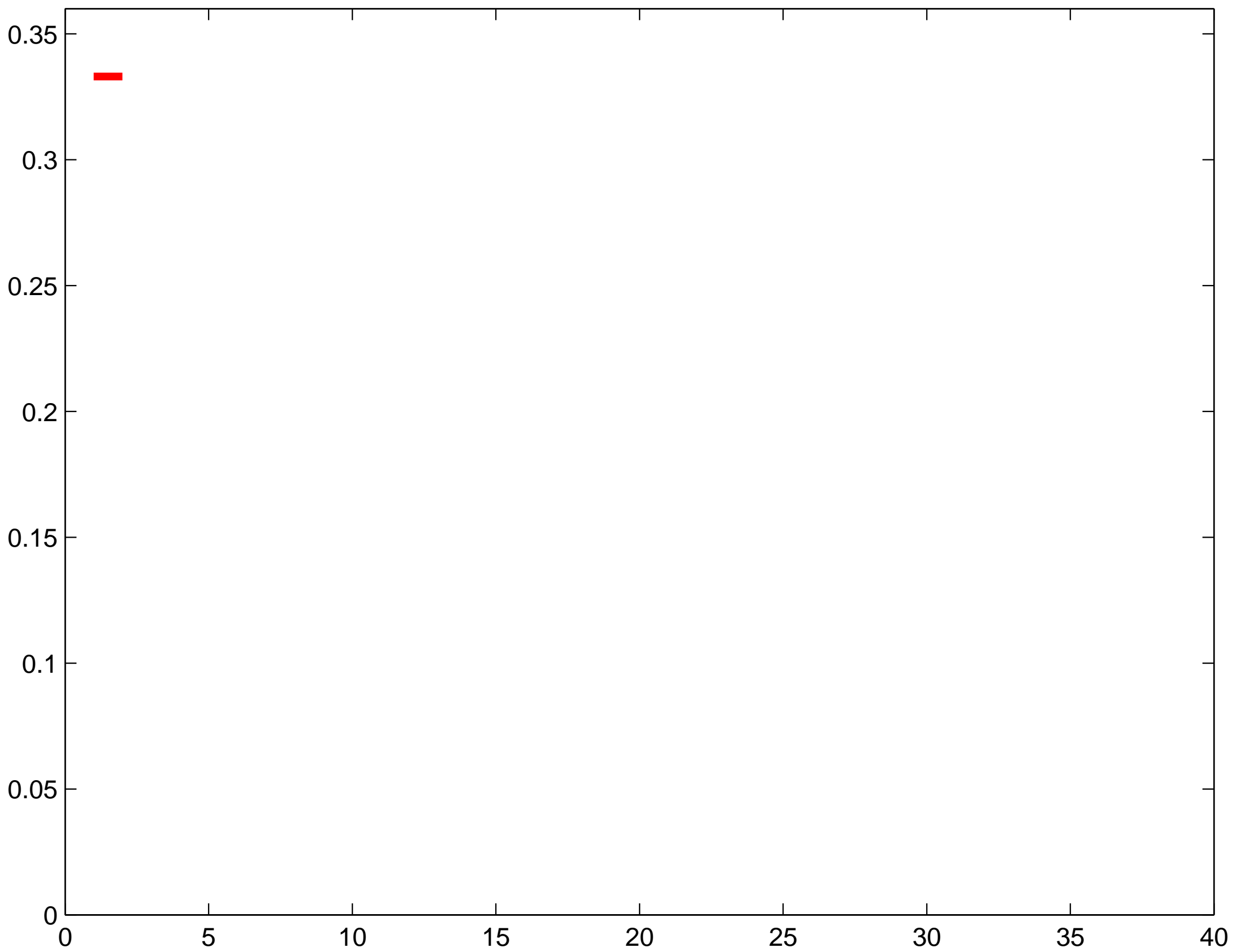


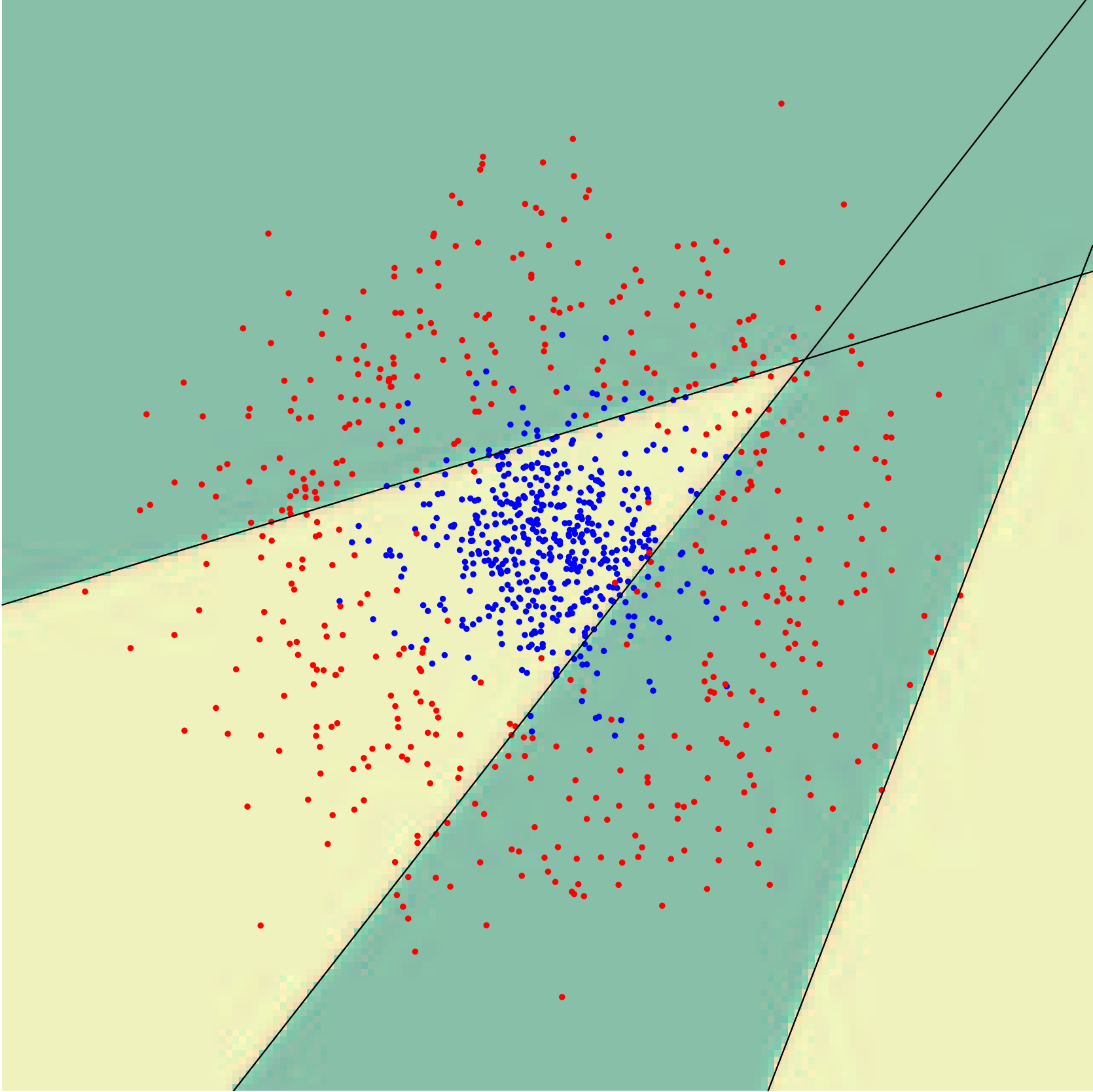


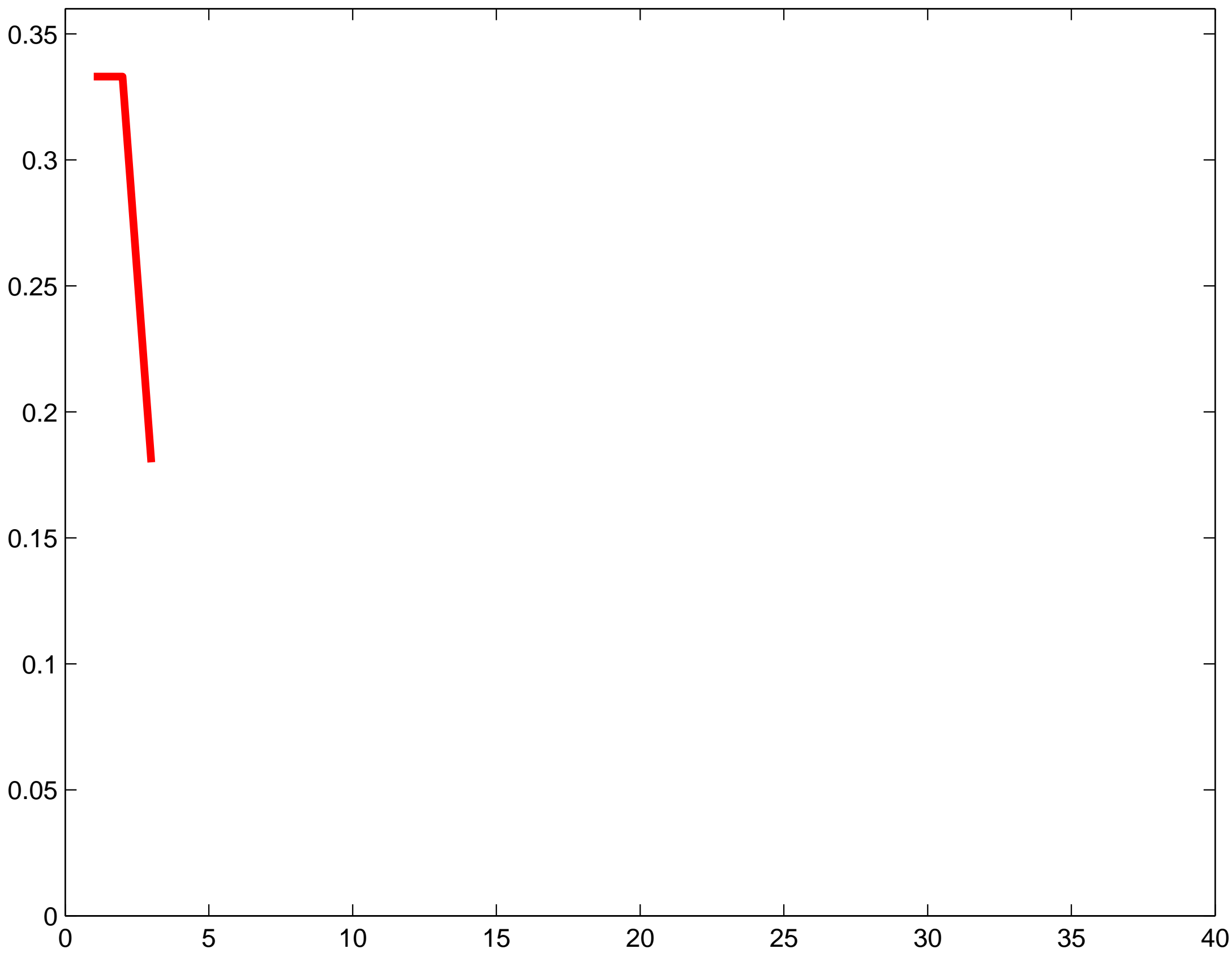


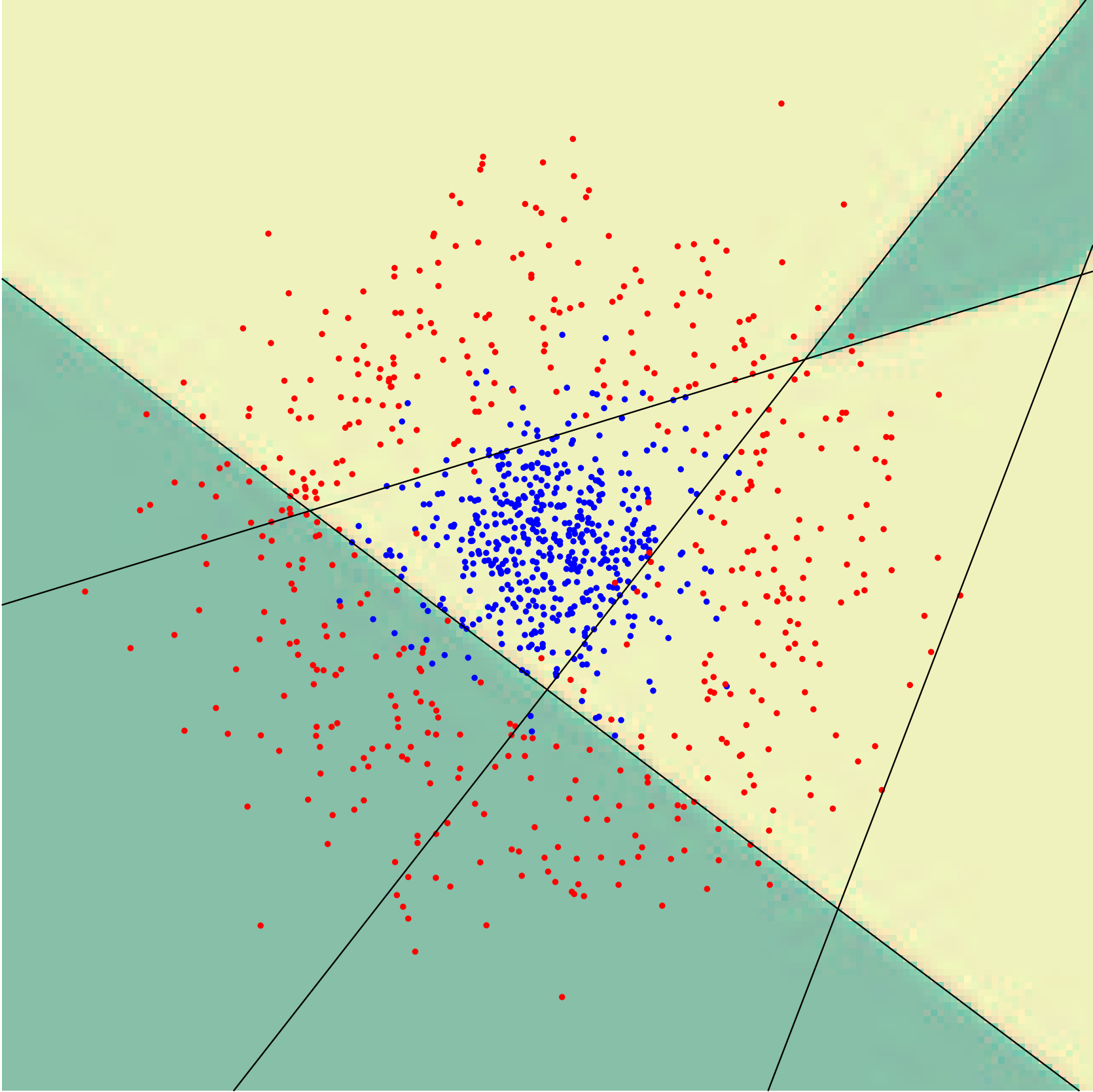


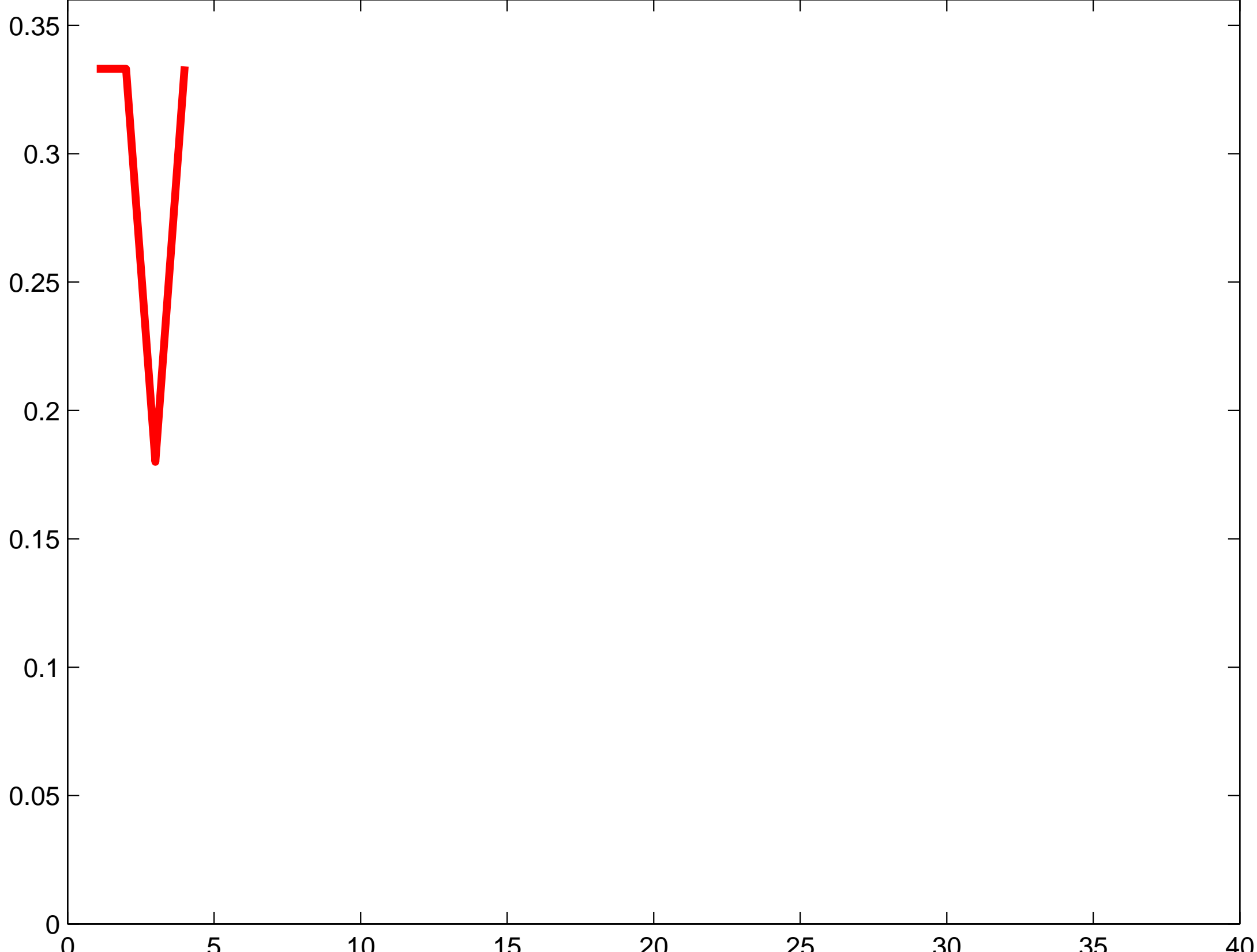


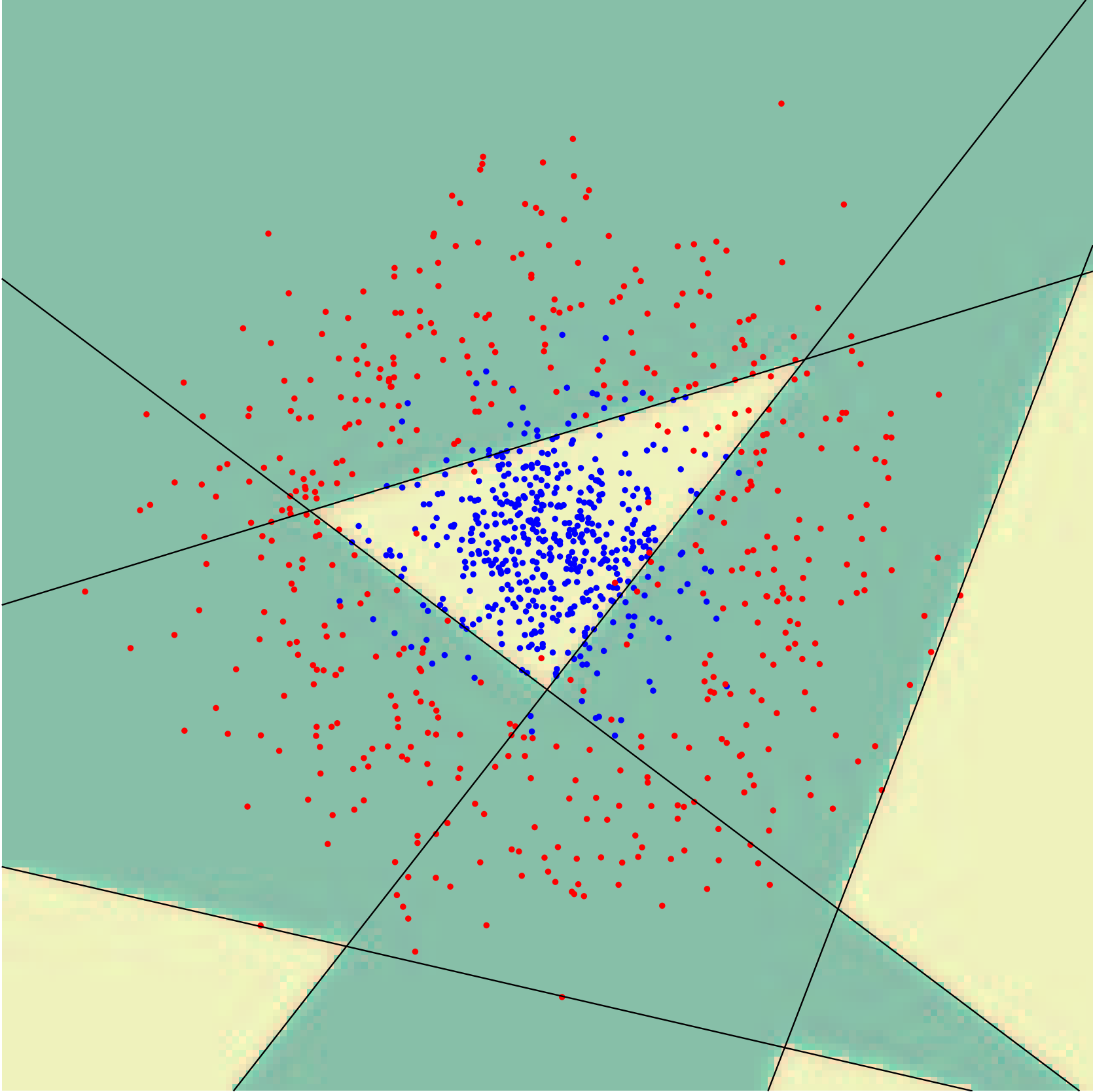




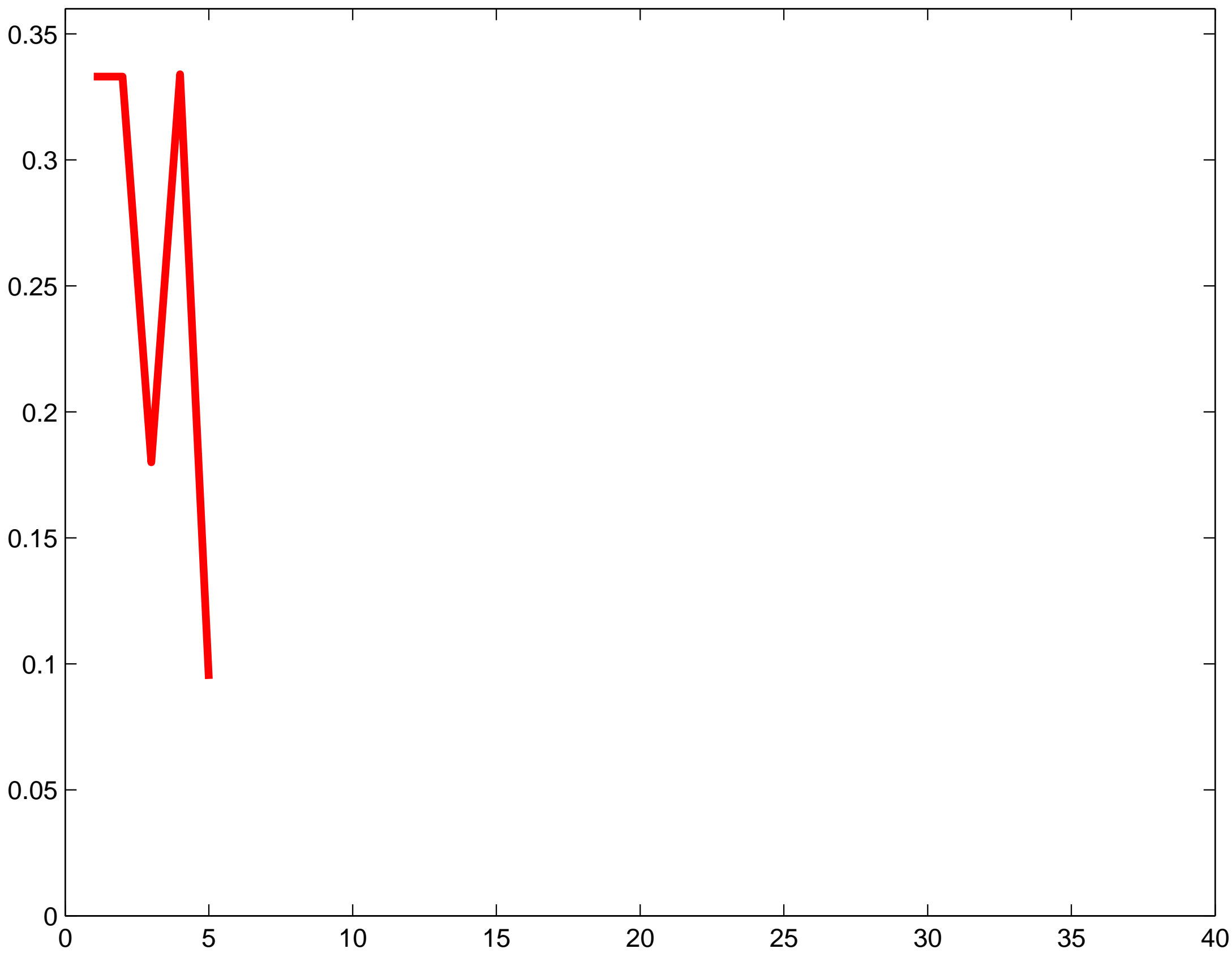


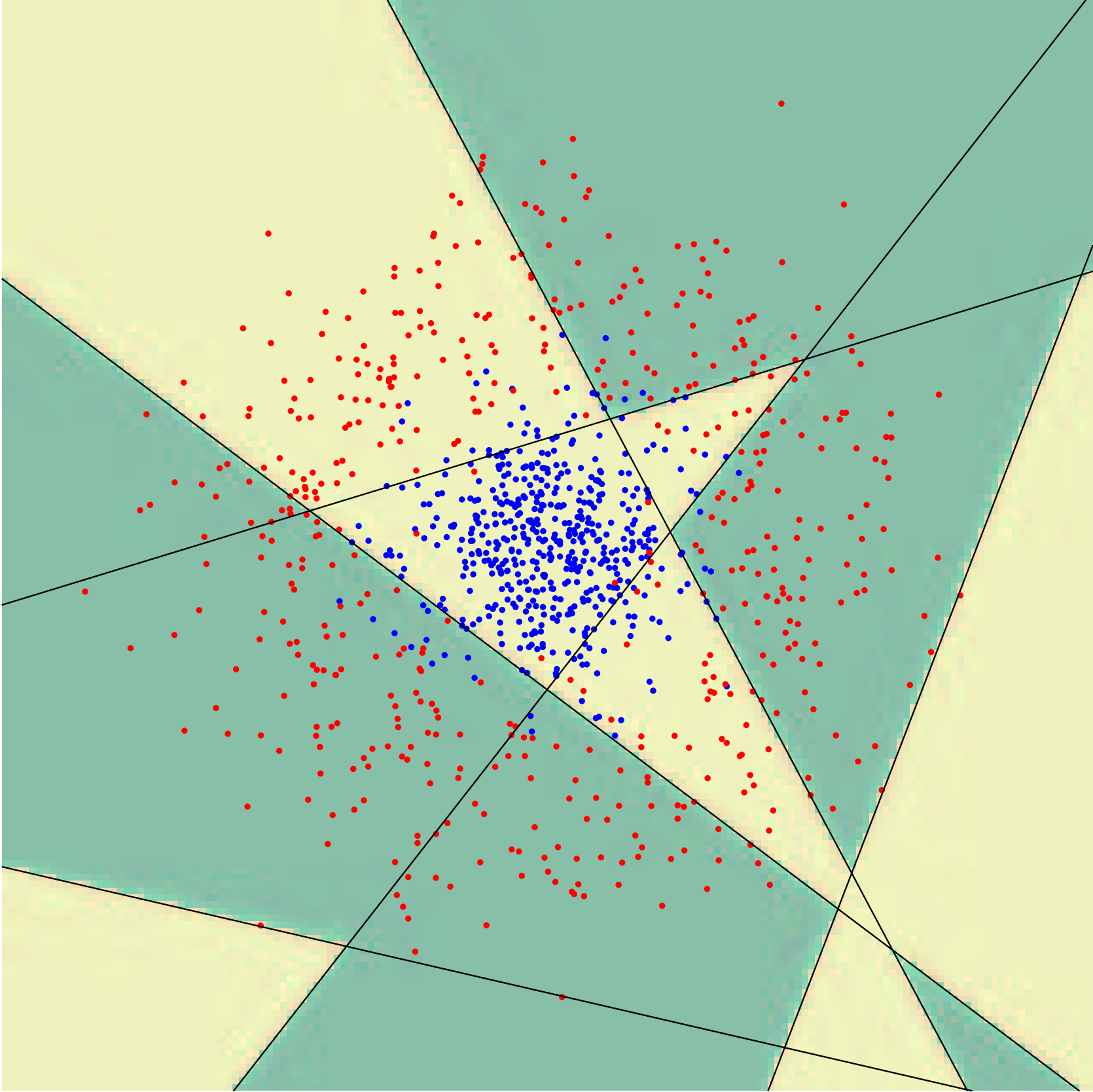


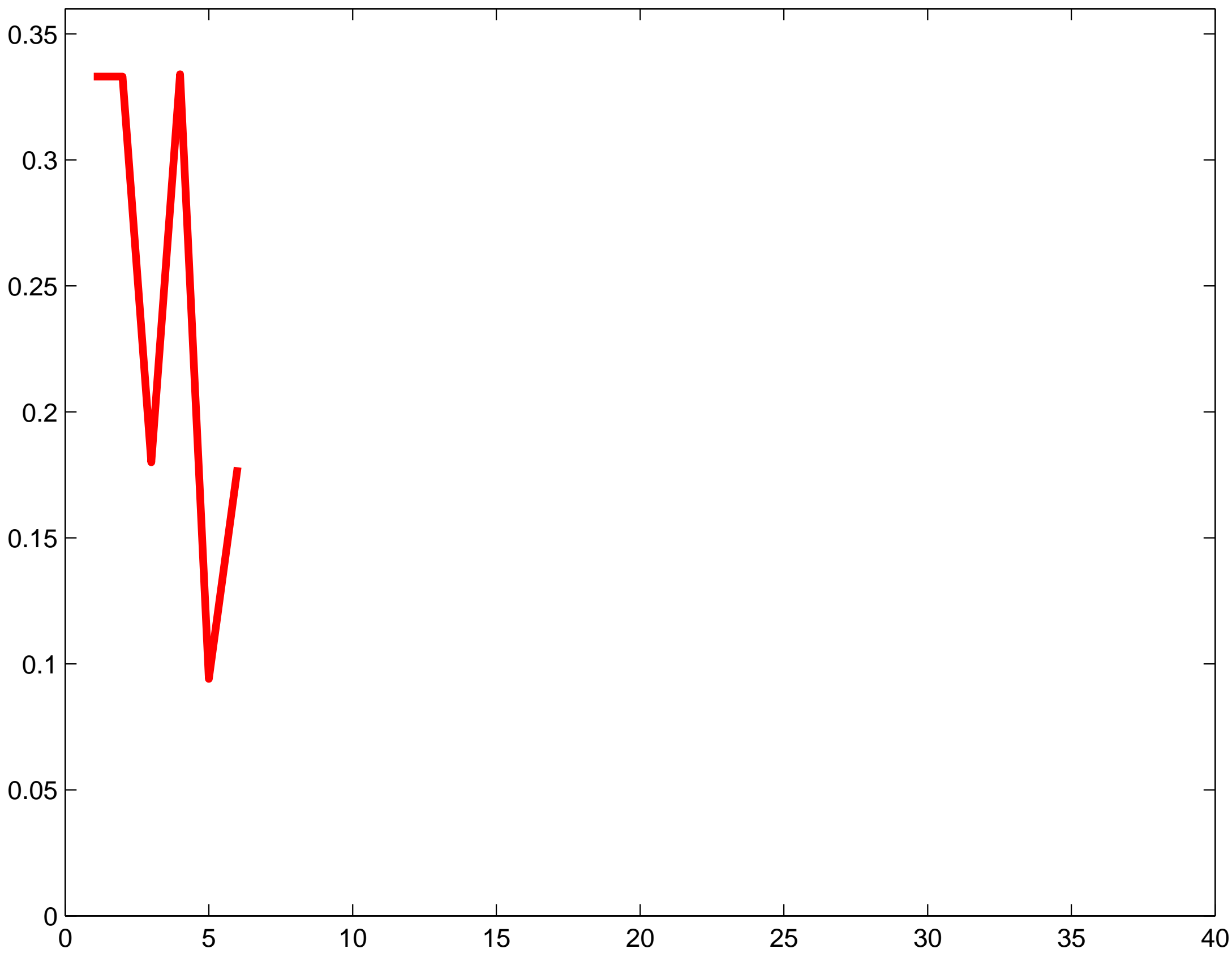


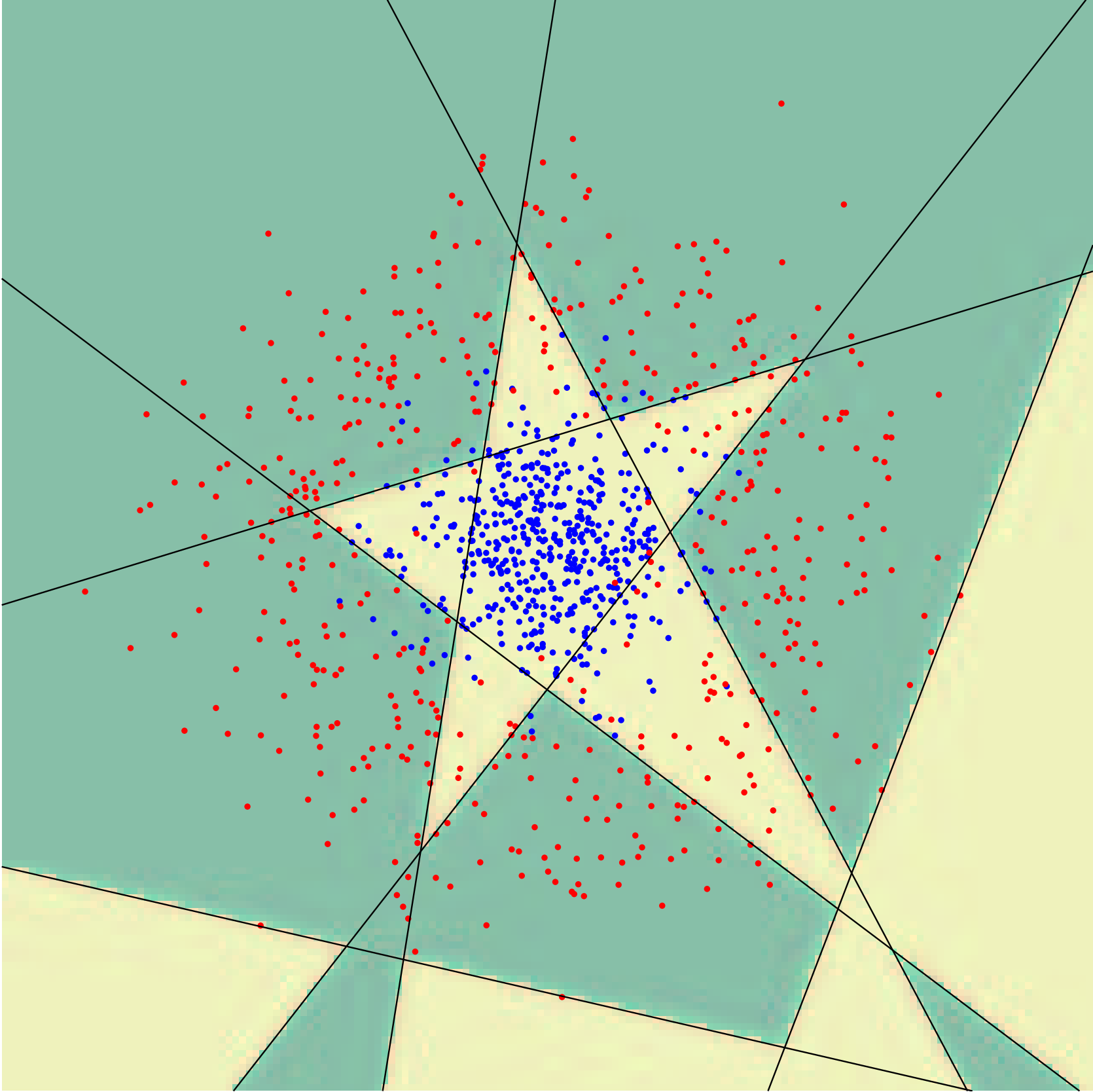


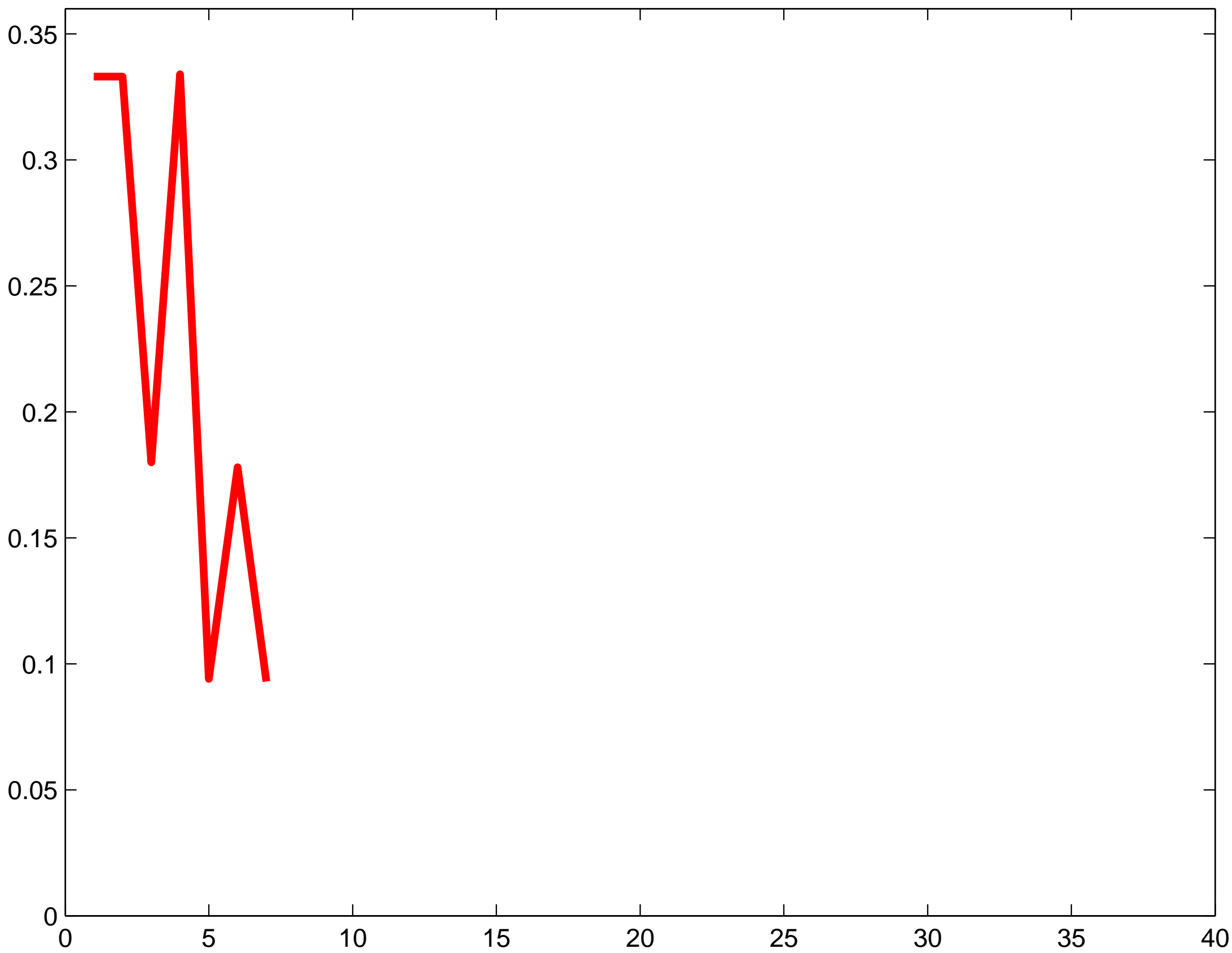


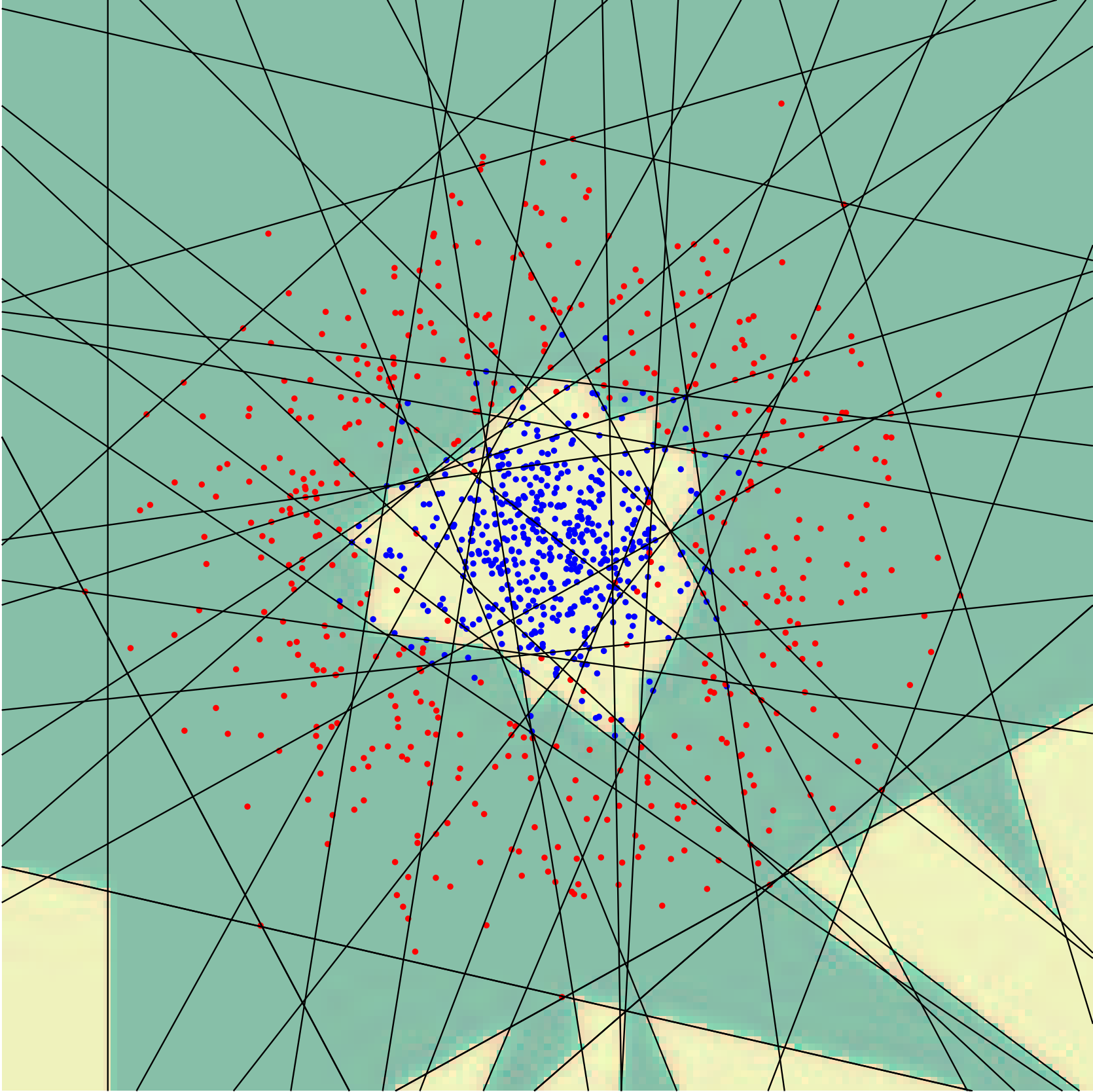


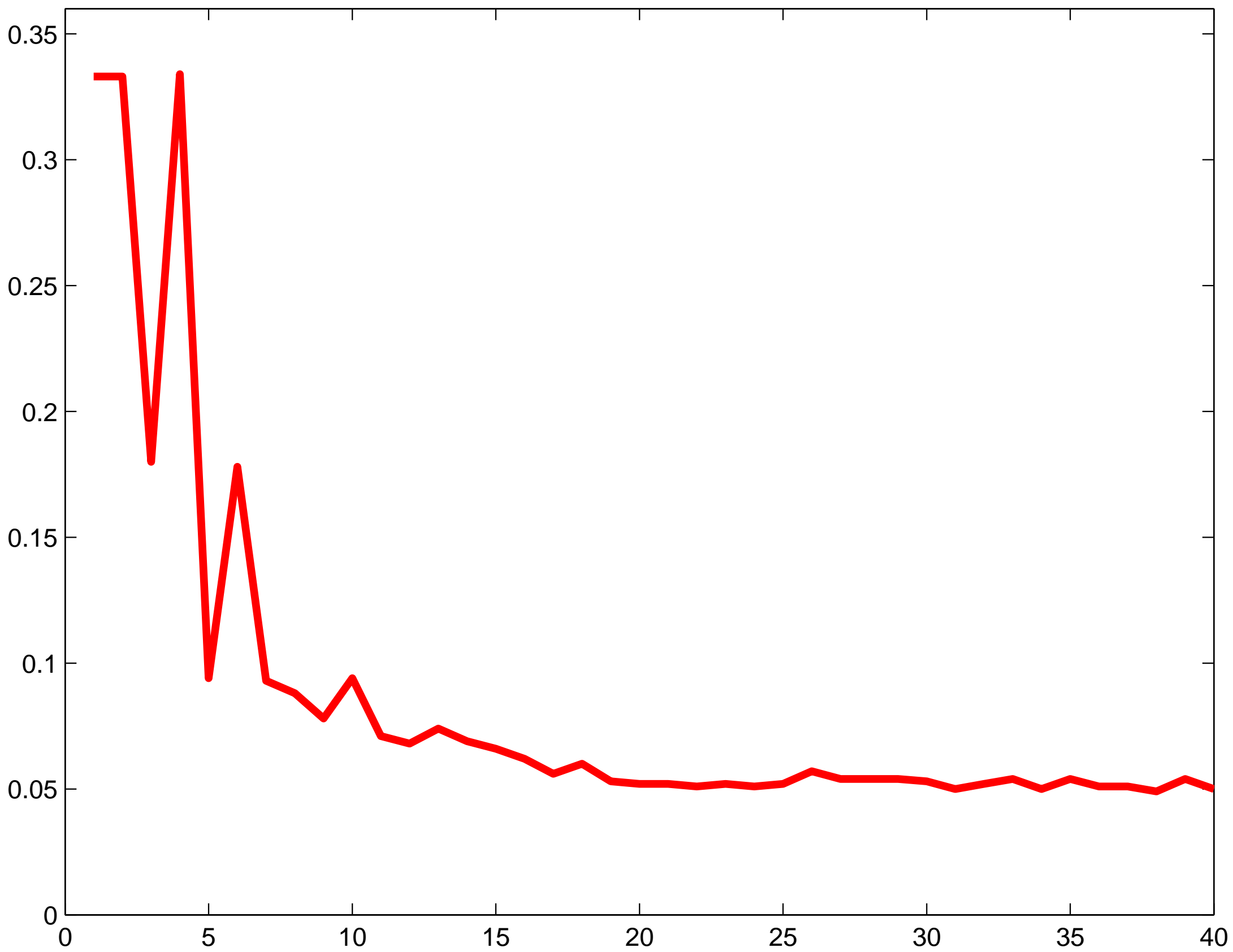




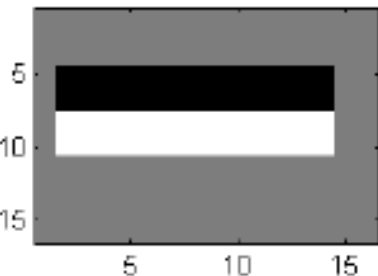




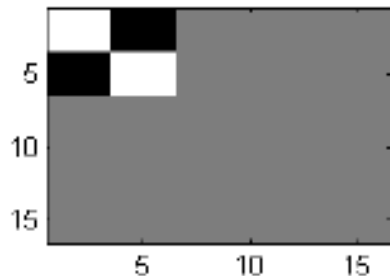




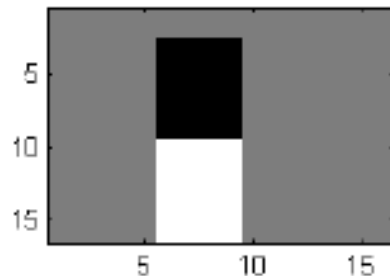
(1, 0.13, 1.93)



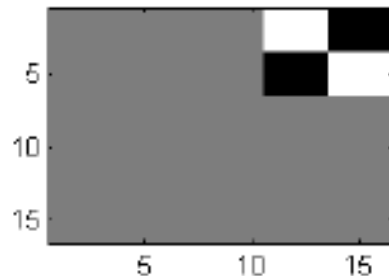
(2, 0.17, 1.59)



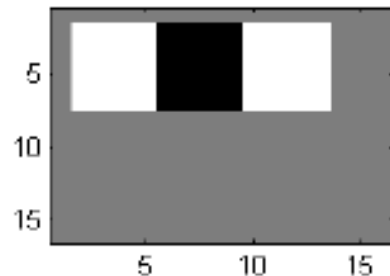
(3, 0.21, 1.30)



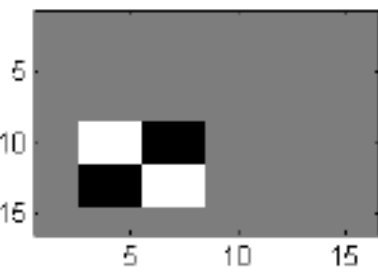
(4, 0.25, 1.12)



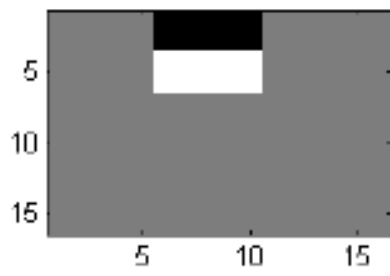
(5, 0.26, 1.05)



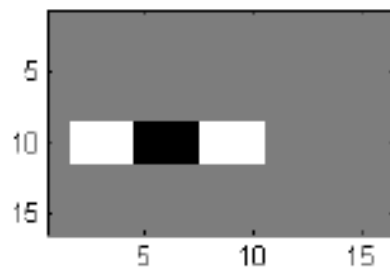
(6, 0.26, 1.04)



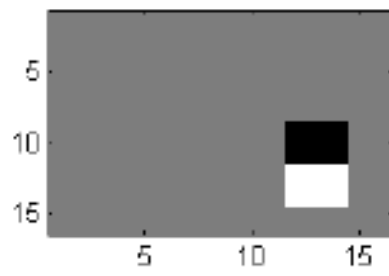
(7, 0.30, 0.82)



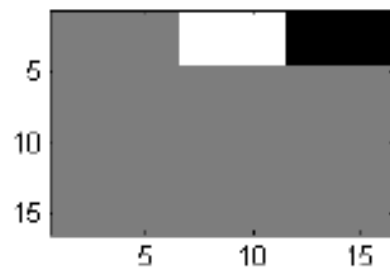
(8, 0.31, 0.79)



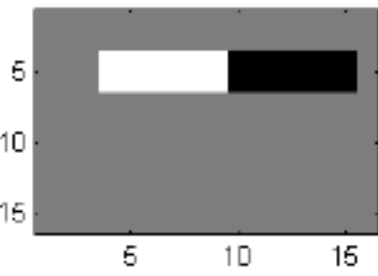
(9, 0.33, 0.72)



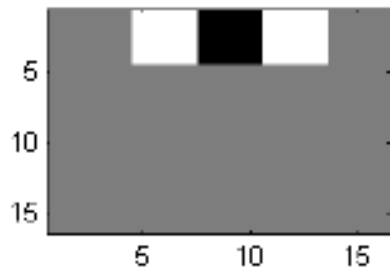
(10, 0.31, 0.81)



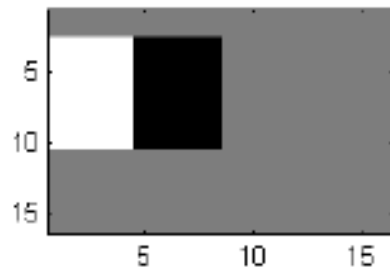
(11, 0.32, 0.78)



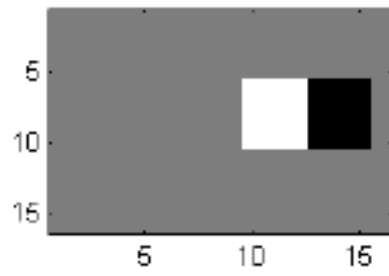
(12, 0.34, 0.65)



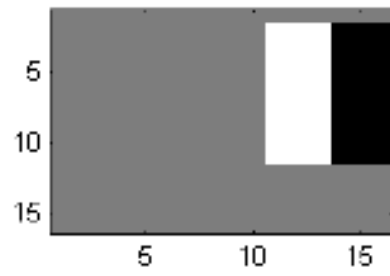
(13, 0.34, 0.64)



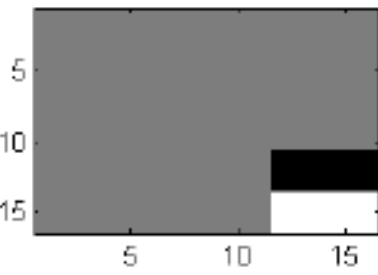
(14, 0.35, 0.60)



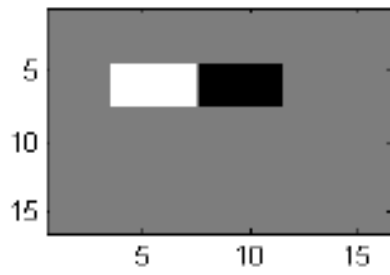
(15, 0.34, 0.67)



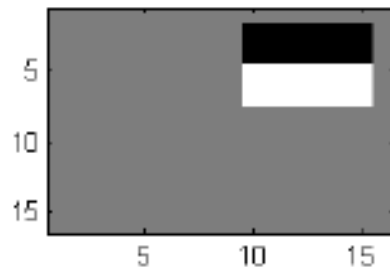
(16, 0.36, 0.59)



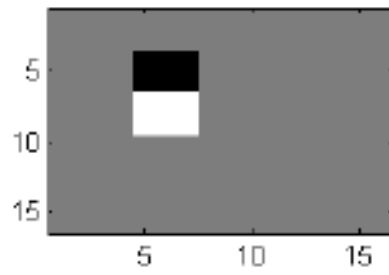
(17, 0.36, 0.57)



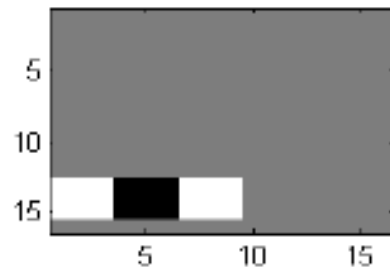
(18, 0.36, 0.56)



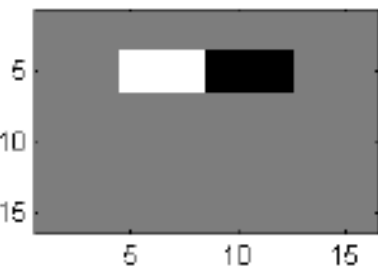
(19, 0.36, 0.57)



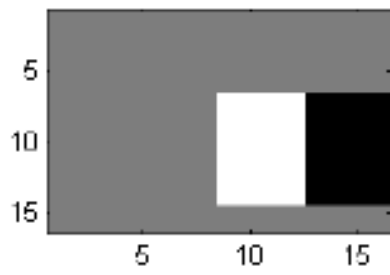
(20, 0.36, 0.56)



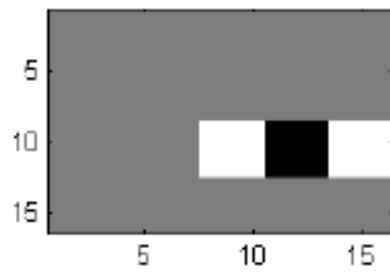
(21, 0.36, 0.56)



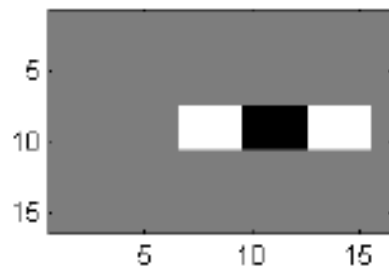
(22, 0.36, 0.55)



(23, 0.37, 0.52)



(24, 0.35, 0.61)



(25, 0.38, 0.49)

